

Open ∇ FOAM®

オープンソース CFD ツールボックス

プログラマズガイドのオープンCAE学会による和訳

Available free from openfoam.org.

Disclaimer

OPENFOAM® is a registered trade mark of ESI Group., the producer of the OpenFOAM software and owner of the OPENFOAM® and OpenCFD® trade marks. This offering is not approved or endorsed by ESI Group.

Translated from the original English to Japanese by OpenCAE Society, Japan
(www.opencae.jp)

Version 2.2.0
2013年6月3日

Copyright © 2006–2013 一般社団法人 オープン CAE 学会

このプログラマズガイドは、一般社団法人 オープン CAE 学会の責任のもとで公開しております。本書に関するご意見等がございましたら、当学会事務局 (office@opencae.jp) までご連絡ください。

次ページ以降に示すとおり、このプログラマズガイドはクリエイティブ・コモンズ「表示・非営利・改変禁止 3.0 非移植」(CC BY-NC-ND 3.0) ライセンスとなっています。本学会は、権利者である OpenFOAM Foundation より翻訳・再配布の許諾を得ています。

一般社団法人 オープン CAE 学会

Typeset in p^LA_TE_X.

原文著作權表示

Copyright © 2011–2013 OpenFOAM Foundation.

This work is licensed under a **Creative Commons Attribution-NonCommercial-NoDerivs 3.0 Unported License**.

License

THE WORK (AS DEFINED BELOW) IS PROVIDED UNDER THE TERMS OF THIS CREATIVE COMMONS PUBLIC LICENSE (“CCPL” OR “LICENSE”). THE WORK IS PROTECTED BY COPYRIGHT AND/OR OTHER APPLICABLE LAW. ANY USE OF THE WORK OTHER THAN AS AUTHORIZED UNDER THIS LICENSE OR COPYRIGHT LAW IS PROHIBITED. BY EXERCISING ANY RIGHTS TO THE WORK PROVIDED HERE, YOU ACCEPT AND AGREE TO BE BOUND BY THE TERMS OF THIS LICENSE. TO THE EXTENT THIS LICENSE MAY BE CONSIDERED TO BE A CONTRACT, THE LICENSOR GRANTS YOU THE RIGHTS CONTAINED HERE IN CONSIDERATION OF YOUR ACCEPTANCE OF SUCH TERMS AND CONDITIONS.

1. Definitions

- a. “Adaptation” means a work based upon the Work, or upon the Work and other preexisting works, such as a translation, adaptation, derivative work, arrangement of music or other alterations of a literary or artistic work, or phonogram or performance and includes cinematographic adaptations or any other form in which the Work may be recast, transformed, or adapted including in any form recognizably derived from the original, except that a work that constitutes a Collection will not be considered an Adaptation for the purpose of this License. For the avoidance of doubt, where the Work is a musical work, performance or phonogram, the synchronization of the Work in timed-relation with a moving image (“synching”) will be considered an Adaptation for the purpose of this License.
- b. “Collection” means a collection of literary or artistic works, such as encyclopedias and anthologies, or performances, phonograms or broadcasts, or other works or subject matter other than works listed in Section 1(f) below, which, by reason of the selection and arrangement of their contents, constitute intellectual creations, in which the Work is included in its entirety in unmodified form along with one or more other contributions, each constituting separate and independent works in themselves, which together are assembled into a collective whole. A work that constitutes a Collection will not be considered an Adaptation (as defined above) for the purposes of this License.
- c. “Distribute” means to make available to the public the original and copies of the Work through sale or other transfer of ownership.
- d. “Licensor” means the individual, individuals, entity or entities that offer(s) the Work

- under the terms of this License.
- e. “Original Author” means, in the case of a literary or artistic work, the individual, individuals, entity or entities who created the Work or if no individual or entity can be identified, the publisher; and in addition (i) in the case of a performance the actors, singers, musicians, dancers, and other persons who act, sing, deliver, declaim, play in, interpret or otherwise perform literary or artistic works or expressions of folklore; (ii) in the case of a phonogram the producer being the person or legal entity who first fixes the sounds of a performance or other sounds; and, (iii) in the case of broadcasts, the organization that transmits the broadcast.
 - f. “Work” means the literary and/or artistic work offered under the terms of this License including without limitation any production in the literary, scientific and artistic domain, whatever may be the mode or form of its expression including digital form, such as a book, pamphlet and other writing; a lecture, address, sermon or other work of the same nature; a dramatic or dramatico-musical work; a choreographic work or entertainment in dumb show; a musical composition with or without words; a cinematographic work to which are assimilated works expressed by a process analogous to cinematography; a work of drawing, painting, architecture, sculpture, engraving or lithography; a photographic work to which are assimilated works expressed by a process analogous to photography; a work of applied art; an illustration, map, plan, sketch or three-dimensional work relative to geography, topography, architecture or science; a performance; a broadcast; a phonogram; a compilation of data to the extent it is protected as a copyrightable work; or a work performed by a variety or circus performer to the extent it is not otherwise considered a literary or artistic work.
 - g. “You” means an individual or entity exercising rights under this License who has not previously violated the terms of this License with respect to the Work, or who has received express permission from the Licenser to exercise rights under this License despite a previous violation.
 - h. “Publicly Perform” means to perform public recitations of the Work and to communicate to the public those public recitations, by any means or process, including by wire or wireless means or public digital performances; to make available to the public Works in such a way that members of the public may access these Works from a place and at a place individually chosen by them; to perform the Work to the public by any means or process and the communication to the public of the performances of the Work, including by public digital performance; to broadcast and rebroadcast the Work by any means including signs, sounds or images.
 - i. “Reproduce” means to make copies of the Work by any means including without limitation by sound or visual recordings and the right of fixation and reproducing fixations of the Work, including storage of a protected performance or phonogram in digital form or other electronic medium.

2. Fair Dealing Rights.

Nothing in this License is intended to reduce, limit, or restrict any uses free from copyright or rights arising from limitations or exceptions that are provided for in connection with the copyright protection under copyright law or other applicable laws.

3. License Grant.

Subject to the terms and conditions of this License, Licensor hereby grants You a worldwide, royalty-free, non-exclusive, perpetual (for the duration of the applicable copyright) license to exercise the rights in the Work as stated below:

- a. to Reproduce the Work, to incorporate the Work into one or more Collections, and to Reproduce the Work as incorporated in the Collections;
- b. and, to Distribute and Publicly Perform the Work including as incorporated in Collections. The above rights may be exercised in all media and formats whether now known or hereafter devised.

The above rights include the right to make such modifications as are technically necessary to exercise the rights in other media and formats, but otherwise you have no rights to make Adaptations. Subject to 8(f), all rights not expressly granted by Licensor are hereby reserved, including but not limited to the rights set forth in Section 4(d).

4. Restrictions.

The license granted in Section 3 above is expressly made subject to and limited by the following restrictions:

- a. You may Distribute or Publicly Perform the Work only under the terms of this License. You must include a copy of, or the Uniform Resource Identifier (URI) for, this License with every copy of the Work You Distribute or Publicly Perform. You may not offer or impose any terms on the Work that restrict the terms of this License or the ability of the recipient of the Work to exercise the rights granted to that recipient under the terms of the License. You may not sublicense the Work. You must keep intact all notices that refer to this License and to the disclaimer of warranties with every copy of the Work You Distribute or Publicly Perform. When You Distribute or Publicly Perform the Work, You may not impose any effective technological measures on the Work that restrict the ability of a recipient of the Work from You to exercise the rights granted to that recipient under the terms of the License. This Section 4(a) applies to the Work as incorporated in a Collection, but this does not require the Collection apart from the Work itself to be made subject to the terms of this License. If You create a Collection, upon notice from any Licensor You must, to the extent practicable, remove from the Collection any credit as required by Section 4(c), as requested.
- b. You may not exercise any of the rights granted to You in Section 3 above in any manner

that is primarily intended for or directed toward commercial advantage or private monetary compensation. The exchange of the Work for other copyrighted works by means of digital file-sharing or otherwise shall not be considered to be intended for or directed toward commercial advantage or private monetary compensation, provided there is no payment of any monetary compensation in connection with the exchange of copyrighted works.

- c. If You Distribute, or Publicly Perform the Work or Collections, You must, unless a request has been made pursuant to Section 4(a), keep intact all copyright notices for the Work and provide, reasonable to the medium or means You are utilizing: (i) the name of the Original Author (or pseudonym, if applicable) if supplied, and/or if the Original Author and/or Licensor designate another party or parties (e.g., a sponsor institute, publishing entity, journal) for attribution (“Attribution Parties”) in Licensor’s copyright notice, terms of service or by other reasonable means, the name of such party or parties; (ii) the title of the Work if supplied; (iii) to the extent reasonably practicable, the URI, if any, that Licensor specifies to be associated with the Work, unless such URI does not refer to the copyright notice or licensing information for the Work. The credit required by this Section 4(c) may be implemented in any reasonable manner; provided, however, that in the case of a Collection, at a minimum such credit will appear, if a credit for all contributing authors of Collection appears, then as part of these credits and in a manner at least as prominent as the credits for the other contributing authors. For the avoidance of doubt, You may only use the credit required by this Section for the purpose of attribution in the manner set out above and, by exercising Your rights under this License, You may not implicitly or explicitly assert or imply any connection with, sponsorship or endorsement by the Original Author, Licensor and/or Attribution Parties, as appropriate, of You or Your use of the Work, without the separate, express prior written permission of the Original Author, Licensor and/or Attribution Parties.
- d. For the avoidance of doubt:
 - (a) **Non-waivable Compulsory License Schemes.** In those jurisdictions in which the right to collect royalties through any statutory or compulsory licensing scheme cannot be waived, the Licensor reserves the exclusive right to collect such royalties for any exercise by You of the rights granted under this License;
 - (b) **Waivable Compulsory License Schemes.** In those jurisdictions in which the right to collect royalties through any statutory or compulsory licensing scheme can be waived, the Licensor reserves the exclusive right to collect such royalties for any exercise by You of the rights granted under this License if Your exercise of such rights is for a purpose or use which is otherwise than noncommercial as permitted under Section 4(b) and otherwise waives the right to collect royalties through any statutory or compulsory licensing scheme; and,
 - (c) **Voluntary License Schemes.** The Licensor reserves the right to collect royalties, whether individually or, in the event that the Licensor is a member of a collecting

society that administers voluntary licensing schemes, via that society, from any exercise by You of the rights granted under this License that is for a purpose or use which is otherwise than noncommercial as permitted under Section 4(b).

- e. Except as otherwise agreed in writing by the Licensor or as may be otherwise permitted by applicable law, if You Reproduce, Distribute or Publicly Perform the Work either by itself or as part of any Collections, You must not distort, mutilate, modify or take other derogatory action in relation to the Work which would be prejudicial to the Original Author's honor or reputation.

5. Representations, Warranties and Disclaimer

UNLESS OTHERWISE MUTUALLY AGREED BY THE PARTIES IN WRITING, LICENSOR OFFERS THE WORK AS-IS AND MAKES NO REPRESENTATIONS OR WARRANTIES OF ANY KIND CONCERNING THE WORK, EXPRESS, IMPLIED, STATUTORY OR OTHERWISE, INCLUDING, WITHOUT LIMITATION, WARRANTIES OF TITLE, MERCHANTABILITY, FITNESS FOR A PARTICULAR PURPOSE, NONINFRINGEMENT, OR THE ABSENCE OF LATENT OR OTHER DEFECTS, ACCURACY, OR THE PRESENCE OF ABSENCE OF ERRORS, WHETHER OR NOT DISCOVERABLE. SOME JURISDICTIONS DO NOT ALLOW THE EXCLUSION OF IMPLIED WARRANTIES, SO SUCH EXCLUSION MAY NOT APPLY TO YOU.

6. Limitation on Liability.

EXCEPT TO THE EXTENT REQUIRED BY APPLICABLE LAW, IN NO EVENT WILL LICENSOR BE LIABLE TO YOU ON ANY LEGAL THEORY FOR ANY SPECIAL, INCIDENTAL, CONSEQUENTIAL, PUNITIVE OR EXEMPLARY DAMAGES ARISING OUT OF THIS LICENSE OR THE USE OF THE WORK, EVEN IF LICENSOR HAS BEEN ADVISED OF THE POSSIBILITY OF SUCH DAMAGES.

7. Termination

- a. This License and the rights granted hereunder will terminate automatically upon any breach by You of the terms of this License. Individuals or entities who have received Collections from You under this License, however, will not have their licenses terminated provided such individuals or entities remain in full compliance with those licenses. Sections 1, 2, 5, 6, 7, and 8 will survive any termination of this License.
- b. Subject to the above terms and conditions, the license granted here is perpetual (for the duration of the applicable copyright in the Work). Notwithstanding the above, Licensor reserves the right to release the Work under different license terms or to stop distributing the Work at any time; provided, however that any such election will not serve to withdraw this License (or any other license that has been, or is required to be, granted under the terms of this License), and this License will continue in full force

and effect unless terminated as stated above.

8. Miscellaneous

- a. Each time You Distribute or Publicly Perform the Work or a Collection, the Licensor offers to the recipient a license to the Work on the same terms and conditions as the license granted to You under this License.
- b. If any provision of this License is invalid or unenforceable under applicable law, it shall not affect the validity or enforceability of the remainder of the terms of this License, and without further action by the parties to this agreement, such provision shall be reformed to the minimum extent necessary to make such provision valid and enforceable.
- c. No term or provision of this License shall be deemed waived and no breach consented to unless such waiver or consent shall be in writing and signed by the party to be charged with such waiver or consent.
- d. This License constitutes the entire agreement between the parties with respect to the Work licensed here. There are no understandings, agreements or representations with respect to the Work not specified here. Licensor shall not be bound by any additional provisions that may appear in any communication from You.
- e. This License may not be modified without the mutual written agreement of the Licensor and You. The rights granted under, and the subject matter referenced, in this License were drafted utilizing the terminology of the Berne Convention for the Protection of Literary and Artistic Works (as amended on September 28, 1979), the Rome Convention of 1961, the WIPO Copyright Treaty of 1996, the WIPO Performances and Phonograms Treaty of 1996 and the Universal Copyright Convention (as revised on July 24, 1971). These rights and subject matter take effect in the relevant jurisdiction in which the License terms are sought to be enforced according to the corresponding provisions of the implementation of those treaty provisions in the applicable national law. If the standard suite of rights granted under applicable copyright law includes additional rights not granted under this License, such additional rights are deemed to be included in the License; this License is not intended to restrict the license of any rights under applicable law.

Trademarks

ANSYS is a registered trademark of ANSYS Inc.

CFX is a registered trademark of Ansys Inc.

CHEMKIN is a registered trademark of Reaction Design Corporation

EnSight is a registered trademark of Computational Engineering International Ltd.

Fieldview is a registered trademark of Intelligent Light

Fluent is a registered trademark of Ansys Inc.

GAMBIT is a registered trademark of Ansys Inc.

Icem-CFD is a registered trademark of Ansys Inc.

I-DEAS is a registered trademark of Structural Dynamics Research Corporation

JAVA is a registered trademark of Sun Microsystems Inc.

Linux is a registered trademark of Linus Torvalds

OpenFOAM is a registered trademark of ESI Group.

ParaView is a registered trademark of Kitware

STAR-CD is a registered trademark of Computational Dynamics Ltd.

UNIX is a registered trademark of The Open Group

目次

| | |
|--|------|
| 原文著作権表示 | P-3 |
| 1 Definitions | P-3 |
| 2 Fair Dealing Rights. | P-5 |
| 3 License Grant. | P-5 |
| 4 Restrictions. | P-5 |
| 5 Representations, Warranties and Disclaimer | P-7 |
| 6 Limitation on Liability. | P-7 |
| 7 Termination | P-7 |
| 8 Miscellaneous | P-8 |
| 目次 | P-11 |
| 第1章 テンソル数学 | P-15 |
| 1.1 座標系 | P-15 |
| 1.2 テンソル | P-15 |
| 1.2.1 テンソル表記 | P-17 |
| 1.3 テンソルの代数演算 | P-17 |
| 1.3.1 内積 | P-18 |
| 1.3.2 二つのテンソルの二重内積 | P-19 |
| 1.3.3 二つの3階テンソルの三重内積 | P-19 |
| 1.3.4 外積 | P-19 |
| 1.3.5 二つのベクトルのクロス積 | P-20 |
| 1.3.6 その他の一般的なテンソル演算 | P-20 |
| 1.3.7 幾何変換と単位テンソル | P-20 |
| 1.3.8 便利なテンソルの恒等式 | P-21 |
| 1.3.9 2階テンソル特有の演算 | P-21 |
| 1.3.10 スカラ特有の演算 | P-23 |
| 1.4 OpenFOAM のテンソルクラス | P-23 |
| 1.4.1 OpenFOAM におけるテンソルの代数演算 | P-24 |
| 1.5 物理次元の単位 | P-25 |
| 第2章 離散化手法 | P-27 |
| 2.1 微分演算子 | P-27 |
| 2.1.1 勾配 | P-27 |
| 2.1.2 発散 | P-28 |
| 2.1.3 回転 | P-28 |

| | |
|--|-------------|
| 2.1.4 ラプラシアン | P-28 |
| 2.1.5 時間微分 | P-28 |
| 2.2 離散化の概要 | P-29 |
| 2.2.1 OpenFOAM のリストと場 | P-29 |
| 2.3 解析領域の離散化 | P-29 |
| 2.3.1 OpenFOAM におけるメッシュ定義 | P-31 |
| 2.3.2 OpenFOAM における geometricField の定義 | P-31 |
| 2.4 方程式の離散化 | P-33 |
| 2.4.1 ラプラシアン項 | P-36 |
| 2.4.2 対流項 | P-36 |
| 2.4.3 1階の時間微分 | P-37 |
| 2.4.4 2階の時間微分 | P-38 |
| 2.4.5 発散 | P-38 |
| 2.4.6 勾配 | P-38 |
| 2.4.7 勾配の勾配の平方 | P-39 |
| 2.4.8 回転 | P-39 |
| 2.4.9 湧き出し項 | P-40 |
| 2.4.10 その他の陽的な離散化スキーム | P-40 |
| 2.5 時間の離散化 | P-40 |
| 2.5.1 OpenFOAM における時間微分の取扱い | P-41 |
| 2.6 境界条件 | P-42 |
| 2.6.1 物理的な境界条件 | P-43 |
| 第3章 OpenFOAM の使用例 | P-45 |
| 3.1 円柱まわりの流れ | P-45 |
| 3.1.1 問題設定 | P-46 |
| 3.1.2 potentialFoam について | P-47 |
| 3.1.3 メッシュ生成 | P-47 |
| 3.1.4 境界条件と初期条件 | P-50 |
| 3.1.5 ケースの実行 | P-50 |
| 3.2 バック・ステップ上の定常乱流 | P-52 |
| 3.2.1 問題設定 | P-54 |
| 3.2.2 メッシュ生成 | P-55 |
| 3.2.3 境界条件と初期条件 | P-58 |
| 3.2.4 ケースの制御 | P-59 |
| 3.2.5 ケースの実行とポスト処理 | P-59 |
| 3.3 フォワード・ステップ上の超音速流れ | P-59 |
| 3.3.1 問題設定 | P-59 |
| 3.3.2 メッシュ生成 | P-61 |
| 3.3.3 ケースの実行 | P-63 |
| 3.3.4 課題 | P-63 |

| | |
|----------------------|------|
| 3.4 加圧された水タンクの減圧 | P-63 |
| 3.4.1 問題設定 | P-64 |
| 3.4.2 メッシュ生成 | P-65 |
| 3.4.3 実行の準備 | P-67 |
| 3.4.4 ケースの実行 | P-68 |
| 3.4.5 メッシュの改良による解の改善 | P-69 |
| 3.5 磁性液体流れ | P-69 |
| 3.5.1 問題設定 | P-70 |
| 3.5.2 メッシュ生成 | P-71 |
| 3.5.3 ケースの実行 | P-73 |
| 索引 | P-74 |

第1章

テンソル数学

この章では、テンソルとそれらの代数演算について、また本書におけるそれらの数学表記について記述します。そして、テンソルおよびテンソル数学がOpenFOAMにおいてどのようにプログラムされているかを説明します。

1.1 座標系

OpenFOAMは、主に連続体力学、つまり固体・液体・気体の応力や、これらの物質の変形や流れに関する力学分野の問題を解くために設計されています。このためOpenFOAMは、3次元空間と時間、そして物理的要素のテンソルによる記述に基づいています。OpenFOAMで使われる座標系は、図1.1に示すような右手系デカルト座標系です。この座標系は、 Ox , Oy , Oz と名づけられた互いに直角な三つの軸から原点 O を定義することによって構成されます。右手系とは、 O から Oz 軸のほうを見下ろしたとき、 Ox 軸上の点から Oy 軸上の点へと向かう円弧が時計回りにみえるように定義されます。

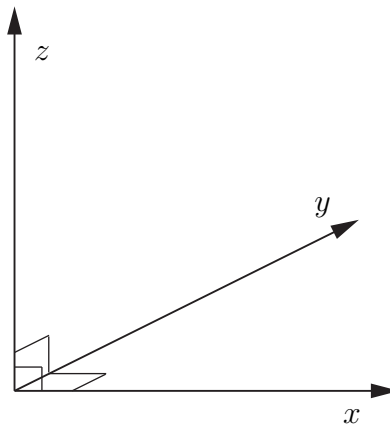


図 1.1 右手系座標軸

1.2 テンソル

テンソル項は、特定の空間に属していて特定の数学的規則に従うような実体について記述します。簡潔にいえば、テンソルは単位基底ベクトルの組に対する成分値の組で表現されます。OpenFOAMではこの単位基底ベクトルは、右手系デカルト座標軸 x , y , z にそれぞれ沿った e_x , e_y , e_z になります。したがって、これらの基底ベクトルは直交、すなわち互いに直角です。すべてのテンソルは以下のようないくつかの属性をもっています。

次元 そのテンソルが属する特定の空間の次元 d . OpenFOAM では $d = 3$

ランク 成分値の数が d^r となるような整数 $r \geq 0$

OpenFOAM 1.x が 3 次元であることから、ランク 0~3 のテンソルが標準で用意されていますが、この基本のランクの設定は自由に拡張できるように書かれています。ランク 0 と 1 のテンソルは、スカラおよびベクトルとしてのほうがよく知られており読者にも身近でしょうが、ランク 2 と 3 のテンソルにはあまりなじみがないかもしれません。確認のために、OpenFOAM 1.x が標準で提供しているすべてのランクのテンソルを以下で復習しておきましょう。

ランク 0「スカラ」 一つの実数で表せるあらゆる物理量で、イタリック体で表記されます。例えば、質量 m , 体積 V , 圧力 p , そして粘性係数 μ です。

ランク 1「ベクトル」 大きさと方向で表現できる物理量です。成分表示では、ベクトル $\mathbf{a} = (a_1, a_2, a_3)$ はデカルト座標系の x 軸, y 軸, z 軸成分をそれぞれ表します。同じベクトルを添字表記では a_i , $i = 1, 2, 3$ と書けます。ただし、3 次元を扱っていることは明らかなので本書では添字リスト $i = 1, 2, 3$ は省略します。

ランク 2「テンソル」 または「2 階のテンソル」 \mathbf{T} は以下のように行列で表現できる 9 個の要素をもっています。

$$\mathbf{T} = T_{ij} = \begin{pmatrix} T_{11} & T_{12} & T_{13} \\ T_{21} & T_{22} & T_{23} \\ T_{31} & T_{32} & T_{33} \end{pmatrix} \quad (1.1)$$

$r = 2$ なので、要素 T_{ij} は二つの添字で表されます。以下では添字のリスト $i, j = 1, 2, 3$ は省略します。 $i = j$ の要素は対角要素とよばれ、 $i \neq j$ の要素は非対角要素とよばれます。対角要素を交差して要素を入れ替えることにより、以下のような \mathbf{T} の転置が得られます。

$$\mathbf{T}^T = T_{ji} = \begin{pmatrix} T_{11} & T_{21} & T_{31} \\ T_{12} & T_{22} & T_{32} \\ T_{13} & T_{23} & T_{33} \end{pmatrix} \quad (1.2)$$

注意：ランク 3 以上のテンソルが出現することは非常にまれなので、多くの場合、ランク 2 のテンソルは単に「テンソル」とよばれます。

ランク 2（対称） 「対称」というのは、対角方向に対称、つまり $T_{ij} = T_{ji}$ であることを表します。この場合 $T_{12} = T_{21}$, $T_{13} = T_{31}$, $T_{23} = T_{32}$ なので、独立な要素は 6 個だけになります。対称テンソルであれば 9 個より 6 個の要素を保存するほうがメモリを節約できるので、OpenFOAM では対称テンソルと非対称テンソルを区別して扱います。連続体力学において遭遇するほとんどのテンソルは対称です。

ランク 3 27 個の要素をもち、添字表記では P_{ijk} と書けますが、式 (1.1) のように行列表示しようとすると非常に長くなります。

ランク 3（対称） ランク 3 の対称テンソルは、OpenFOAM では $P_{ijk} = P_{ikj} = P_{jik} = P_{jki} = P_{kij} = P_{kji}$ として定義されており、したがって 10 個の独立した要素をもちます。さらに厳密にいえば、これは相等しい三つのベクトルの外積によってつくられます。外積については 1.3.4 項で述べられています。

1.2.1 テンソル表記

本書は、空間3次元と時間からなる複雑な偏微分方程式の問題を扱う、数値連続体力学に関するものです。まず最初に、簡潔でありながら明確な、方程式の表記方法を導入しておくことが不可欠です。方程式を追いやすいようにするには、スカラ要素のリストを書くよりも、それ自体にテンソルの概念が含められた一つのもので表記することが必要です。加えて、あらゆるテンソル演算が、要素それぞれに体する演算ではなくテンソル自体に対する演算である、とわかるような表記法であるべきです。

そういうわけで、この文書ではランク1以上のテンソル、すなわちスカラ以外のすべてのテンソルについてはテンソル表記を採用し、太字で、例えば \mathbf{a} のように表記します。これは一つのシンボルで表され、非常にコンパクトであることから、それ自体で一つの存在としてテンソルを把握しやすくなります。欠点をあげるとすれば、太字のシンボルはランク0でないことは明らかですが、そのランクがすぐには読み取れないことです。しかしながら、シンボルを見れば何の物理量を表しているかがわかり、直観的にランクもわかるので、実際にはそれほど問題になりません。例えば、私たちは速度 \mathbf{U} がランク1のテンソルであることを知っています。

さらにいえば、表記方法の選択を評価するもっと根本的な点は、テンソルの数学的表現が座標系によって変化しないこと、つまりベクトル \mathbf{a} がどこから観測するかに拘らず同じベクトルであることです。テンソル表記は、座標系に関する情報をいっさい含まないので、このコンセプトに合っています。しかし、他の表記、たとえば a_i のようにテンソルの成分個別の表示は必然的に座標系の選択を意味してしまいます。この望ましくない結果は、一意でない、つまり座標系に依存する値の組み合わせでテンソルが表現されることによります。

とはいえた書では、主にテンソル演算を成分要素に展開するために、1.2節で述べたような添字表記もときどき用います。添字表記を用いる際には、和の規約を採用します。これは、一つの項に同じ添字が2回現れたら、その添字については該当する全ての数字、たとえば1, 2, 3をとり、それらの和をとるというものです。たとえば次のようになります。

$$a_i b_i = \sum_{i=1}^3 a_i b_i = a_1 b_1 + a_2 b_2 + a_3 b_3 \quad (1.3)$$

添字が繰り返されたら和を意味するので、この文書では今後、記号 \sum は省略します。

1.3 テンソルの代数演算

この節では、OpenFOAMで利用できるテンソルの代数演算をすべて紹介します。まず、もっとも基本的なテンソル演算をおさらいしておきましょう。加算、減算、そしてスカラの乗算と除算です。加算と減算は、可換則と結合則の両方を満たし、互いにランクの等しいテンソルどうしに限って意味をもちます。これはテンソルの要素それぞれについて加算・減算を行う操作であり、たとえば、二つのベクトル \mathbf{a} と \mathbf{b} の差は

$$\mathbf{a} - \mathbf{b} = a_i - b_i = (a_1 - b_1, a_2 - b_2, a_3 - b_3) \quad (1.4)$$

となります。テンソル \mathbf{a} にスカラ s をかける乗算も同様に可換則と結合則を満たし、テンソルの要素すべてにスカラを乗じる操作です。たとえば、次のようになります。

$$s\mathbf{a} = s a_i = (s a_1, s a_2, s a_3) \quad (1.5)$$

テンソル \mathbf{a} とスカラの除算は、スカラが演算の第2引数となっているときにのみ意味をもちます。つまり、次のとおりです。

$$\frac{\mathbf{a}}{s} = \frac{a_i}{s} = \left(\frac{a_1}{s}, \frac{a_2}{s}, \frac{a_3}{s} \right) \quad (1.6)$$

これ以降の節で述べる上記以外の演算は、ランク1以上のテンソルどうしの、さらに複雑な積の組み合わせとなっています。

1.3.1 内積

内積は、ランク r_1 と r_2 の任意の二つのテンソルをランク $r = r_1 + r_2 - 2$ のテンソルにする演算です。ランク3までのテンソルの内積演算を以下に示します。

- 二つのベクトル \mathbf{a} と \mathbf{b} の内積は可換であり、以下のスカラ $s = \mathbf{a} \cdot \mathbf{b}$ をつくります。

$$s = a_i b_i = a_1 b_2 + a_2 b_2 + a_3 b_3 \quad (1.7)$$

- テンソル \mathbf{T} とベクトル \mathbf{a} の内積はベクトル $\mathbf{b} = \mathbf{T} \cdot \mathbf{a}$ をつくります。これは、見やすいように列ベクトルで書くと、以下のようになります。

$$b_i = T_{ij} a_j = \begin{pmatrix} T_{11}a_1 + T_{12}a_2 + T_{13}a_3 \\ T_{21}a_1 + T_{22}a_2 + T_{23}a_3 \\ T_{31}a_1 + T_{32}a_2 + T_{33}a_3 \end{pmatrix} \quad (1.8)$$

もし \mathbf{T} が対称でなければ、 $\mathbf{b} = \mathbf{a} \cdot \mathbf{T} = \mathbf{T}^T \cdot \mathbf{a}$ は以下のようになります。この演算は可換ではありません。

$$b_i = a_j T_{ji} = \begin{pmatrix} a_1 T_{11} + a_2 T_{21} + a_3 T_{31} \\ a_1 T_{12} + a_2 T_{22} + a_3 T_{32} \\ a_1 T_{13} + a_2 T_{23} + a_3 T_{33} \end{pmatrix} \quad (1.9)$$

- 二つのテンソル \mathbf{T} と \mathbf{S} の内積は、以下のような成分をもつテンソル $\mathbf{P} = \mathbf{T} \cdot \mathbf{S}$ をつくります。

$$P_{ij} = T_{ik} S_{kj} \quad (1.10)$$

これは $\mathbf{T} \cdot \mathbf{S} = (\mathbf{S}^T \cdot \mathbf{T}^T)^T$ となり、非可換です。

- ベクトル \mathbf{a} と3階のテンソル \mathbf{P} の内積は、以下のような成分をもつ2階のテンソル $\mathbf{T} = \mathbf{a} \cdot \mathbf{P}$ をつくります。

$$T_{ij} = a_k P_{kij} \quad (1.11)$$

やはりこれも非可換で、 $\mathbf{T} = \mathbf{P} \cdot \mathbf{a}$ は次のようにになります。

$$T_{ij} = P_{ijk} a_k \quad (1.12)$$

- 2階のテンソル \mathbf{T} と3階のテンソル \mathbf{P} の内積は、以下のような成分をもつ3階のテンソル $\mathbf{Q} = \mathbf{T} \cdot \mathbf{P}$ をつくります。

$$Q_{ijk} = T_{il} P_{ljk} \quad (1.13)$$

やはりこれも非可換で、 $\mathbf{Q} = \mathbf{P} \cdot \mathbf{T}$ は次のようにになります。

$$Q_{ijk} = P_{ijl} T_{lk} \quad (1.14)$$

1.3.2 二つのテンソルの二重内積

二つの2階テンソル \mathbf{T} と \mathbf{S} の二重内積は、スカラ $s = \mathbf{T} : \mathbf{S}$ をつくります。これは、テンソル成分の9個の積の和として得られます。

$$\begin{aligned} s = T_{ij}S_{ij} &= T_{11}S_{11} + T_{12}S_{12} + T_{13}S_{13} + \\ &\quad T_{21}S_{21} + T_{22}S_{22} + T_{23}S_{23} + \\ &\quad T_{31}S_{31} + T_{32}S_{32} + T_{33}S_{33} \end{aligned} \quad (1.15)$$

2階のテンソル \mathbf{T} と3階のテンソル \mathbf{P} の二重内積は、次のような成分をもつベクトル $\mathbf{a} = \mathbf{T} : \mathbf{P}$ をつくります。

$$a_i = T_{jk}P_{jki} \quad (1.16)$$

これは非可換で、 $\mathbf{a} = \mathbf{P} : \mathbf{T}$ は次のようにになります。

$$a_i = P_{ijk}T_{jk} \quad (1.17)$$

1.3.3 二つの3階テンソルの三重内積

二つの3階テンソル \mathbf{P} と \mathbf{Q} の三重内積は、スカラ $s = \mathbf{P} : \mathbf{Q}$ をつくります。これは、テンソル成分の27個の積の和として得られます。

$$s = P_{ijk}Q_{ijk} \quad (1.18)$$

1.3.4 外積

外積は、以下のようなベクトルやテンソルどうしの演算です。

- 二つのベクトル \mathbf{a} と \mathbf{b} の外積は非可換で、以下のような成分をもつテンソル $\mathbf{T} = \mathbf{ab} = (\mathbf{ba})^T$ をつくります。

$$T_{ij} = a_i b_j = \begin{pmatrix} a_1 b_1 & a_1 b_2 & a_1 b_3 \\ a_2 b_1 & a_2 b_2 & a_2 b_3 \\ a_3 b_1 & a_3 b_2 & a_3 b_3 \end{pmatrix} \quad (1.19)$$

- ベクトル \mathbf{a} と2階のテンソル \mathbf{T} との外積は、以下のような成分をもつ3階のテンソル $\mathbf{P} = \mathbf{aT}$ をつくります。

$$P_{ijk} = a_i T_{jk} \quad (1.20)$$

これは非可換で、 $\mathbf{P} = \mathbf{Ta}$ は以下のようにになります。

$$P_{ijk} = T_{ij}a_k \quad (1.21)$$

1.3.5 二つのベクトルのクロス積

クロス積はベクトルだけに存在する演算です。二つのベクトル \mathbf{a} と \mathbf{b} について、これらのクロス積は以下のような成分をもつベクトル $\mathbf{c} = \mathbf{a} \times \mathbf{b}$ をつくります。

$$c_i = e_{ijk} a_j b_k = (a_2 b_3 - a_3 b_2, a_3 b_1 - a_1 b_3, a_1 b_2 - a_2 b_1) \quad (1.22)$$

ここで置換記号は以下のように定義されます。

$$e_{ijk} = \begin{cases} 0 & \text{いずれか二つの添字が等しいとき} \\ +1 & i, j, k \text{ が } 1, 2, 3 \text{ の偶置換のとき} \\ -1 & i, j, k \text{ が } 1, 2, 3 \text{ の奇置換のとき} \end{cases} \quad (1.23)$$

偶置換とは 123, 231 および 312 であり、奇置換は 132, 213 および 321 です。

1.3.6 その他の一般的なテンソル演算

OpenFOAM で使われる、やや一般的でない演算や専門用語を以下に示します。

二乗 テンソルの二乗は、それ自身とのテンソル外積で定義されます。例えば、ベクトル \mathbf{a} の二乗は $\mathbf{a}^2 = \mathbf{aa}$ です。

n乗 テンソルの n 乗は、それ自身との n 回のテンソル外積で定義されます。例えば、ベクトル \mathbf{a} の 3 乗は $\mathbf{a}^3 = \mathbf{aaa}$ です。

平方絶対値 テンソルの平方絶対値は、それ自身との r テンソルの r 重内積で、スカラとなります。例えば、2 階テンソル \mathbf{T} については、 $|\mathbf{T}|^2 = \mathbf{T} : \mathbf{T}$ です。

絶対値 平方絶対値の平方根です。例えば、テンソル \mathbf{T} については、 $|\mathbf{T}| = \sqrt{\mathbf{T} : \mathbf{T}}$ です。単位長さのベクトルは単位ベクトルとよばれます。

最大成分 符号も考慮した最大の値をもつテンソルの成分です。つまり最大の絶対値ではありません。

最小成分 最小の値をもつテンソルの成分です。

成分平均値 テンソルのすべての成分の平均値です。

スケール 名前のとおり、スケール関数は、あるテンソルの成分を同じランクの他のテンソルの成分でスケーリングします。これは二つのテンソルの対応する成分同士の積で評価されます。例えば、ベクトル \mathbf{a} のベクトル \mathbf{b} によるスケーリングは、以下のような成分のベクトル \mathbf{c} をつくります。

$$c_i = \text{scale}(\mathbf{a}, \mathbf{b}) = (a_1 b_1, a_2 b_2, a_3 b_3) \quad (1.24)$$

1.3.7 幾何変換と単位テンソル

2 階のテンソル \mathbf{T} は線形ベクトル関数、すなわち、内積 $\mathbf{b} = \mathbf{T} \cdot \mathbf{a}$ によって、あるベクトル \mathbf{a} を別のベクトル \mathbf{b} に結びつける関数として、厳密に定義されます。 x, y, z 座標系から新しい座標系 x^*, y^*, z^* へのあるテンソルの座標変換として機能するように、 \mathbf{T} の成分を選ぶことができます。このとき \mathbf{T} を変換テンソルとよびます。スカラは変換によって変化しませんが、ベ

クトル \mathbf{a} は

$$\mathbf{a}^* = \mathbf{T} \cdot \mathbf{a} \quad (1.25)$$

のように \mathbf{a}^* に変換されます。2階のテンソル \mathbf{S} は

$$\mathbf{S}^* = \mathbf{T} \cdot \mathbf{S} \cdot \mathbf{T}^T \quad (1.26)$$

に従って \mathbf{T}^* に変換されます。

単位テンソル \mathbf{I} は、あるテンソルをそれ自身に変換するという条件から定義されます。すべてのベクトル \mathbf{a} に対して

$$\mathbf{a} = \mathbf{I} \cdot \mathbf{a} \quad (1.27)$$

となり、つまり

$$\mathbf{I} = \delta_{ij} = \begin{pmatrix} 1 & 0 & 0 \\ 0 & 1 & 0 \\ 0 & 0 & 1 \end{pmatrix} \quad (1.28)$$

となります。ここで、 δ_{ij} はクロネッカーデルタとして知られています。

1.3.8 便利なテンソルの恒等式

さまざまな恒等式を以下に示します。これらは、関連するすべての微分が存在して連続であるという仮定のもとで証明できます。スカラ s とベクトル \mathbf{a} および \mathbf{b} を用いて表記しています。

$$\begin{aligned} \nabla \cdot (\nabla \times \mathbf{a}) &\equiv 0 \\ \nabla \times (\nabla s) &\equiv \mathbf{0} \\ \nabla \cdot (s\mathbf{a}) &\equiv s\nabla \cdot \mathbf{a} + \mathbf{a} \cdot \nabla s \\ \nabla \times (s\mathbf{a}) &\equiv s\nabla \times \mathbf{a} + \nabla s \times \mathbf{a} \\ \nabla(\mathbf{a} \cdot \mathbf{b}) &\equiv \mathbf{a} \times (\nabla \times \mathbf{b}) + \mathbf{b} \times (\nabla \times \mathbf{a}) + (\mathbf{a} \cdot \nabla)\mathbf{b} + (\mathbf{b} \cdot \nabla)\mathbf{a} \quad (1.29) \\ \nabla \cdot (\mathbf{a} \times \mathbf{b}) &\equiv \mathbf{b} \cdot (\nabla \times \mathbf{a}) - \mathbf{a} \cdot (\nabla \times \mathbf{b}) \\ \nabla \times (\mathbf{a} \times \mathbf{b}) &\equiv \mathbf{a}(\nabla \cdot \mathbf{b}) - \mathbf{b}(\nabla \cdot \mathbf{a}) + (\mathbf{b} \cdot \nabla)\mathbf{a} - (\mathbf{a} \cdot \nabla)\mathbf{b} \\ \nabla \times (\nabla \times \mathbf{a}) &\equiv \nabla(\nabla \cdot \mathbf{a}) - \nabla^2 \mathbf{a} \\ (\nabla \times \mathbf{a}) &\equiv \mathbf{a} \cdot (\nabla \mathbf{a}) - \nabla(\mathbf{a} \cdot \mathbf{a}) \end{aligned}$$

添字表記の数式を操作するときには、以下の $e-\delta$ 恒等式を知っていると役立つことがあります。

$$e_{ijk}e_{irs} = \delta_{jr}\delta_{ks} - \delta_{js}\delta_{kr} \quad (1.30)$$

1.3.9 2階テンソル特有の演算

以下に示すように、2階テンソルの成分を操作する様々な演算があります。

転置 式 (1.2) で示したように、テンソル $\mathbf{T} = T_{ij}$ の転置は $\mathbf{T}^T = T_{ji}$ です。

対称テンソルと歪（反対称）テンソル 1.2節で述べたように, $\mathbf{T} = \mathbf{T}^T$ のように成分が対角方向に対称なテンソルを対称テンソルとよびます。歪テンソルもしくは反対称テンソルは $\mathbf{T} = -\mathbf{T}^T$ であり, 当然 $T_{11} = T_{22} = T_{33} = 0$ となります。あらゆる 2 階テンソルは, 以下のように対称テンソルと歪テンソルに分割できます。

$$\mathbf{T} = \underbrace{\frac{1}{2}(\mathbf{T} + \mathbf{T}^T)}_{\text{対称テンソル}} + \underbrace{\frac{1}{2}(\mathbf{T} - \mathbf{T}^T)}_{\text{歪テンソル}} = \text{symm } \mathbf{T} + \text{skew } \mathbf{T} \quad (1.31)$$

トレース テンソル \mathbf{T} のトレースは対角成分の総和をとったスカラです。

$$\text{tr } \mathbf{T} = T_{11} + T_{22} + T_{33} \quad (1.32)$$

対角 2 階テンソル \mathbf{T} の対角成分を成分とするベクトルを返します。

$$\text{diag } \mathbf{T} = (T_{11}, T_{22}, T_{33}) \quad (1.33)$$

偏差テンソルと静水圧テンソル あらゆる 2 階テンソル \mathbf{T} は, $\text{tr } \mathbf{T} = 0$ となる偏差成分と, スカラ s に対して $\mathbf{T} = s\mathbf{I}$ となる静水圧成分に分割できます。あらゆる 2 階テンソルは, 以下のように偏差テンソルと静水圧テンソルに分割できます。

$$\mathbf{T} = \underbrace{\mathbf{T} - \frac{1}{3}(\text{tr } \mathbf{T})\mathbf{I}}_{\text{偏差テンソル}} + \underbrace{\frac{1}{3}(\text{tr } \mathbf{T})\mathbf{I}}_{\text{静水圧テンソル}} = \text{dev } \mathbf{T} + \text{hyd } \mathbf{T} \quad (1.34)$$

行列式 2 階テンソルの行列式は以下で与えられます。

$$\begin{aligned} \det \mathbf{T} &= \begin{vmatrix} T_{11} & T_{12} & T_{13} \\ T_{21} & T_{22} & T_{23} \\ T_{31} & T_{32} & T_{33} \end{vmatrix} \\ &= T_{11}(T_{22}T_{33} - T_{23}T_{32}) - T_{12}(T_{21}T_{33} - T_{23}T_{31}) + T_{13}(T_{21}T_{32} - T_{22}T_{31}) \\ &= \frac{1}{6}e_{ijk}e_{pqr}T_{ip}T_{jq}T_{kr} \end{aligned} \quad (1.35)$$

余因子 テンソルのある成分が属する行と列を取り除いてできた部分を 2×2 の行列式として評価したものを, テンソルのそれぞれの成分に対する小行列式といいます。例えば, T_{12} に対する小行列式は

$$\begin{vmatrix} T_{11} & T_{12} & T_{13} \\ T_{21} & T_{22} & T_{23} \\ T_{31} & T_{32} & T_{33} \end{vmatrix} = \begin{vmatrix} T_{21} & T_{23} \\ T_{31} & T_{33} \end{vmatrix} = T_{21}T_{33} - T_{23}T_{31} \quad (1.36)$$

となります。余因子とは, それぞれの成分の位置に応じて以下のルールで符号付けした小行列式です。

$$\begin{aligned} i+j \text{ が偶数ならば} &+ \\ i+j \text{ が奇数ならば} &- \end{aligned} \quad (1.37)$$

\mathbf{T} の余因子は以下のようになります。

$$\text{cof } \mathbf{T} = \frac{1}{2}e_{jkr}e_{ist}T_{sk}T_{tr} \quad (1.38)$$

逆元 テンソルの逆元は以下で評価されます.

$$\text{inv } \mathbf{T} = \frac{\text{cof } \mathbf{T}^T}{\det \mathbf{T}} \quad (1.39)$$

ホッジ双対 テンソルのホッジ双対とは、以下のような成分をもつベクトルです.

$${}^* \mathbf{T} = (T_{23}, -T_{13}, T_{12}) \quad (1.40)$$

1.3.10 スカラ特有の演算

OpenFOAM は、スカラを扱うよく知られた関数のほとんどをサポートしています。例えば平方根、指數、対数、正弦、余弦などで、これらのリストが表 1.2 にあります。OpenFOAM では、これらに加えて以下の 3 種類の関数も定義されています。

符号 スカラ s の符号は以下のように得られます。

$$\text{sgn}(s) = \begin{cases} 1 & s \geq 0 \text{ のとき} \\ -1 & s < 0 \text{ のとき} \end{cases} \quad (1.41)$$

正数 スカラ s に対して以下のように得られます。

$$\text{pos}(s) = \begin{cases} 1 & s \geq 0 \text{ のとき} \\ 0 & s < 0 \text{ のとき} \end{cases} \quad (1.42)$$

制限 スカラ s のスカラ n による制限は以下のようになります。

$$\text{limit}(s, n) = \begin{cases} s & s < n \text{ のとき} \\ 0 & s \geq n \text{ のとき} \end{cases} \quad (1.43)$$

1.4 OpenFOAM のテンソルクラス

OpenFOAM には、これまでに述べたようなテンソル数学のためのクラス群を含んだ primitive という C++ のクラスライブラリがあります。OpenFOAM で標準的に使える基本テンソルクラスを表 1.1 に列挙します。この表にはテンソルの個別の成分にアクセスするための関数、いわゆるアクセス関数も列挙してあります。

| ランク | 名称 | 基本クラス | アクセス関数 |
|-----|------|--------|-----------------------|
| 0 | スカラ | scalar | |
| 1 | ベクトル | vector | x(), y(), z() |
| 2 | テンソル | tensor | xx(), xy(), xz(), ... |

表 1.1 OpenFOAM における基本テンソルクラス

テンソル

$$\mathbf{T} = \begin{pmatrix} 1 & 2 & 3 \\ 4 & 5 & 6 \\ 7 & 8 & 9 \end{pmatrix} \quad (1.44)$$

は、OpenFOAM では次の 1 行で宣言できます。

```
tensor T(1, 2, 3, 4, 5, 6, 7, 8, 9);
```

アクセス関数 `xz()` で成分 T_{13} つまり T_{xz} にアクセスできます。例えば、コード

```
Info << "Txz = " << T.xz() << endl;
```

は、以下を画面に出力します。

```
Txz = 3
```

1.4.1 OpenFOAMにおけるテンソルの代数演算

1.3節で述べたすべての代数演算は、OpenFOAMのテンソルクラスに対して、数学の表記法によく似た構文で利用できます。いくつかの関数は、例えば `symm()` のように、単に記述的な関数で表現しますが、その他については、例えば `*` のような演算子記号でも使用できます。すべての関数を表1.2に列挙します。

| 演算 | 備考 | 数学表記 | OpenFOAMでの表記 |
|-------|--|--|------------------------------|
| 加算 | | $\mathbf{a} + \mathbf{b}$ | <code>a + b</code> |
| 減算 | | $\mathbf{a} - \mathbf{b}$ | <code>a - b</code> |
| スカラ倍 | | $s\mathbf{a}$ | <code>s * a</code> |
| スカラ除算 | | \mathbf{a}/s | <code>a / s</code> |
| 外積 | rank $a, b \geq 1$ | \mathbf{ab} | <code>a * b</code> |
| 内積 | rank $a, b \geq 1$ | $\mathbf{a} \cdot \mathbf{b}$ | <code>a & b</code> |
| 二重内積 | rank $a, b \geq 2$ | $\mathbf{a} : \mathbf{b}$ | <code>a && b</code> |
| クロス積 | rank $a, b = 1$ | $\mathbf{a} \times \mathbf{b}$ | <code>a ^ b</code> |
| 平方 | | \mathbf{a}^2 | <code>sqr(a)</code> |
| 平方絶対値 | | $ \mathbf{a} ^2$ | <code>magSqr(a)</code> |
| 絶対値 | | $ \mathbf{a} $ | <code>mag(a)</code> |
| 累乗 | $n = 0, 1, \dots, 4$ | \mathbf{a}^n | <code>pow(a, n)</code> |
| 成分平均値 | $i = 1, \dots, N$ | $\bar{\mathbf{a}}_i$ | <code>cmptAv(a)</code> |
| 最大成分 | $i = 1, \dots, N$ | $\max(\mathbf{a}_i)$ | <code>max(a)</code> |
| 最小成分 | $i = 1, \dots, N$ | $\min(\mathbf{a}_i)$ | <code>min(a)</code> |
| スケール | | $\text{scale}(\mathbf{a}, \mathbf{b})$ | <code>scale(a, b)</code> |
| 幾何変換 | テンソル \mathbf{T} による \mathbf{a} の幾何変換 | | <code>transform(T, a)</code> |

2階テンソル特有の演算

| | | |
|--------|---------------------------|----------------------|
| 転置 | \mathbf{T}^T | <code>T.T()</code> |
| 対角 | $\text{diag } \mathbf{T}$ | <code>diag(T)</code> |
| トレース | $\text{tr } \mathbf{T}$ | <code>tr(T)</code> |
| 偏差成分 | $\text{dev } \mathbf{T}$ | <code>dev(T)</code> |
| 静水圧成分* | $\text{hyd } \mathbf{T}$ | <code>hyd(T)</code> |
| 対称成分 | $\text{symm } \mathbf{T}$ | <code>symm(T)</code> |
| 歪成分 | $\text{skew } \mathbf{T}$ | <code>skew(T)</code> |
| 行列式 | $\det \mathbf{T}$ | <code>det(T)</code> |
| 余因子 | $\text{cof } \mathbf{T}$ | <code>cof(T)</code> |
| 逆元 | $\text{inv } \mathbf{T}$ | <code>inv(T)</code> |
| ホッジ双対 | $* \mathbf{T}$ | <code>*T</code> |

*訳注：原文では抜けています。

| スカラ特有の演算 | | |
|--------------|-----------------|----------------------|
| 符号 (真偽値) | $\text{sgn}(s)$ | <code>sgn(s)</code> |
| 正数 (真偽値) | $s \geq 0$ | <code>pos(s)</code> |
| 負数 (真偽値) | $s < 0$ | <code>neg(s)</code> |
| 制限 | n はスカラ | $\text{limit}(s, n)$ |
| 平方根 | | \sqrt{s} |
| 指数 | | $\text{exp } s$ |
| 自然対数 | | $\ln s$ |
| 常用対数 | | $\log_{10} s$ |
| 正弦 | | $\sin s$ |
| 余弦 | | $\cos s$ |
| 正接 | | $\tan s$ |
| 逆正弦 | | $\arcsin s$ |
| 逆余弦 | | $\arccos s$ |
| 逆正接 | | $\arctan s$ |
| 逆余弦 | | $\arccos s$ |
| 双曲線正弦 | | $\sinh s$ |
| 双曲線余弦 | | $\cosh s$ |
| 双曲線正接 | | $\tanh s$ |
| 双曲線逆正弦 | | $\text{arsinh } s$ |
| 双曲線逆余弦 | | $\text{arcosh } s$ |
| 双曲線逆正接 | | $\text{atanh } s$ |
| 誤差関数 | | $\text{erf } s$ |
| 相補誤差関数 | | $\text{erfc } s$ |
| 対数ガンマ関数 | | $\ln \Gamma s$ |
| 0次の第1種ベッセル関数 | $J_0 s$ | <code>j0(s)</code> |
| 1次の第1種ベッセル関数 | $J_1 s$ | <code>j1(s)</code> |
| 0次の第2種ベッセル関数 | $Y_0 s$ | <code>y0(s)</code> |
| 1次の第2種ベッセル関数 | $Y_1 s$ | <code>y1(s)</code> |

別途記載がないかぎり a , b は任意ランクのテンソル
 s はスカラ, N はテンソル成分の数

表 1.2 OpenFOAM におけるテンソルの代数演算

1.5 物理次元の単位

連続体力学では、物理量はある選ばれた単位で記述されます。例えば、質量はキログラム (kg), 体積は立方メートル (m^3), 圧力はパスカル ($kg \cdot m^{-1} \cdot s^{-2}$)。これらの物理量に対する代数演算は、計量単位を一致させて行わなければなりません。特に、加算、減算、等価判定は、同じ単位の物理量に対してのみ、物理的な意味をもちます。無意味な演算の実装を予防するために、OpenFOAM はユーザがあらゆるテンソルに物理次元の単位を付加することを推奨し、これによりあらゆるテンソル演算の際に次元のチェックが行われます。

単位は、例えば以下のように、`dimensionSet` クラスで定義されます。

```
dimensionSet pressureDims(1, -1, -2, 0, 0, 0, 0);
```

ここで、それぞれの値は、表 1.3 に列挙した SI 基本計量単位それぞれの指数を示しています。

| No. | 物理量 | 単位 | 記号 |
|-----|-------|-------|-----|
| 1 | 質量 | キログラム | kg |
| 2 | 長さ | メートル | m |
| 3 | 時間 | 秒 | s |
| 4 | 熱力学温度 | ケルビン | K |
| 5 | 物質量 | モル | mol |
| 6 | 電流 | アンペア | A |
| 7 | 光度 | カンデラ | cd |

表 1.3 SI 基本計量単位

このコードでは `pressureDims` を、圧力 $\text{kg m}^{-1} \text{s}^{-2}$ の `dimensionSet` として宣言しています。すなわち `pressureDims` の引数配列の最初の項目 1 は kg^1 を表し、二つめの -1 は m^{-1} を表す、などのようにです。単位付きのテンソルは `dimensioned<Type>` テンプレートクラスで定義されます。`<Type>` は `scalar`, `vector`, `tensor` などです。この `dimensioned<Type>` は、`word` クラスの変数名、`<Type>` の値、そして `dimensionSet` を保持します。

```
dimensionedTensor sigma
(
    "sigma",
    dimensionSet(1, -1, -2, 0, 0, 0, 0),
    tensor(1e6, 0, 0, 0, 1e6, 0, 0, 0, 1e6),
);
```

は、圧力あるいは応力としてしかるべき次元をもつ以下のテンソルをつくります。

$$\sigma = \begin{pmatrix} 10^6 & 0 & 0 \\ 0 & 10^6 & 0 \\ 0 & 0 & 10^6 \end{pmatrix} \quad (1.45)$$

第2章

離散化手法

これまでではテンソル代数について議論してきました。我々が解きたい偏微分方程式は、テンソルの時間および空間に対する微分に関するものです。したがって、テンソル場、すなわち時間および空間の領域にわたって変化するテンソルへと、表現を拡張する必要があります。この章では、まずははじめに登場するすべての微分演算の数学的表現を解説します。そして、OpenFOAMではテンソル場がどのように構築されているのか、これらの場の微分はどのようにして代数式へと離散化されるのかを紹介します。

2.1 微分演算子

空間微分を定義する前に、ベクトル演算子ナブラ ∇ を紹介します。添字表記では ∂_i と書かれます。

$$\nabla \equiv \partial_i \equiv \left(\frac{\partial}{\partial x_1}, \frac{\partial}{\partial x_2}, \frac{\partial}{\partial x_3} \right) \quad (2.1)$$

ナブラ演算子は、以下のルールに従う便利な表記法です。

- テンソルに作用するときは、自身の右側に向かって、通常の積の微分のルールに従う。例えば $\partial_i ab = (\partial_i a)b + a(\partial_i b)$
- それ以外の場合、ナブラ演算子は代数演算における通常のベクトルと同様に振る舞う。

2.1.1 勾配

スカラ場 s が定義されていて、連続微分可能ならば、 s の勾配 ∇s は以下のベクトル場となります。

$$\nabla s = \partial_i s = \left(\frac{\partial s}{\partial x_1}, \frac{\partial s}{\partial x_2}, \frac{\partial s}{\partial x_3} \right) \quad (2.2)$$

勾配はあらゆるテンソル場に作用し、一つランクの高いテンソル場を作ります。例えば、ベクトル場 \mathbf{a} の勾配は、以下の 2 階テンソルです。

$$\nabla \mathbf{a} = \partial_i a_j = \begin{pmatrix} \partial a_1 / \partial x_1 & \partial a_2 / \partial x_1 & \partial a_3 / \partial x_1 \\ \partial a_1 / \partial x_2 & \partial a_2 / \partial x_2 & \partial a_3 / \partial x_2 \\ \partial a_1 / \partial x_3 & \partial a_2 / \partial x_3 & \partial a_3 / \partial x_3 \end{pmatrix} \quad (2.3)$$

2.1.2 発散

ベクトル場 \mathbf{a} が定義されていて、連続微分可能ならば、 \mathbf{a} の発散は以下のスカラ場となります。

$$\nabla \cdot \mathbf{a} = \partial_i a_i = \frac{\partial a_1}{\partial x_1} + \frac{\partial a_2}{\partial x_2} + \frac{\partial a_3}{\partial x_3} \quad (2.4)$$

発散はランク1以上のあらゆるテンソル場に作用し、一つランクの低いテンソル場を作ります。例えば、2階テンソル場 \mathbf{T} の発散は、以下のベクトル場です（見やすいように列ベクトルに展開して表示しています）。

$$\nabla \cdot \mathbf{T} = \partial_i T_{ij} = \begin{pmatrix} \partial T_{11}/\partial x_1 + \partial T_{21}/\partial x_2 + \partial T_{31}/\partial x_3 \\ \partial T_{12}/\partial x_1 + \partial T_{22}/\partial x_2 + \partial T_{32}/\partial x_3 \\ \partial T_{13}/\partial x_1 + \partial T_{23}/\partial x_2 + \partial T_{33}/\partial x_3 \end{pmatrix} \quad (2.5)$$

2.1.3 回転

ベクトル場 \mathbf{a} が定義されていて、連続微分可能ならば、 \mathbf{a} の回転 $\nabla \times \mathbf{a}$ は以下のベクトル場となります。

$$\nabla \times \mathbf{a} = e_{ijk} \partial_j a_k = \left(\frac{\partial a_3}{\partial x_2} - \frac{\partial a_2}{\partial x_3}, \frac{\partial a_1}{\partial x_3} - \frac{\partial a_3}{\partial x_1}, \frac{\partial a_2}{\partial x_1} - \frac{\partial a_1}{\partial x_2} \right) \quad (2.6)$$

回転は以下のように勾配と関連付けられます。

$$\nabla \times \mathbf{a} = 2(*\text{skew } \mathbf{a}) \quad (2.7)$$

2.1.4 ラプラシアン

ラプラシアンは、数学的には $\nabla^2 = \nabla \cdot \nabla$ のように、発散と勾配を組み合わせて定義できる演算です。しかしながらラプラシアンは、テンソルのランクを一つ上げる演算と一つ下げる演算の二つの組み合わせを考えるよりも、あるテンソル場を同じランクの別のテンソル場に変換する一つの演算と考えるべきです。

実際に、ナブラをベクトル演算子として定義したように、ラプラスアンは以下のようにスカラ演算子として定義するのが最適です。

$$\nabla^2 \equiv \partial^2 \equiv \frac{\partial^2}{\partial x_1^2} + \frac{\partial^2}{\partial x_2^2} + \frac{\partial^2}{\partial x_3^2} \quad (2.8)$$

例えば、スカラ場 s のラプラスアンは以下のスカラ場になります。

$$\nabla^2 s \equiv \partial^2 s \equiv \frac{\partial^2 s}{\partial x_1^2} + \frac{\partial^2 s}{\partial x_2^2} + \frac{\partial^2 s}{\partial x_3^2} \quad (2.9)$$

2.1.5 時間微分

テンソルの時間微分については複数の定義があります。時間微分を表現するときには、そのテンソルが、動いている物質のある体積の物理量に関連していることを思い出す必要があります。物質の中のある無限に小さい体積あるいは粒子の動きを追跡し、テンソル物理量 ϕ の時間

変化を観察することを考えれば、以下のように表示される時間の実質微分あるいは物質微分になります。

$$\frac{D\phi}{Dt} = \lim_{\Delta t \rightarrow 0} \frac{\Delta\phi}{\Delta t} \quad (2.10)$$

しかしながら、連続体力学、特に流体力学では、多くの場合、空間に固定された1点での ϕ の時間変化を、その点を異なる粒子が通過するものとして観察します。空間内の1点でのこの変化は $\partial/\partial t$ で表示される空間時間微分とよばれ、以下のように物質微分と関連付けられます。

$$\frac{D\phi}{Dt} = \frac{\partial\phi}{\partial t} + \mathbf{U} \cdot \nabla\phi \quad (2.11)$$

ここで、 \mathbf{U} は物理量 ϕ の速度場です。右辺の第2項は ϕ の変化の移流速度として知られています。

2.2 離散化の概要

項の離散化とは、問題の離散量への近似を意味します。有限体積法、および有限要素法や有限差分法のようなその他の手法は、いずれも以下のように問題を離散化します。

空間の離散化 解の定義域を、ひとつなぎの空間の領域を満たして区切るような点の集合で定義します。

時間の離散化 (非定常の問題について) 時間の定義域を、時間の区間あるいはステップの有限な数へと分割します。

等式の離散化 問題を記述する偏微分方程式群から、領域のそれぞれの位置で定義された離散量に関して、代数式系を構築します。

2.2.1 OpenFOAM のリストと場

OpenFOAMでは、データの集合を保持において、そのデータに対して代数演算のような関数を適用することがよく必要になります。そこでOpenFOAMは、Typeの関数を継承したTypeクラスのあらゆるオブジェクトのリストの生成を可能にする配列テンプレートクラスList<Type>を提供しています。OpenFOAMでは、テンソルクラスのリストはテンプレートクラスField<Type>によって標準で定義されています。コードの視認性をより良くするために、例えばField<vector>のようなField<Type>のインスタンスは、typedef定義によりscalarField, vectorField, tensorField, symmTensorField, tensorThirdField, そしてsymmTensorThirdFieldと改名されています。Fieldどうしの代数演算は、それらの場が同じ数の要素をもっている、といった明らかな制約条件のもとで実行できます。OpenFOAMは、ある場と一つのテンソルとの演算もサポートしています。例えば、 $\mathbf{U} = 2.0 * \mathbf{U}$ という演算で、 \mathbf{U} というFieldすべての値に2というscalarをかけることができます。

2.3 解析領域の離散化

解析領域の離散化を図2.1に示します。空間領域が数値メッシュに離散化され、そのうえで偏微分方程式群が離散化されます。必要ならば、時間の離散化は、時間ステップ Δt の組に単純

に分割されます。この Δt は、場合によっては、数値計算中に計算された条件に依存して変化するかもしれません。

さらに詳細なレベルでは、空間の離散化には、領域を複数のセルや検査体積に再分割する必要があります。これらのセルは連続、すなわち、互いに重なることなく、領域を完全に埋め尽くします。典型的なセルを図2.2に示します。

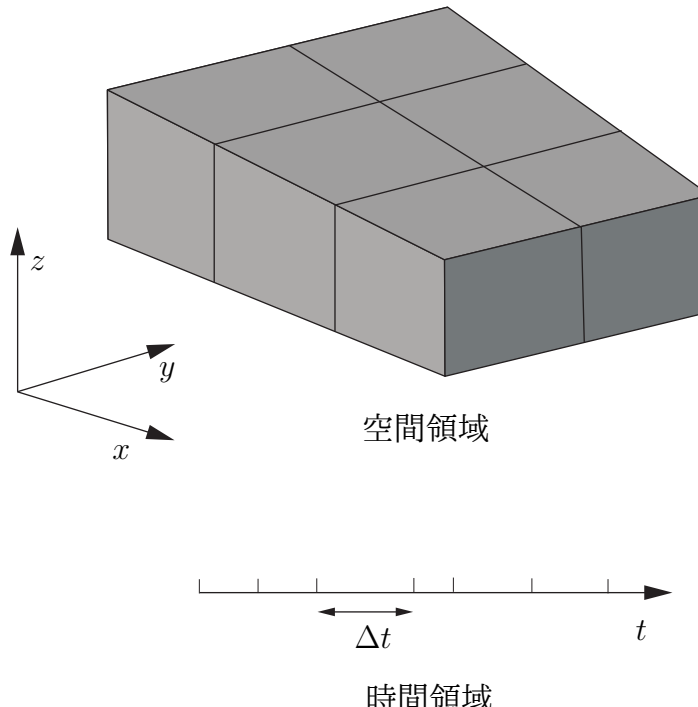


図2.1 解析領域の離散化

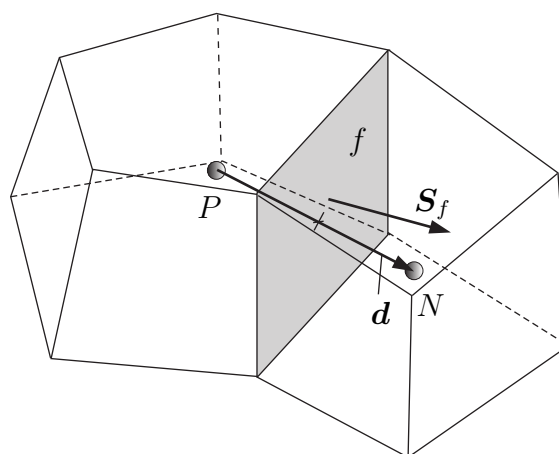


図2.2 有限体積法の離散化におけるパラメータ

従属変数とその他の物理量は、たいていセル中心 P で保存されますが、面や点で保存される場合もあります。セルは、一般に f とラベル付けされる平らな面で境界付けられます。OpenFOAMでは、各セルをつくる面の数に制限はなく、各面の配置にも制約はありません。このような種類のメッシュは通常、セルの面が所定の（例えば座標軸に沿った）配置になるメッシュと区別して、「任意非構造」とよばれます。任意非構造メッシュを採用したコードは、領域の形状が複

雑であったり時間変化する場合などは特に、とても自由にメッシュの生成や操作を行うことができます。

ほとんどの物理量はセル中心で定義されますが、セルの面で定義されるものもいくつかあります。セルの面には二つのタイプがあります。

内部面 二つのセル（二つを上回ることはできません）をつなぐ面です。それぞれの内部面について、OpenFOAM は隣接するセルのうち一つをその面の「所有セル」、もう一方を「隣接セル」として指定します。

境界面 一つだけのセルに属する面で、それゆえ領域の境界と一致します。これらの面には単純に所有セルしかありません。

2.3.1 OpenFOAM におけるメッシュ定義

OpenFOAM にはいくつかの異なるレベルのメッシュ記述方法がありますが、まずはもっとも基本的なメッシュクラスである `polyMesh` について述べます。多面体からなるので `polyMesh` といいます。`polyMesh` は以下および図 2.2 に示すように、メッシュ形状を定義するための最小限の情報で構成されます。

点 頂点の座標ベクトルのリスト、すなわち `vectorField` ですが、改めて `typedef` 宣言により `pointField` と名付けられています。

面 セルの面のリスト `List<face>`、あるいは `faceList` です。ここで、`face` クラスは `pointField` に対応する頂点番号のリストで定義されます。

セル セルのリスト `List<cell>` あるいは `cellList` です。ここで、`cell` クラスは上記の `faceList` に対応する面番号のリストで定義されます。

境界 `polyBoundaryMesh` は、境界の異なる領域を表すパッチのリスト `polyPatchList` から成り立っています。このような方法で、解析の際に各々のパッチに異なる境界条件を適用できるように境界が細分化されます。あらゆる `polyPatch` の全ての面は `faceList` の一つのブロックに保存されており、ブロックの最初と最後の面への参照が保存された `slice` クラスを使うことにより、それらの面に簡単にアクセスできます。それぞれの `polyPatch` は以下から成り立っています。

- `slice`
- 名前を付けるための `word`

有限体積法による離散化には、`polyMesh` に保存されているメッシュ形状に由来する固有のデータが使われます。そのため OpenFOAM では、`polyMesh` クラスを拡張した `fvMesh` に、有限体積法による離散化に必要な追加のデータが保存されます。`fvMesh` は `polyMesh` から構成され、表 2.1 に示すようなデータが保存されます。これらのデータは、メッシュが動いたり細分化されたりする場合には、実行時に更新することができます。

2.3.2 OpenFOAM における `geometricField` の定義

これまでのところ、場、すなわちテンソルのリスト、およびメッシュが定義できます。これらを合わせることで、領域の離散点におけるテンソル場を定義することができます。これは

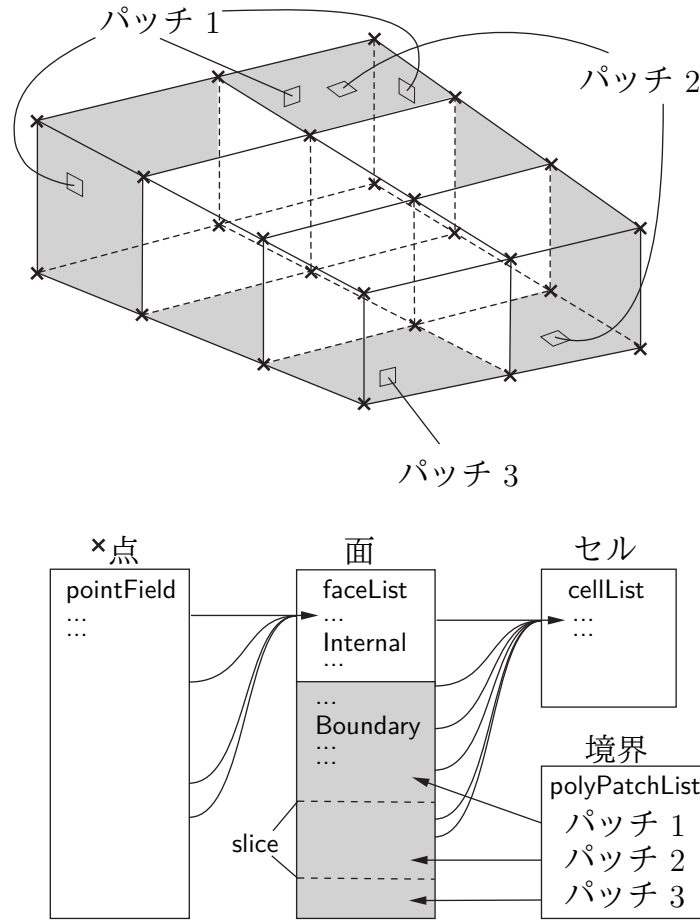


図 2.3 OpenFOAM における基本的なメッシュ表現の概略図

| クラス | 説明 | 記号 | アクセス関数 |
|--------------------|-----------|----------|-----------|
| volScalarField | セル体積 | V | $V()$ |
| surfaceVectorField | 面の面積ベクトル | S_f | $Sf()$ |
| surfaceScalarField | 面の面積の絶対値 | $ S_f $ | $magSf()$ |
| volVectorField | セル中心 | C | $C()$ |
| surfaceVectorField | 面中心 | C_f | $Cf()$ |
| surfaceScalarField | 面の運動流束 ** | ϕ_g | $\phi()$ |

表 2.1 fvMesh に保存されるデータ

OpenFOAMにおいては、テンプレートクラス `geometricField<Type>`によって記述されます。Field の値は、領域内部において例えばセル中心で定義されるものと、領域の境界において例えば境界面上で定義されるものに分けられます。`geometricField<Type>`は以下のよう情報を保存します。

内部場 単純に、2.2.1項で述べたような `Field<Type>`です。

境界場 これは `GeometricBoundaryField` であり、その中では、それぞれのパッチの面について Field が定義され、その境界のパッチについて Field が定義されます。つまりこれは `FieldField<Type>` クラスのオブジェクトに保存される、場の場です。また `fvBoundaryMesh` への参照も保存されます。[**]

メッシュ `fvMesh` への参照ですが、その場がセル中心、面、などのうちどこで定義されているかに応じたいくつかの詳細情報を加わります。

次元 ユーザガイドの 4.2.6 項で述べる `dimensionSet` です。

古い値 時間微分の離散化には、前の時間ステップにおける場のデータが必要になります。 `geometricField<Type>` は、前の、一つ古い時間ステップ、および必要ならばその前の、二つ古い時間ステップにおいて保存された場のデータへの参照を保存しています。

前回の反復時の値 反復解法の手順では不足緩和を利用できますが、これは前回の反復時のデータへのアクセスを必要とします。ここでも、必要であれば、`geometricField<Type>` は前回の反復時のデータへの参照を保存します。

2.3 節で述べたように、物理量はセル中心で定義することが主ですが、セル面上で保存することもよくあり、セル頂点で定義することもときどきあります。`geometricField<Type>` は、場の変数がどこで定義されているかによって、以下のように `typedef` 宣言で改名されています。

`volField<Type>` 場がセル中心で定義されているとき

`surfaceField<Type>` 場がセルの面で定義されているとき

`pointField<Type>` 場がセルの頂点で定義されているとき

これらの `geometricField<Type>` から `typedef` された場のクラスは図 2.4 に図示されています。`geometricField<Type>` は `Field<Type>` のテンソル代数を全て継承しており、全ての演算は `dimensionSet` の次元チェックに従います。また次節で述べる有限体積法の離散化手順にも依存することがあります。`geometricField<Type>` を作るときに使われるクラス構造は図 2.5* に図示されています。

2.4 方程式の離散化

方程式の離散化により、偏微分方程式は一般に以下のような行列で表される代数方程式に変換されます。

$$[A][x] = [b] \quad (2.12)$$

ここで $[A]$ は正方形行列、 $[x]$ は従属変数の列ベクトル、 $[b]$ はソースベクトルです。 $[x]$ と $[b]$ は、その形状、例えば `geometricField<Type>`、またはもっと厳密には、有限体積法による離散化を用いているならば `volField<Type>` の各位置で定義された値のリストという本来の正確な表現ではなく、むしろ行列用語でいう「ベクトル」です。

$[A]$ は代数式群の係数のリストであり、`geometricField<Type>` では記述できません。したがって、独自のクラス `fvMatrix` で与えられます。`fvMatrix<Type>` は `geometricField<Type>` の離散化によって生成され、したがって `<Type>` を継承します。これは、加算 +、減算 - そして乗算 * という標準的な行列の代数演算の多くをサポートします。

OpenFOAM のコードにおいて偏微分方程式の各項は、それぞれ静的な関数のクラス `finiteVolumeMethod` や `finiteVolumeCalculus` を用いて記述されます。これらのクラスは `typedef` によって、それぞれ `fvm` および `fvc` と略されます。`fvm` や `fvc` は、例えば ∇^2 、 $\nabla \cdot$ および $\partial/\partial t$ といった `geometricField<Type>` を離散化する微分演算子を表す静的な関数を備えています。これらの関数を、一つではなく二つのクラス `fvm` と `fvc` で定義しているのは、以下のように区別するた

*この図はクラス階層を厳密に表したものではなく、むしろいくつかの原始クラスを `geometricField<Type>` につながる一般的な構造を表したものです。

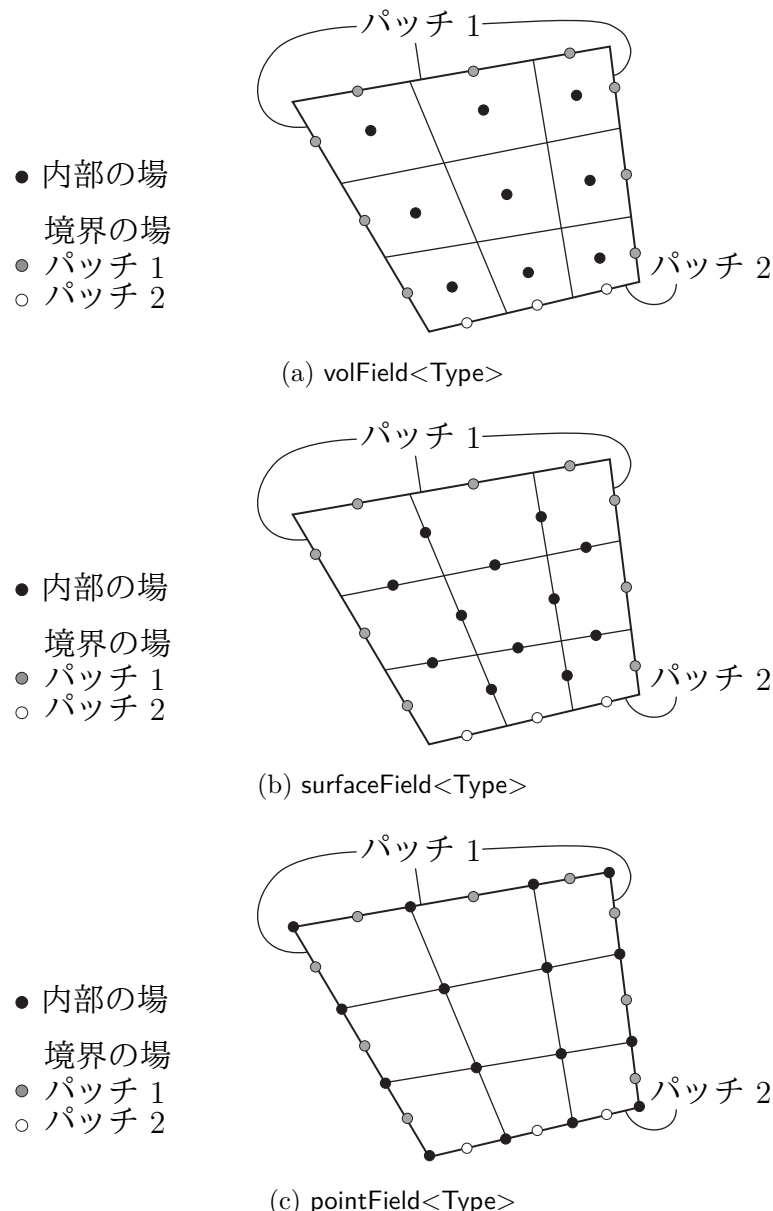


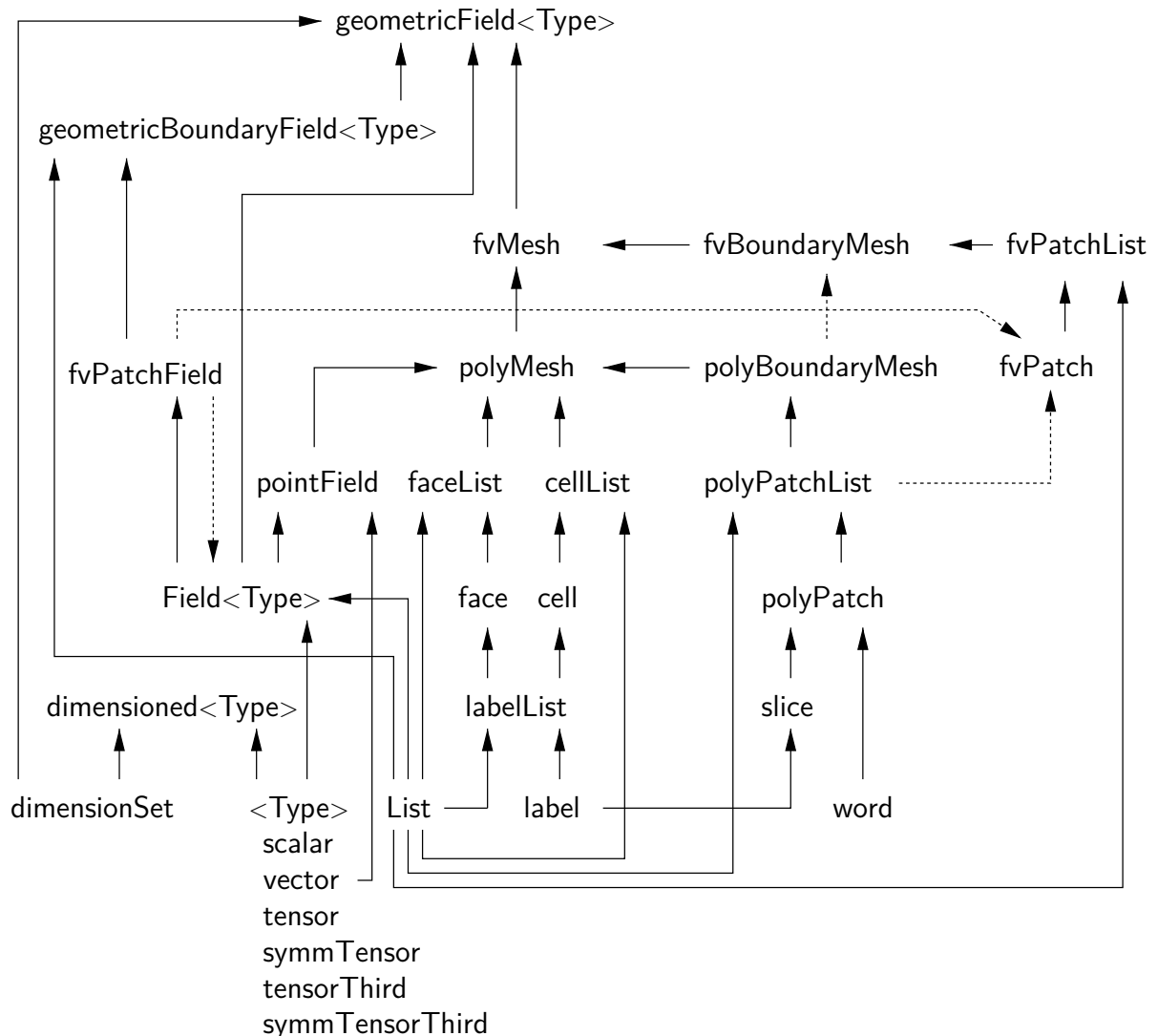
図 2.4 二つの境界パッチをもつメッシュ上で定義された $\text{geometricField}<\text{Type}>$ のタイプ（簡単のため 2 次元で表している）

めです。

- fvm の関数は陰的な微分を計算し, $\text{fvMatrix}<\text{Type}>$ を返す.
- fvc のいくつかの関数は陽的な微分を計算, その他は陽的な計算をし, $\text{geometricField}<\text{Type}>$ を返す.

図 2.6 には, 二つの境界パッチをもつメッシュ上で定義された $\text{geometricField}<\text{Type}>$ を示しており, 陽的な演算が単にある場を他の場に変換するだけであることを表しています. 簡単のために 2 次元で描いています.

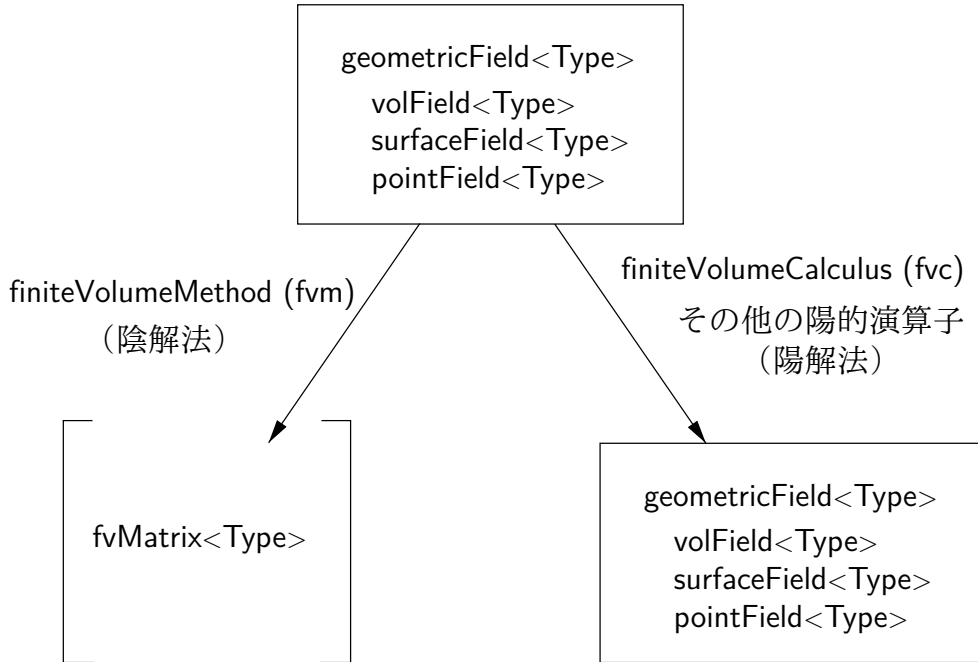
fvm および fvc で使える, 偏微分方程式の項を離散化する主な関数を表 2.2 にリストアップしています. 各項の有限体積法による離散化は, ガウスの定理により, その体積を囲んでいるセ

図 2.5 `geometricField<Type>`につながる基本的なクラス構造

ル表面の面積分に変換されます。

$$\int_V \nabla \star \phi \, dV = \int_S d\mathbf{S} \star \phi \quad (2.13)$$

ここで \mathbf{S} は表面積ベクトル, ϕ は任意のテンソル場, そして \star はテンソル任意の乗算, 例えば内積, 外積, クロス積, およびそれぞれの微分, 発散 $\nabla \cdot \phi$, 勾配 $\nabla \phi$ および $\nabla \times \phi$ を表しています。次に, 体積および面積分は各項について後述するような適切なスキームで線形化されます。OpenFOAMでは, いくつかの項は常に同じスキームで離散化されますが, その他の項の離散化についてはスキームの選択肢が提供されています。スキームの選択はコードの中で直接指定することもできますし, ジョブの実行時にインプットファイルから読み込んで `fvSchemes` クラスのオブジェクトとして保持する方法もあります。

図 2.6 $\text{geometricField} < \text{Type} >$ とその演算

2.4.1 ラプラシアン項

ラプラシアンの項は、以下のように検査体積で積分・線形化されます。

$$\int_V \nabla \cdot (\Gamma \nabla \phi) dV = \int_S d\mathbf{S} \cdot (\Gamma \nabla \phi) = \sum_f \Gamma_f \mathbf{S}_f \cdot (\nabla \phi)_f \quad (2.14)$$

みているセル P の中心と隣のセル N の中心の間の長さベクトル \mathbf{d} がそのフェイス面に垂直、すなわち \mathbf{S}_f に平行ならば、面の勾配の離散化は陰的になります。

$$\mathbf{S}_f \cdot (\nabla \phi)_f = |\mathbf{S}_f| \frac{\phi_N - \phi_P}{|\mathbf{d}|} \quad (2.15)$$

非直交メッシュの場合、セル中心勾配（これはセル中心値の中心差分から計算される）の内挿によって評価される陽的な項が加わります。

2.4.2 対流項

対流項は、以下のように検査体積で積分・線形化されます。

$$\int_V \nabla \cdot (\rho \mathbf{U} \phi) dV = \int_S d\mathbf{S} \cdot (\rho \mathbf{U} \phi) = \sum_f \mathbf{S}_f \cdot (\rho \mathbf{U})_f \phi_f = \sum_f F \phi_f \quad (2.16)$$

表面の場 ϕ_f はさまざまなスキームで評価されます。

中心差分 (CD) は、2次精度ですが不安定です。

$$\phi_f = f_x \phi_P + (1 - f_x) \phi_N \quad (2.17)$$

ここで $f_x \equiv \overline{fN}/\overline{PN}$, \overline{fN} は f とセル中心 N の距離, \overline{PN} はセル中心同士 P と N の距離です。

| 項の記述 | 陰的・陽的 | 記述 | fvm::または fvc::の関数 |
|-----------|-------|--|--|
| ラプラスアン | 陰的・陽的 | $\nabla^2 \phi$ $\nabla \cdot \Gamma \nabla \phi$ | laplacian(phi) laplacian(Gamma, phi) |
| 時間微分 | 陰的・陽的 | $\frac{\partial \phi}{\partial t}$ $\frac{\partial \rho \phi}{\partial t}$ | ddt(phi) ddt(rho, phi) |
| 時間の 2 階微分 | 陰的・陽的 | $\frac{\partial}{\partial t} \left(\rho \frac{\partial \phi}{\partial t} \right)$ | d2dt2(rho, phi) |
| 移流 | 陰的・陽的 | $\nabla \cdot (\psi)$ $\nabla \cdot (\psi \phi)$ | div(psi, scheme)* div(psi, phi, word)* div(psi, phi) |
| 発散 | 陽的 | $\nabla \cdot \chi$ | div(chi) |
| 勾配 | 陽的 | $\nabla \chi$ $\nabla \phi$ | grad(chi) gGrad(phi) lsGrad(phi) snGrad(phi) snGradCorrection(phi) |
| 勾配の勾配の二乗 | 陽的 | $ \nabla \nabla \phi ^2$ | sqrGradGrad(phi) |
| 回転 | 陽的 | $\nabla \times \phi$ | curl(phi) |
| 湧き出し | 陰的 | $\rho \phi$ | Sp(rho, phi) |
| 陰的・陽的 † | | | SuSp(rho, phi) |

† 湧き出し fvm::SuSp は rho の符号に依存して、陰的または陽的に離散化されます。

† 陽的な湧き出しあは単純に vol<Type>Field で指定されます。例：rho*phi

関数の引数は以下のようなクラスです。

phi: vol<Type>Field

Gamma: scalar, volScalarField, volTensorField, surfaceTensorField.

rho: scalar, volScalarField

psi: surfaceTensorField

chi: surface<Type>Field, vol<Type>Field

表 2.2 OpenFOAM における偏微分方程式の項の離散化

風上差分 (UD) は、流れの方向から ϕ_f を決定し、精度は犠牲になりますが安定です。

$$\phi_f = \begin{cases} \phi_P & F \geq 0 \text{ のとき} \\ \phi_N & F < 0 \text{ のとき} \end{cases} \quad (2.18)$$

ブレンド差分 (BD) スキームは、適切な精度で安定性を保つことを狙って UD と CD を組み合わせます。

$$\phi_f = (1 - \gamma)(\phi_f)_{UD} + \gamma(\phi_f)_{CD} \quad (2.19)$$

OpenFOAM には、ブレンド係数 γ を選ぶ Gamma 差分スキームのいくつかの実装がありますが、それはほかのよく知られたスキーム、van Leer, SUPERBEE, MINMOD などを表しています。

2.4.3 1 階の時間微分

1 階の時間微分 $\partial/\partial t$ は、以下のように検査体積で積分されます。

$$\frac{\partial}{\partial t} \int_V \rho \phi \, dV \quad (2.20)$$

この項は、以下のものを使って時間に関して単純な差分で離散化されます。

新しい値 いま解いている時間ステップの値 $\phi^n \equiv \phi(t + \Delta t)$

古い値 前の時間ステップで保存された値 $\phi^o \equiv \phi(t)$

二つ古い値 二つ前の時間ステップで保存された値 $\phi^{oo} \equiv \phi(t - \Delta t)$

ユーザガイドの4.4節に詳しく述べられているように、該当する入力ファイルの中で `timeScheme` キーワードを使って、二つのうち一つの離散化スキームを宣言することができます。

オイラーの陰解法 スキーム、`timeScheme EulerImplicit`、これは時間に関して1次精度です。

$$\frac{\partial}{\partial t} \int_V \rho \phi \, dV = \frac{(\rho_P \phi_P V)^n - (\rho_P \phi_P V)^o}{\Delta t} \quad (2.21)$$

後退差分 スキーム、`timeScheme BackwardDifferencing`、これは二つ前の値を保存することにより時間に関して2次精度であり、したがって `EulerImplicit` よりデータ保存のオーバーヘッドが大きくなります。

$$\frac{\partial}{\partial t} \int_V \rho \phi \, dV = \frac{3(\rho_P \phi_P V)^n - 4(\rho_P \phi_P V)^o + (\rho_P \phi_P V)^{oo}}{2\Delta t} \quad (2.22)$$

2.4.4 2階の時間微分

2階の時間微分は、以下のように検査体積で積分・線形化されます。

$$\frac{\partial}{\partial t} \int_V \rho \frac{\partial \phi}{\partial t} \, dV = \frac{(\rho_P \phi_P V)^n - 2(\rho_P \phi_P V)^o + (\rho_P \phi_P V)^{oo}}{\Delta t^2} \quad (2.23)$$

これは時間について1次精度です。

2.4.5 発散

この節で述べる発散項は、2.4.2項の対流項とは区別される完全に陽的な項です。つまり対流項は、速度とある従属変数の積の発散ではありません。この項は以下のように検査体積で積分・線形化されます。

$$\int_V \nabla \cdot \phi \, dV = \int_S d\mathbf{S} \cdot \phi = \sum_f S_f \cdot \phi_f \quad (2.24)$$

`fvc::div` 関数は `surface<Type>` または `vol<Type>Field` のどちらも引数にとることができます。前者では ϕ_f は直接与えられ、後者では 2.4.10 項で述べる中心差分で値が面上に内挿されます。

2.4.6 勾配

勾配の項は様々な方法で評価できる陽的な項です。そのスキームは、例えば `fvc::gGrad`、`fvc::lsGrad` などのような離散化スキームに対して適切な特定の勾配関数を選ぶか、または入力ファイルの中の適切な `timeScheme` キーワードに連動した `fvc::grad` 関数を使うか、いずれの方法でも評価できます。

ガウス積分 は、`fvc::grad` 関数を `timeScheme Gauss` と合わせて使うことで動作します。この離散化は体積分に対してガウスの定理を適用する標準的な手法を使います。

$$\int_V \nabla \phi \, dV = \int_S d\mathbf{S} \phi = \sum_f S_f \phi_f \quad (2.25)$$

最小二乗法 は、以下の考えに基づいています。

1. 点 P における値を、点 P における勾配を使って隣の点 N に外挿する。
2. 点 N に外挿された値を、点 N における実際の値と比較、この差が誤差となる。
3. 点 P の付近の全ての点における誤差を、それぞれの勾配で重み付けして二乗した総和を最小化すれば、勾配の良い近似値が得られる。

最小二乗法は `fvc::grad` 関数を `timeScheme leastSquares` と組み合わせるか、直接 `fvc::lsGrad` を使うことで動作します。この離散化は、まず全ての点 P において、その近隣の点 N での総和を求めて、テンソル \mathbf{G} を計算します。

$$\mathbf{G} = \sum_N w_N^2 \mathbf{d}\mathbf{d} \quad (2.26)$$

ここで \mathbf{d} は P から N へのベクトルであり、重み関数は $w_N = 1/|\mathbf{d}|$ です。勾配は以下のように評価されます。

$$(\nabla\phi)_P = \sum_N w_N^2 \mathbf{G}^{-1} \cdot \mathbf{d} (\phi_N - \phi_P) \quad (2.27)$$

面に垂直な勾配 面に垂直な勾配 $\mathbf{n}_f \cdot (\nabla\phi)_f$ はセルの面において以下のスキームを使って評価できます。

$$(\nabla\phi)_f = \frac{\phi_N - \phi_P}{|\mathbf{d}|} \quad (2.28)$$

この勾配は `fvc::snGrad` 関数で呼び出され、`surfaceField<Type>` を返します。このスキームは 2.4.1 項で述べたラプラシアンの離散化スキームと似た方法で直接評価され、また同じように非直交メッシュの場合には、この面の勾配の精度を高めるために補正が加えられます。この補正是 `fvc::snGradCorrection` 関数を使って呼び出されます。[Check**]

2.4.7 勾配の勾配の平方

勾配の勾配の平方の項は、場の勾配をとり、得られた勾配場の勾配をとり、そしてその結果の絶対値二乗を計算することで評価されます。 ϕ の勾配の勾配の平方を数式で書くと $|\nabla(\nabla\phi)|^2$ となります。

2.4.8 回転

回転は、2.4.6 項で述べた勾配の項から評価されます。まず勾配が離散化され、それから式 (2.7) の関係（以下に再掲）を使って回転が評価されます。

$$\nabla \times \phi = 2 * (\text{skew } \nabla\phi)$$

2.4.9 湧き出し項

湧き出し項は三つの方法で指定できます。

陽解法 すべての陽的な項は `volField<Type>` です。したがって、陽的な湧き出し項は単純に値の場として等式の中に組み込まれます。例えば、`phi` と `f` を `volScalarField` として定義し、そして以下のようにします。

```
solve(fvm::laplacian(phi) == f)
```

陰解法 陰的な湧き出し項は、以下のように検査体積で積分・線形化されます。

$$\int_V \rho\phi \, dV = \rho_P V_P \phi_P \quad (2.29)$$

陰・陽解法 陰的な湧き出し項は、行列の対角成分の係数を変えます。その係数と行列の項の符号に依存して、これは行列の対角成分の支配力を増大または減少させます。対角成分の支配力を減少させることは、行列の方程式の反復解法の際の不安定さを引き起こします。したがって、OpenFOAM は混成の湧き出し項の離散化方法を提供しており、これは係数が正のとき陰的に、負のときには陽的になります。数式上は、点 P に対する行列の係数は $V_P \max(\rho_P, 0)$ 、そして湧き出し項は $V_P \phi_P \min(\rho_P, 0)$ となります。

2.4.10 その他の陽的な離散化スキーム

他にも `volField<Type>` を `surface<Type>Field` に、および逆に変換する離散化手法がいくつかあります。

面積分 `fvc::surfaceIntegrate` は、それぞれのセルを区切る面での値 `surface<Type>Field` の総和をとり、セルの体積で割るという操作をします。すなわち $(\sum_f \phi_f)/V_P$ となります。これは `volField<Type>` を返します。

面総和 `fvc::surfaceSum` は、それぞれのセルを区切る面での値 `surface<Type>Field` の総和をとる操作です。すなわち $\sum_f \phi_f$ となり、`volField<Type>` を返します。

平均値 `fvc::average` は、面の値 `surface<Type>Field` の面積重み付け平均をとります。すなわち $(\sum_f S_f \phi_f)/\sum_f S_f$ となり、`volField<Type>` を返します。

面内挿 `geometric<Type>Field` の関数 `faceInterpolate()` は、セル中心の値 `volField<Type>` を、中心差分を使ってセルの面上へ内挿し、`surface<Type>Field` を返します。

2.5 時間の離散化

時間微分の離散化については 2.4.3 項および 2.4.4 項で述べましたが、非定常問題における空間微分の扱い方について考える必要があります。もし \mathcal{A} を任意の空間微分演算子、例えばラプラスアン、として、あらゆる空間微分を $\mathcal{A}\phi$ で表すとすれば、非定常の偏微分方程式を積分型で以下のように表記できます。

$$\int_t^{t+\Delta t} \left[\frac{\partial}{\partial t} \int_V \rho\phi \, dV + \int_V \mathcal{A}\phi \, dV \right] dt = 0 \quad (2.30)$$

式 (2.21) のオイラー陰解法を使うと、第 1 項は次のように書けます。

$$\int_t^{t+\Delta t} \left[\frac{\partial}{\partial t} \int_V \rho\phi \, dV \right] dt = \int_t^{t+\Delta t} \frac{(\rho_P \phi_P V)^n - (\rho_P \phi_P V)^o}{\Delta t} dt \quad (2.31)$$

$$= \frac{(\rho_P \phi_P V)^n - (\rho_P \phi_P V)^o}{\Delta t} \Delta t \quad (2.32)$$

第2項は次のように書けます。

$$\int_t^{t+\Delta t} \left[\int_V \mathcal{A} \phi \, dV \right] dt = \int_t^{t+\Delta t} \mathcal{A}^* \phi \, dt \quad (2.33)$$

ここで \mathcal{A}^* は空間で離散化した \mathcal{A} を表します。時間積分は三つの方法で離散化できます。

オイラー陰解法 空間については陰解法で離散化し、したがって現在の値 ϕ^n をとります。

$$\int_t^{t+\Delta t} \mathcal{A}^* \phi \, dt = \mathcal{A}^* \phi^n \Delta t \quad (2.34)$$

これは時間について1次精度であり、有界性と無条件安定性を保証します。

陽解法 空間については陽解法で離散化し、したがって前の時刻の値 ϕ^o をとります。

$$\int_t^{t+\Delta t} \mathcal{A}^* \phi \, dt = \mathcal{A}^* \phi^o \Delta t \quad (2.35)$$

これは時間について1次精度であり、もしクーラン数 Co が1より大きければ不安定です。クーラン数は以下のように定義されます。

$$Co = \frac{\mathbf{U}_f \cdot \mathbf{d}}{|\mathbf{d}|^2 \Delta t} \quad (2.36)$$

ここで \mathbf{U}_f は代表速度、例えば波面の速度、流れの速度などです。

クランク・ニコルソン法 空間の項の離散化に台形公式を使い、したがって現在の値 ϕ^n と前の時刻の値 ϕ^o の平均値をとります。

$$\int_t^{t+\Delta t} \mathcal{A}^* \phi \, dt = \mathcal{A}^* \left(\frac{\phi^n + \phi^o}{2} \right) \Delta t \quad (2.37)$$

これは時間について2次精度であり、無条件で安定ですが、有界性は保証されません。

2.5.1 OpenFOAMにおける時間微分の取扱い

現在のところ、時間の離散化の取り扱いは、解くべき偏微分方程式における空間微分の実装によって制御されます。例えば、非定常の拡散方程式を解きたいとします。

$$\frac{\partial \phi}{\partial t} = \kappa \nabla^2 \phi \quad (2.38)$$

これに対するオイラーの陰解法は以下のようになります。

```
solve(fvm::ddt(phi) == kappa*fvm::laplacian(phi))
```

ここで Laplacian の項を陰解法で離散化するために fvm クラスを使います。陽解法で実装するには以下のようにします。

```
solve(fvm::ddt(phi) == kappa*fvc::laplacian(phi))
```

今度は Laplacian の項を陽解法で離散化するために fvc クラスを使います。クランク・ニコルソン・スキームは、陰解法と陽解法の平均をとることで実装できます。

```

solve
(
    fvm::ddt(phi)
    ==
    kappa*0.5*(fvm::laplacian(phi) + fvc::laplacian(phi))
)

```

2.6 境界条件

解きたい問題を完成させるためには境界条件が必要です。したがって全ての境界面において境界条件を指定しなければなりません。境界条件は二つのタイプに分けられます。

ディリクレ条件 は、その従属変数の境界における値を定めます。したがって、このガイドでは「固定値」とよびます。

ノイマン条件 は、その従属変数の境界に垂直な勾配を定めます。したがって、このガイドでは「固定勾配」とよびます。

面にわたる総和 \sum_f を含む項の離散化を行うときには、それらの面のうちの一つが境界面であつたらどうなるかを考慮する必要があります。

固定値 境界における値 ϕ_b を指定

- 離散化に、境界面における値 ϕ_f を使う場合は、単純に ϕ_b で置き換えることができます。例えば式 (2.16) の移流項の場合です。
- 面における勾配 $(\nabla\phi)_f$ が必要な項、例えばラプラスアンなど、の場合には、その勾配は境界面における値とセル中心の値を使って計算されます。

$$\mathbf{S}_f \cdot (\nabla\phi)_f = |\mathbf{S}_f| \frac{\phi_b - \phi_P}{|\mathbf{d}|} \quad (2.39)$$

固定勾配 固定勾配境界条件 g_b は、勾配と、境界の単位法線ベクトルとの内積になります。

$$g_b = \left(\frac{\mathbf{S}}{|\mathbf{S}|} \cdot \nabla\phi \right)_f \quad (2.40)$$

- 離散化に、境界面における値 ϕ_f を使う場合は、セル中心の値を境界上に内挿する必要があります。

$$\begin{aligned} \phi_f &= \phi_P + \mathbf{d} \cdot (\nabla\phi)_f \\ &= \phi_P + |\mathbf{d}| g_b \end{aligned} \quad (2.41)$$

- 離散化に面の勾配が評価される場合は、直接 g_b で置き換えることができます。

$$\mathbf{S}_f \cdot (\nabla\phi)_f = |\mathbf{S}_f| g_b \quad (2.42)$$

2.6.1 物理的な境界条件

境界条件の指定は通常、本当の振る舞いに対するエンジニアの解釈です。現実の境界条件は一般に、前節で述べたような数値的記述ではなく、物理的な特性によって定義されます。非圧縮性流体の流れでは、以下のような物理的な境界があります。

入口 入口における速度場が与えられ、それと整合させるために、圧力の境界条件は勾配ゼロになります。

出口 出口における圧力場が与えられ、速度には勾配ゼロ境界条件が指定されます。

滑りなし不浸透性壁面 流体の速度は壁面自身の速度と等しくなり、したがって、固定値条件が指定されます。壁を通り抜ける流束がゼロであることから、圧力は勾配ゼロが指定されます。

解の領域と境界条件がある面について対称となるような問題では、その対称面の片側の半分の領域だけしかモデル化する必要はありません。その面の境界条件は以下に従って指定しなければなりません。

対称面 対称面条件は、その面に垂直な勾配成分をゼロと指定します。[Check**]

第3章

OpenFOAMの使用例

この章では、OpenFOAM ディストリビューションと一緒に提供されている様々なテストケースについて説明します。その意図は、ユーザガイドの第2章のチュートリアルにあるものも含めて、あらゆる標準的なソルバに対する例題を提供することです。これらの例題は、OpenFOAM のいくつかのツールや特徴、例えば内部の前・後処理、数値スキーム、アルゴリズム、を紹介するように作られています。また、主目的ではありませんが、これらはソルバの検証の意味ももっています。

それぞれの例題では、問題、形状、初期条件・境界条件の説明、解くべき方程式、使われているモデル、そして必要な物性値の簡潔な説明をします。例えば対称面を使ったりする場合は、解析領域は本来の形状の一部となるように選びます。メッシュ生成の方法も説明しますが、たいてい `blockMesh` を使います。もちろん全ての例題にはメッシュを記述するファイルを含んだ `polyMesh` ディレクトリも一緒にありますので、ユーザは簡単にメッシュを見ることができます。

例題は、インストールした OpenFOAM の `tutorials` サブディレクトリの中にあるチュートリアルと対応しています。それらはソルバごとのサブディレクトリにまとめられています。例えば `icoFoam` の全てのケースは `icoFoam` サブディレクトリの中になります。例題を実行する前に、ユーザは自分のユーザ・アカウントの下にコピーしたほうがいいでしょう。OpenFOAM の全てのケースを一つのディレクトリの下に保存しておくこと、チュートリアルは `$FOAM_RUN` ディレクトリの中にコピーすることをお薦めします。もしユーザのアカウントの下にまだこのディレクトリが作られていないければ、以下のように作ることができます。

```
mkdir -p $FOAM_RUN
```

以下のようにすれば、このディレクトリにチュートリアルをコピーできます。

```
cp -r $FOAM_TUTORIALS/* $FOAM_RUN
```

3.1 円柱まわりの流れ

この例題では、`potentialFoam` を使って円柱まわりのポテンシャル流れを調べます。この例題には OpenFOAM の以下の特徴を紹介します。

- 非直交メッシュ
- OpenFOAM の問題に対する解析解の生成

3.1.1 問題設定

この問題は以下のように定義されます。

解析領域 図3.1に示すように、領域は2次元で、正方形領域と、その正方形の中心に配置された円柱からなります。

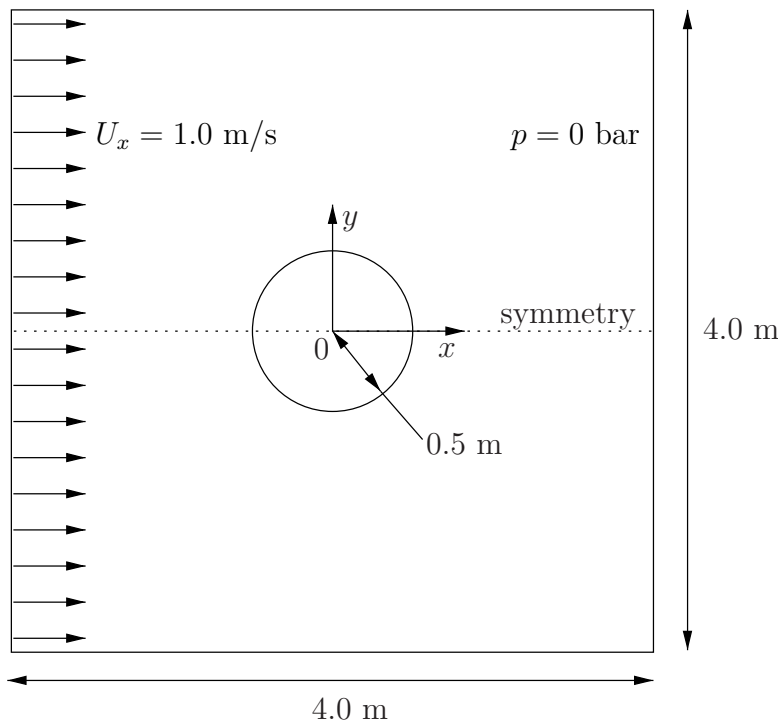


図3.1 円柱まわり流れの配置

支配方程式

- 非圧縮性流体の質量保存則

$$\nabla \cdot \mathbf{U} = 0 \quad (3.1)$$

- 定常状態とみなした、非圧縮性、回転なしの流体の圧力方程式

$$\nabla^2 p = 0 \quad (3.2)$$

境界条件

- 入口（左）は速度固定 $\mathbf{U} = (1, 0, 0) \text{ m/s}$
- 出口（右）は圧力固定 $p = 0 \text{ Pa}$
- 滑りなし壁面（下）
- 対称面（上）

初期条件 $U = 0 \text{ m/s}$, $p = 0 \text{ Pa}$ ——これらはOpenFOAM入力ファイルで必要とされますが、この問題は定常状態なので解には必要ではありません。

ソルバ名 `potentialFoam`: ポテンシャル流れのコード、すなわち、流れが非圧縮性、定常、回転なし、非粘性とみなし、重力は無視します。

ケース名 `$FOAM_TUTORIALS/potentialFoam`*ディレクトリの中にある `cylinder` ケース。

*訳注：これは古いバージョンでの配置。現行バージョンでは `$FOAM_TUTORIALS/basic/potentialFoam` にあ

3.1.2 potentialFoamについて

ポテンシャル流れを仮定すると、比較的シンプルな形状の問題では解析解が存在するため、`potentialFoam`はOpenFOAMを検証するのに便利なソルバです。この円柱まわり流れの例題には、数値解と比較できる解析解が存在します。`potentialFoam`は、問題に対して（適度に）保存されている初期 U 場を生成するユーティリティとしても利用することができます。ケースによっては、初期場が不安定であることによる不安定さを避けるのに役立ちます。端的にいえば、`potentialFoam`はユーザが与えた非保存の初期場から、保存された場を作りだします。

3.1.3 メッシュ生成

`blockMesh`を使ったメッシュ生成はユーザガイドで解説されています。このケースでは、メッシュは図3.2に示すように10ブロックからなっています。OpenFOAMでは全てのメッシュが3次元で扱われることを思い出してください。2次元の問題を解きたければ、解かない3番目の方向に1セルのみをもつような3次元メッシュを定義しなければなりません。図3.2では、 $z = -0.5$ に沿った背面のみを示しており、この中にある頂点番号は0~18です。それ以外の19個の頂点は、 $z = +0.5$ の正面にあり、以下のメッシュ定義ファイルに示すように、背面と同じ順番で番号付けられています。

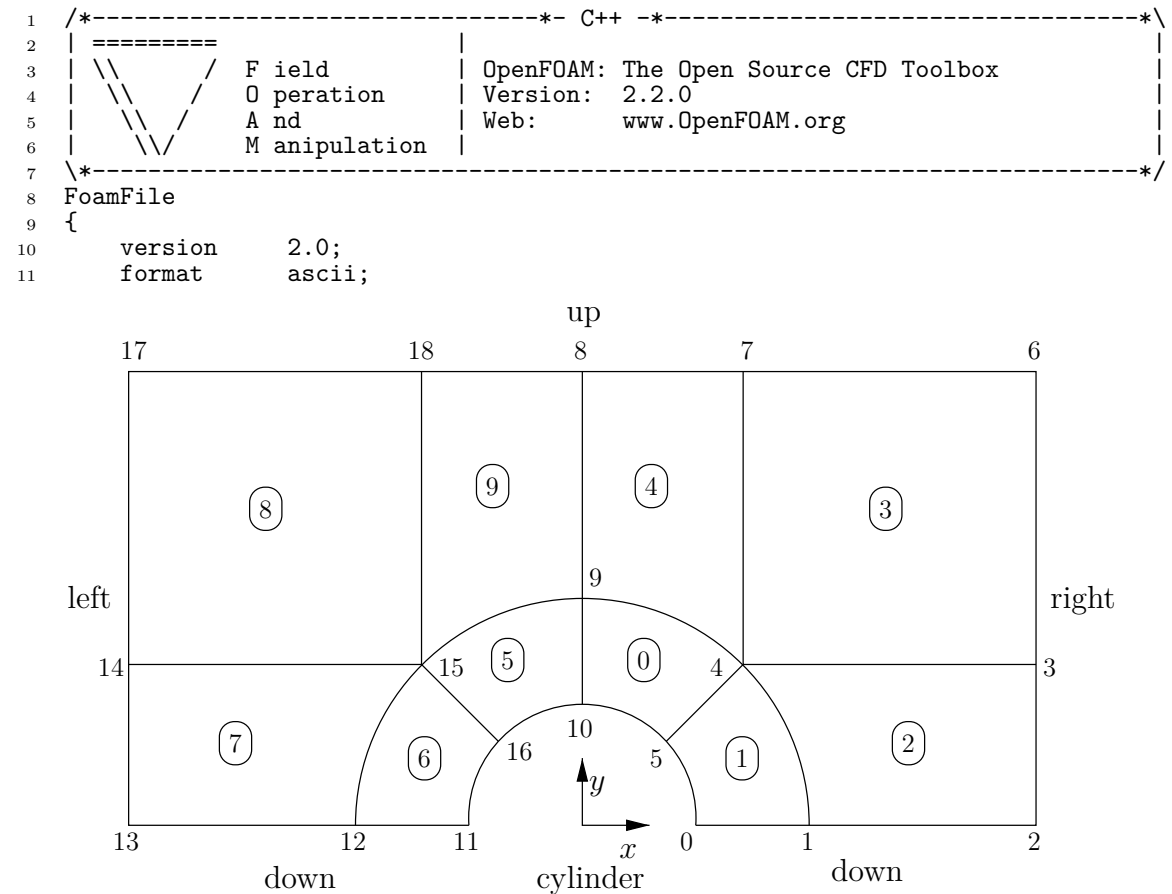


図3.2 円柱形状のメッシュ

る。


```

83     arc 19 24 (0.469846 0.17101 0.5)
84     arc 24 29 (0.17101 0.469846 0.5)
85     arc 20 23 (0.939693 0.34202 0.5)
86     arc 23 28 (0.34202 0.939693 0.5)
87     arc 11 16 (-0.469846 0.17101 -0.5)
88     arc 16 10 (-0.17101 0.469846 -0.5)
89     arc 12 15 (-0.939693 0.34202 -0.5)
90     arc 15 9 (-0.34202 0.939693 -0.5)
91     arc 30 35 (-0.469846 0.17101 0.5)
92     arc 35 29 (-0.17101 0.469846 0.5)
93     arc 31 34 (-0.939693 0.34202 0.5)
94     arc 34 28 (-0.34202 0.939693 0.5)
95   );
96
97 boundary
98 (
99   down
100  {
101    type symmetryPlane;
102    faces
103    (
104      (0 1 20 19)
105      (1 2 21 20)
106      (12 11 30 31)
107      (13 12 31 32)
108    );
109  }
110  right
111  {
112    type patch;
113    faces
114    (
115      (2 3 22 21)
116      (3 6 25 22)
117    );
118  }
119  up
120  {
121    type symmetryPlane;
122    faces
123    (
124      (7 8 27 26)
125      (6 7 26 25)
126      (8 18 37 27)
127      (18 17 36 37)
128    );
129  }
130  left
131  {
132    type patch;
133    faces
134    (
135      (14 13 32 33)
136      (17 14 33 36)
137    );
138  }
139  cylinder
140  {
141    type symmetryPlane;
142    faces
143    (
144      (10 5 24 29)
145      (5 0 19 24)
146      (16 10 29 35)
147      (11 16 35 30)
148    );
149  };
150 );
151
152 mergePatchPairs
153 (

```

```

154 );
155 // ****
156 // ****

```

3.1.4 境界条件と初期条件

FoamXを使うか、ケース・ファイルを手で編集して、図3.1に示す問題に合致するように境界条件を設定します。つまり、左側の境界は Inlet、右側の境界は Outlet、そして下側と円柱の境界は symmetryPlane となります。上側の境界条件は、 y 方向に無限の領域を仮定して得られた解析解に対して、最もよく比較できるように選択します。結果として、この境界に一致する面上においては、法線方向の \mathbf{U} の勾配は小さくなります。したがって、法線成分がゼロとなるような条件を採用します。つまり、symmetryPlane を設定し、これによって解析解と適切な比較ができるようにします。

3.1.5 ケースの実行

この問題では、流れは非圧縮性で非粘性を仮定しているので、流体の物性値は何も指定する必要がありません。systemサブディレクトリの中の、controlDictに実行のための制御パラメータを指定します。定常流れを仮定しているため、1ステップだけ実行すればよいことに注意してください。

```

1  /*----- C++ -----*/
2  | =====
3  | \ \ / F i e l d          | OpenFOAM: The Open Source CFD Toolbox
4  | \ \ / O p e r a t i o n   | Version: 2.2.0
5  | \ \ / A n d             | Web:      www.OpenFOAM.org
6  | \ \ / M a n i p u l a t i o n
7  \*-----*/
8 FoamFile
9 {
10    version    2.0;
11    format     ascii;
12    class      dictionary;
13    location   "system";
14    object     controlDict;
15 }
16 // * * * * *
17
18 application potentialFoam;
19
20 startFrom startTime;
21
22 startTime 0;
23
24 stopAt endTime;
25
26 endTime 1;
27
28 deltaT 1;
29
30 writeControl timeStep;
31
32 writeInterval 1;
33
34 purgeWrite 0;
35
36 writeFormat ascii;
37

```

```

38 writePrecision 6;
39
40 writeCompression off;
41
42 timeFormat general;
43
44 timePrecision 6;
45
46 runTimeModifiable true;
47
48 functions
49 {
50     difference
51     {
52         // Load the library containing the 'coded' functionObject
53         functionObjectLibs ("libutilityFunctionObjects.so");
54         type coded;
55         // Name of on-the-fly generated functionObject
56         redirectType error;
57         code
58         #{
59             // Lookup U
60             Info<< "Looking up field U\n" << endl;
61             const volVectorField& U = mesh().lookupObject<volVectorField>("U");
62
63             Info<< "Reading inlet velocity uInfX\n" << endl;
64
65             scalar ULeft = 0.0;
66             label leftI = mesh().boundaryMesh().findPatchID("left");
67             const fvPatchVectorField& fvp = U.boundaryField()[leftI];
68             if (fvp.size())
69             {
70                 ULeft = fvp[0].x();
71             }
72             reduce(ULeft, maxOp<scalar>());
73
74             dimensionedScalar uInfX
75             (
76                 "uInfX",
77                 dimensionSet(0, 1, -1, 0, 0),
78                 ULeft
79             );
80
81             Info << "U at inlet = " << uInfX.value() << " m/s" << endl;
82
83
84             scalar magCylinder = 0.0;
85             label cylI = mesh().boundaryMesh().findPatchID("cylinder");
86             const fvPatchVectorField& cylFvp = mesh().C().boundaryField()[cylI];
87             if (cylFvp.size())
88             {
89                 magCylinder = mag(cylFvp[0]);
90             }
91             reduce(magCylinder, maxOp<scalar>());
92
93             dimensionedScalar radius
94             (
95                 "radius",
96                 dimensionSet(0, 1, 0, 0, 0),
97                 magCylinder
98             );
99
100            Info << "Cylinder radius = " << radius.value() << " m" << endl;
101
102            volVectorField UA
103            (
104                IOobject
105                (
106                    "UA",
107                    mesh().time().timeName(),
108                    U.mesh(),

```

```

109           IOobject::NO_READ,
110           IOobject::AUTO_WRITE
111       ),
112       U
113   );
114
115   Info<< "\nEvaluating analytical solution" << endl;
116
117   const volVectorField& centres = UA.mesh().C();
118   volScalarField magCentres(mag(centres));
119   volScalarField thetaacos((centres & vector(1,0,0))/magCentres));
120
121   volVectorField cs2theta
122   (
123       cos(2*theta)*vector(1,0,0)
124       + sin(2*theta)*vector(0,1,0)
125   );
126
127   UA = uInfX*(dimensionedVector(vector(1,0,0))
128             - pow((radius/magCentres),2)*cs2theta);
129
130 // Force writing of UA (since time has not changed)
131 UA.write();
132
133 volScalarField error("error", mag(U-UA)/mag(UA));
134
135 Info<<"Writing relative error in U to " << error.objectPath()
136      << endl;
137
138 error.write();
139 #};
140 }
141 }
142
143
144 // ****

```

`potentialFoam` は、圧力の方程式について反復計算を行い、反復が成功すればラプラスアン項の非直交補正に合致する陽的な項が更新されます。圧力の方程式についての反復計算の回数は、`controlDict` の中の `nNonOrthogonalCorrectors` キーワードで制御します。一つの例として、`nNonOrthogonalCorrectors` を 0 に設定すれば、反復は行われません。つまり、圧力の方程式が 1 回だけ解かれ、非直交補正是行われません。その解を図 3.3 (a) に示します（定常状態の解析が完了した $t = 1$ において）。図 3.3 (c) に示す解析解のように、領域を横切るなめらかな流線となる解を期待しているのですが、例えば、ブロック 0, 1, そして 3 の交点のように、メッシュの非直交性が強い領域において、明らかな誤差があります。`nNonOrthogonalCorrectors` を 3 に設定し、非直交補正を加えて再度ケースを実行してみましょう。図 3.3 (b) のように、解はなめらかな流線となり、非直交性に起因する顕著な誤差はありません。

3.2 バック・ステップ上の定常乱流

この例題では、後方に面する段差上を流れる定常乱流について調べます。この問題設定は、Pitz と Daily が実験的に調べたものに由来しており、数値解との比較することができます。この例題では、新たに OpenFOAM の以下の特徴を紹介します。

- 完全なメッシュの勾配付け機能を利用した、`blockMesh` によるメッシュ生成
- 定常乱流

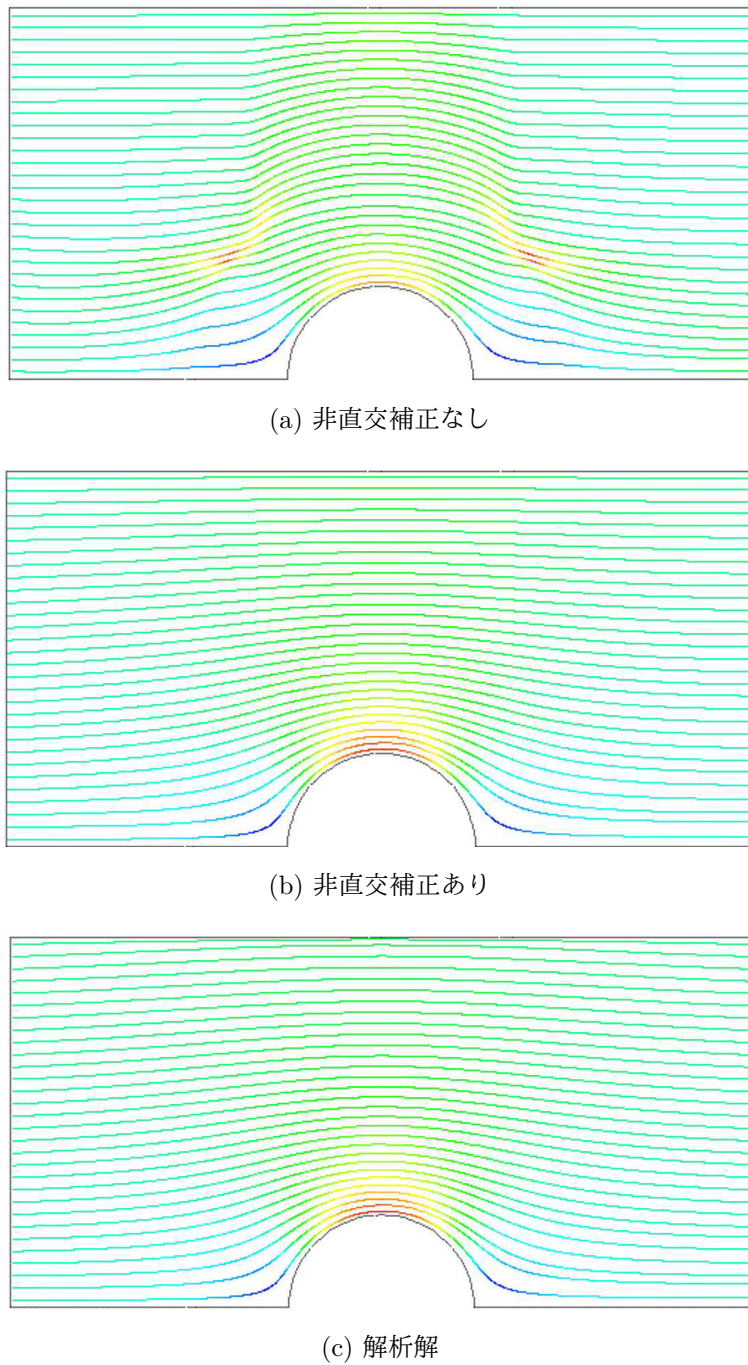


図 3.3 ポテンシャル流れの流線

3.2.1 問題設定

問題は以下のように定義します。

解析領域 領域は2次元で、図3.4に示すように、短い入口、バック・ステップ、そして出口の先細ノズルからなります。

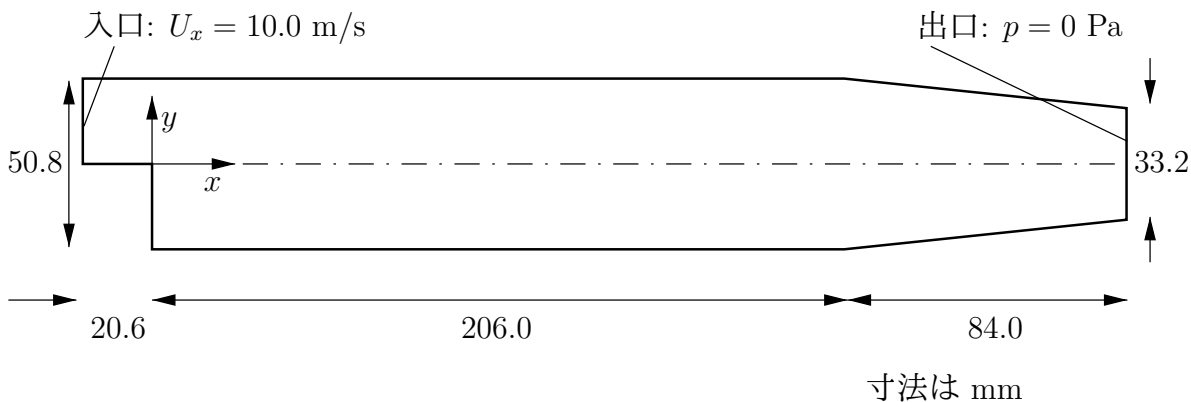


図3.4 バック・ステップの計算領域形状

支配方程式

- 非圧縮性流体の質量保存則

$$\nabla \cdot \mathbf{U} = 0 \quad (3.3)$$

- 定常流れの運動量方程式

$$\nabla \cdot (\mathbf{U} \mathbf{U}) + \nabla \cdot \mathbf{R} = -\nabla p \quad (3.4)$$

ここで p は運動学的圧力であり、（やや単純化しすぎですが） $\mathbf{R} = \nu_{\text{eff}} \nabla \mathbf{U}$ は粘性応力の項で、実効動粘性係数 ν_{eff} は選択された輸送・乱流モデルで計算されます。

初期条件 $U = 0 \text{ m/s}$, $p = 0 \text{ Pa}$ ——これらはOpenFOAM入力ファイルで必要とされますが、この問題は定常状態なので解には必要ではありません。

境界条件

- 入口（左）は速度固定 $\mathbf{U} = (10, 0, 0) \text{ m/s}$
- 出口（右）は圧力固定 $p = 0 \text{ Pa}$
- それ以外の境界は、滑りなし壁面

輸送特性

- 空気の動粘性係数 $\nu = \mu/\rho = 18.1 \times 10^{-6}/1.293 = 14.0 \mu\text{m}^2/\text{s}$

乱流モデル

- 標準 $k-\epsilon$
- 係数： $C_\mu = 0.09$; $C_1 = 1.44$; $C_2 = 1.92$; $\alpha_k = 1$; $\alpha_\epsilon = 0.76923$.

ソルバ名 simpleFoam: 定常非圧縮性流れ用。

ケース名 \$FOAM_TUTORIALS/simpleFoam*ディレクトリの中にある pitzDaily ケース。

* 註注：これは古いバージョンでの配置。現行バージョンでは\$FOAM_TUTORIALS/incompressible/simpleFoam にある。

この問題は `simpleFoam` を使って解きます。SIMPLE アルゴリズムを用いた定常流れのためのソルバなのでこのように名付けられています。このソルバは、標準の OpenFOAM リリースの `incompressibleTurbulenceModels` ライブラリの中の乱流モデル、および `incompressibleTransportModels` ライブラリの中の非ニュートン流体モデルの全てを適用することができます。

3.2.2 メッシュ生成

この問題の流れはちょうどよく複雑で、適切な解を得るにはメッシュの勾配付けが必要となります。一般に、最もせん断力のかかる領域が特に決め手であり、せん断力の小さい領域より細かいメッシュを必要とします。どこで大きなせん断力が生じるかは、計算が進んだらどのような解になるは必ずあるかを考察することで予想できます。入口では x 方向の強い一様流ですが、段差を過ぎると、下側の流体に対してせん断力を生じ、領域の下半分に渦を生じます。したがって、せん断力の大きな領域は領域の中心線付近と壁付近となるでしょう。

領域は、図 3.5 に示すように 12 個のブロックに分割されます。

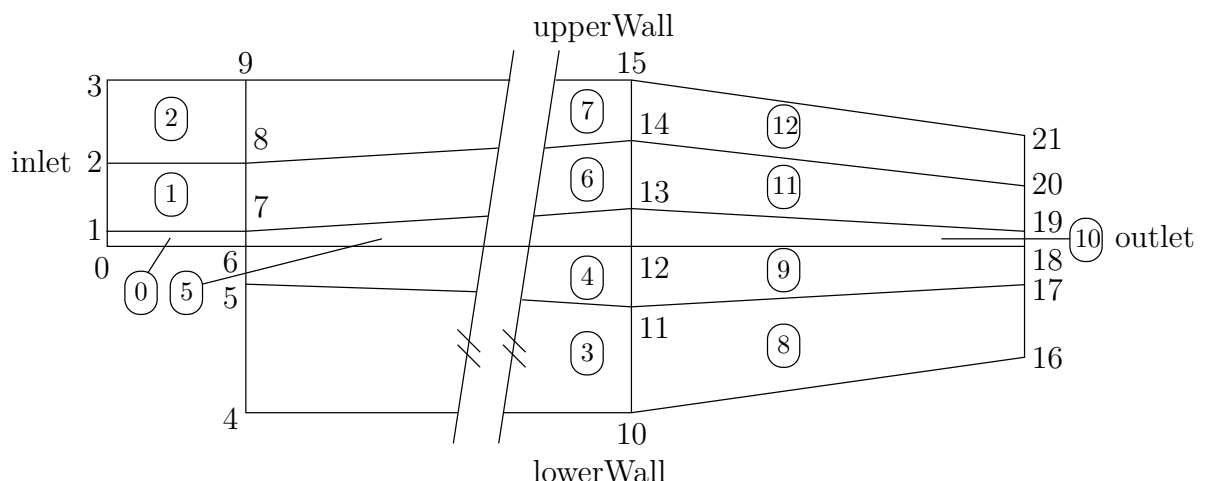


図 3.5 バック・ステップ問題のブロック分け

OpenFOAM ではメッシュは常に 3 次元なので、図 3.5 では $z = -0.5$ に沿った背面を示しています。全ての頂点とブロックは、以下のメッシュ記述ファイルで与えられます。

```

1  /*----- C++ -----*/
2  =====
3  \   / F i e l d
4  \ / O p e r a t i o n
5  \ / A n d
6  \ / M a n i p u l a t i o n
7  *-----*/
8  FoamFile
9  {
10    version      2.0;
11    format       ascii;
12    class        dictionary;
13    object       blockMeshDict;
14  }
15 // * * * * *
16
17 convertToMeters 0.001;
18
19 vertices
20 (

```

```

21      (-20.6 0 -0.5)
22      (-20.6 3 -0.5)
23      (-20.6 12.7 -0.5)
24      (-20.6 25.4 -0.5)
25      (0 -25.4 -0.5)
26      (0 -5 -0.5)
27      (0 0 -0.5)
28      (0 3 -0.5)
29      (0 12.7 -0.5)
30      (0 25.4 -0.5)
31      (206 -25.4 -0.5)
32      (206 -8.5 -0.5)
33      (206 0 -0.5)
34      (206 6.5 -0.5)
35      (206 17 -0.5)
36      (206 25.4 -0.5)
37      (290 -16.6 -0.5)
38      (290 -6.3 -0.5)
39      (290 0 -0.5)
40      (290 4.5 -0.5)
41      (290 11 -0.5)
42      (290 16.6 -0.5)
43      (-20.6 0 0.5)
44      (-20.6 3 0.5)
45      (-20.6 12.7 0.5)
46      (-20.6 25.4 0.5)
47      (0 -25.4 0.5)
48      (0 -5 0.5)
49      (0 0 0.5)
50      (0 3 0.5)
51      (0 12.7 0.5)
52      (0 25.4 0.5)
53      (206 -25.4 0.5)
54      (206 -8.5 0.5)
55      (206 0 0.5)
56      (206 6.5 0.5)
57      (206 17 0.5)
58      (206 25.4 0.5)
59      (290 -16.6 0.5)
60      (290 -6.3 0.5)
61      (290 0 0.5)
62      (290 4.5 0.5)
63      (290 11 0.5)
64      (290 16.6 0.5)
65  );
66
67 blocks
68 (
69     hex (0 6 7 1 22 28 29 23) (18 7 1) simpleGrading (0.5 1.8 1)
70     hex (1 7 8 2 23 29 30 24) (18 10 1) simpleGrading (0.5 4 1)
71     hex (2 8 9 3 24 30 31 25) (18 13 1) simpleGrading (0.5 0.25 1)
72     hex (4 10 11 5 26 32 33 27) (180 18 1) simpleGrading (4 1 1)
73     hex (5 11 12 6 27 33 34 28) (180 9 1) edgeGrading (4 4 4 4 0.5 1 1 0.5 1 1 1 1)
74     hex (6 12 13 7 28 34 35 29) (180 7 1) edgeGrading (4 4 4 4 1.8 1 1 1.8 1 1 1 1)
75     hex (7 13 14 8 29 35 36 30) (180 10 1) edgeGrading (4 4 4 4 1 1 4 1 1 1 1 1)
76     hex (8 14 15 9 30 36 37 31) (180 13 1) simpleGrading (4 0.25 1)
77     hex (10 16 17 11 32 38 39 33) (25 18 1) simpleGrading (2.5 1 1)
78     hex (11 17 18 12 33 39 40 34) (25 9 1) simpleGrading (2.5 1 1)
79     hex (12 18 19 13 34 40 41 35) (25 7 1) simpleGrading (2.5 1 1)
80     hex (13 19 20 14 35 41 42 36) (25 10 1) simpleGrading (2.5 1 1)
81     hex (14 20 21 15 36 42 43 37) (25 13 1) simpleGrading (2.5 0.25 1)
82  );
83
84 edges
85 (
86  );
87
88 boundary
89 (
90     inlet
91  {

```

```
92      type patch;
93      faces
94      (
95          (0 22 23 1)
96          (1 23 24 2)
97          (2 24 25 3)
98      );
99  }
100 outlet
101 {
102     type patch;
103     faces
104     (
105         (16 17 39 38)
106         (17 18 40 39)
107         (18 19 41 40)
108         (19 20 42 41)
109         (20 21 43 42)
110     );
111 }
112 upperWall
113 {
114     type wall;
115     faces
116     (
117         (3 25 31 9)
118         (9 31 37 15)
119         (15 37 43 21)
120     );
121 }
122 lowerWall
123 {
124     type wall;
125     faces
126     (
127         (0 6 28 22)
128         (6 5 27 28)
129         (5 4 26 27)
130         (4 10 32 26)
131         (10 16 38 32)
132     );
133 }
134 frontAndBack
135 {
136     type empty;
137     faces
138     (
139         (22 28 29 23)
140         (23 29 30 24)
141         (24 30 31 25)
142         (26 32 33 27)
143         (27 33 34 28)
144         (28 34 35 29)
145         (29 35 36 30)
146         (30 36 37 31)
147         (32 38 39 33)
148         (33 39 40 34)
149         (34 40 41 35)
150         (35 41 42 36)
151         (36 42 43 37)
152         (0 1 7 6)
153         (1 2 8 7)
154         (2 3 9 8)
155         (4 5 11 10)
156         (5 6 12 11)
157         (6 7 13 12)
158         (7 8 14 13)
159         (8 9 15 14)
160         (10 11 17 16)
161         (11 12 18 17)
162         (12 13 19 18)
```

```

163           (13 14 20 19)
164           (14 15 21 20)
165       );
166   );
168
169   mergePatchPairs
170   (
171   );
172 // ****
173

```

この問題の最大の特徴は、ユーザガイドの5.3.1項で述べたblockMeshの完全なメッシュの勾配付けの機能を使っていることです。ブロック4, 5および6では、12個の拡大率からなる完全なリストを使っていることがわかります。これらの拡大率は、それぞれのブロックの線分について、最初の四つは局所的な x_1 方向に沿った線分、次の四つは局所的な x_2 方向の線分、最後の四つは局所的な x_3 方向の線分に対応しています。ブロック4, 5および6では、局所的な x_1 および x_2 方向の線分すべてに対して等しい比率となっていますが、 x_2 方向については違います。これは全てのブロックで、大域座標の y に対応しています。ユーザガイドの5.3.1項で述べたブロック定義と関連付けて使われている比率を考えると、図3.5のブロック4, 5および6において、左側と右側の線分に沿って、異なった勾配付けが規定されていることがわかります。この異なる勾配付けの目的は、流れの最も重大な領域である、段差で流れが曲がるところにおいて細かいメッシュを生成し、それ以外の領域にかけて拡大していくようにするためです。

コマンドラインまたはFoamXからblockMeshを使ってメッシュを生成し、先に例示したように可視化します。

3.2.3 境界条件と初期条件

ケースのファイルは、FoamXの中で、または手作業で閲覧・編集できます。このケースでは、速度 \mathbf{U} 、圧力 p 、乱流の運動エネルギー k および散逸率 ε について、初期および境界の場を設定する必要があります。境界条件は、FoamXで物理的なパッチのタイプを設定することで指定できます。上下の壁はWall、左側のパッチはInlet、そして右側のパッチはOutletに設定します。入口の \mathbf{U} 、 k および ε については、物理境界条件としてfixedValueを指定する必要があります。 \mathbf{U} は問題設定により与えられていますが、 k と ε についてはユーザガイドの2.1.8.1で述べたのと同様な方法で、ユーザが決めなければなりません。入口においては、乱流は等方性であり、変動は \mathbf{U} の5%と仮定します。

$$U'_x = U'_y = U'_z = \frac{5}{100}10 = 0.5 \text{ m/s} \quad (3.5)$$

および

$$k = \frac{3}{2}(0.5)^2 = 0.375 \text{ m}^2/\text{s}^3 \quad (3.6)$$

が得られます。乱流の長さスケール l を入口幅の10%と見積もれば、

$$\varepsilon = \frac{C_\mu^{0.75} k^{1.5}}{l} = \frac{0.09^{0.75} \times 0.375^{1.5}}{0.1 \times 25.4 \times 10^{-3}} = 14.855 \text{ m}^2/\text{s}^3 \quad (3.7)$$

となります。出口においては、圧力 $p = 0 \text{ Pa}$ だけしか指定する必要はありません。

3.2.4 ケースの制御

fvSchemes の選択は以下のようにします。 *timeScheme* は *steadyState* とし、 *gradScheme* および *laplacianScheme* はデフォルトとして *Gauss* を設定します。また、有界性を保証するため *divScheme* は *UD* とします。

fvTolerances の設定には特に注意を払う必要があります。**simpleFoam* コードのトップレベルでは p と \mathbf{U} の方程式しか含んでいませんが、乱流モデルは k , ε および \mathbf{R} の方程式も解くので、5個の方程式すべてに対して許容誤差を設定する必要があります。 p 以外の全ての変数については、*solverTolerance* は 10^{-5} , *solverRelativeTolerance* は 0.1 で十分ですが、 p に対しては 10^{-6} および 0.01 をお薦めします。問題は定常なので、不足緩和が必要となります。 \mathbf{U} , k , ε , \mathbf{R} については *relaxationFactor* は 0.7 で十分ですが、数値振動を抑えるため、 p は 0.3 とする必要があります。

最後に、*controlDict*において、定常問題なので *deltaT* は 1 とします。これで実質的には反復回数とみなせます。あとでわかるように、解を十分収束させるには 1000 回ほどの反復が必要なので、*endTime* は 1000 と設定します。実行中にハードディスクがデータでいっぱいになってしまわないように、*writeFrequency*[†]が十分大きな値（例えば 50）であることを確かめてください。

3.2.5 ケースの実行とポスト処理

ケースを実行し、結果のポスト処理を行います。少しだけ、例えば 50 反復した後には、段差の真下に段差の高さと同じくらいの渦が発達しますが、図 3.6 (a) に示す速度のベクトル・プロットからわかるように、 x 方向には狭いものに留まっています。さらに反復させると、渦は段差から出口へ向かって x 方向に伸展していき、1000 回の反復後に系は定常状態に達し、渦は図 3.6 (c) に示すように完全に発達した状態になります。

3.3 フォワード・ステップ上の超音速流れ

この例題では前方に面する段差上の超音速流れについて調べます。問題の概要は、マッハ数 3 の流れが入口付近に段差のある長方形の領域に流入し、それによって衝撃波を生じるというものです。

この例題では、新たに OpenFOAM の以下の特徴を紹介します。

- 超音速流れ

3.3.1 問題設定

問題は以下のように定義します。

解析領域 領域は 2 次元で、図 3.7 に示すように、短い入口、それに続いて断面の 20 % の高さの段差があります。

^{*} 訳注：この段落は古いバージョン向けの説明となっている。現行バージョンでは *fvTolerances* ではなく *fvSolution*, *solverTolerance* ではなく *tolerance*, *solverRelativeTolerance* ではなく *relTol*。

[†] 訳注：古いバージョンのキーワード。現行バージョンでは *writeInterval*

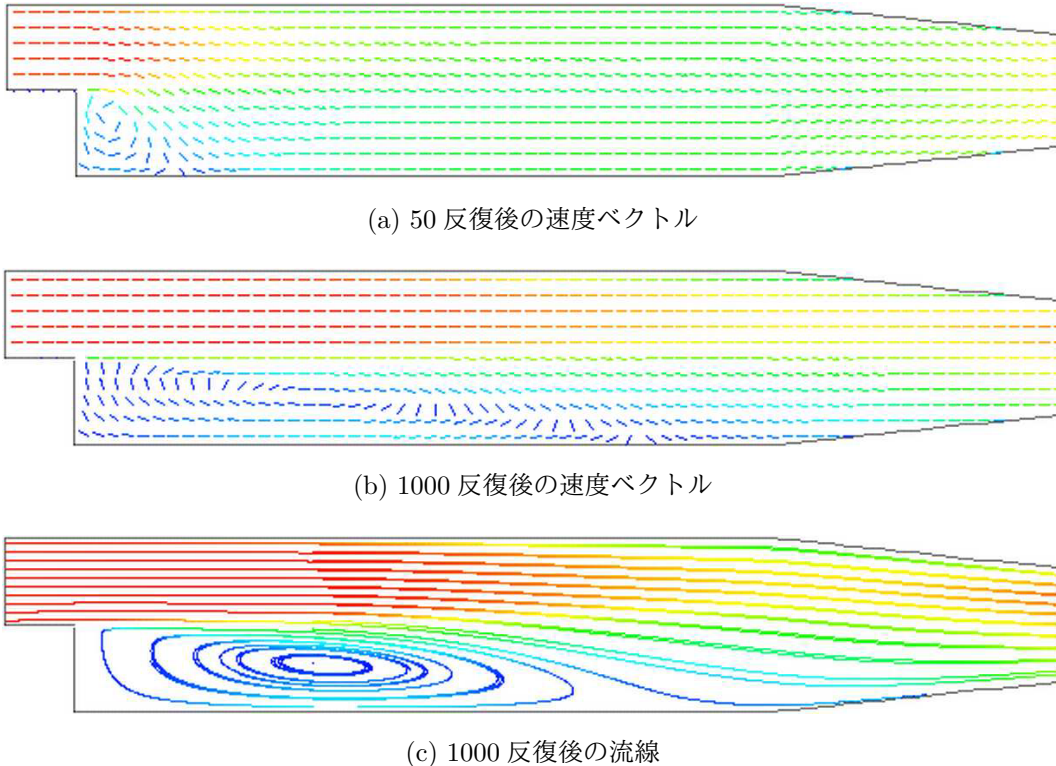


図 3.6 バック・ステップ内の渦の発達

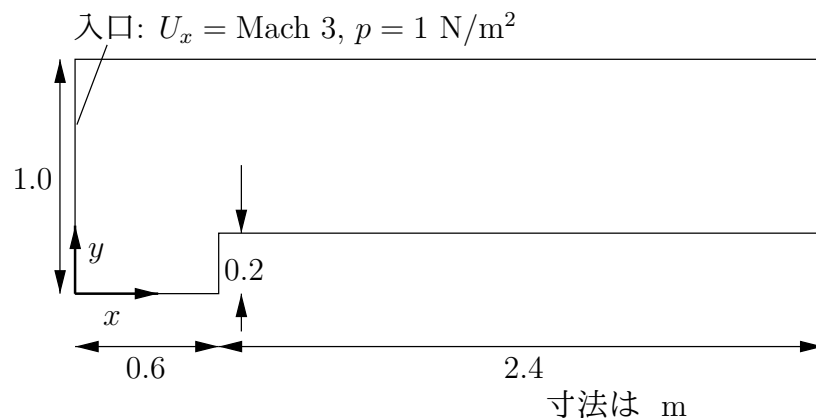


図 3.7 フォワード・ステップの計算領域形状

支配方程式

- 質量保存則

$$\frac{\partial \rho}{\partial t} + \nabla \cdot (\rho \mathbf{U}) = 0 \quad (3.8)$$

- 理想気体の状態方程式

$$p = \rho R T \quad (3.9)$$

- ニュートン流体の運動量方程式

$$\frac{\partial \rho \mathbf{U}}{\partial t} + \nabla \cdot (\rho \mathbf{U} \mathbf{U}) - \nabla \cdot (\mu \nabla \mathbf{U}) = -\nabla p \quad (3.10)$$

- 流体のエネルギー方程式（いくつかの粘性項は無視）， $e = c_v T$ であり，フーリエの法則 $\mathbf{q} = -k \nabla T$ に基づいています。

$$\frac{\partial \rho e}{\partial t} + \nabla \cdot (\rho \mathbf{U} e) - \nabla \cdot \left(\frac{k}{c_v} \right) \nabla e = p \nabla \cdot \mathbf{U} \quad (3.11)$$

初期条件 $U = 0 \text{ m/s}$, $p = 1 \text{ Pa}$, $T = 1 \text{ K}$.

境界条件

- 入口（左）は，いずれも fixedValue で，速度 $\mathbf{U} = 3 \text{ m/s} = \text{マッハ } 3$ ，圧力 $p = 1 \text{ Pa}$ および温度 $T = 1 \text{ K}$
- 出口（右）は， U , p および T ，いずれも zeroGradient
- 滑りなし断熱壁面（下面）
- 対称面（上面）

輸送特性

- 空気の粘性係数* $\mu = 18.1 \mu\text{Pa s}$

熱力学特性

- 定積比熱 $c_v = 1.78571 \text{ J/(kg K)}$
- ガス定数 $R = 0.714286 \text{ J/(kg K)}$
- 熱伝達率 $k = 32.3 \mu\text{W/(m K)}$

ケース名 $\$FOAM_TUTORIALS/sonicFoam$ [†] ディレクトリの中にある forwardStep ケース。

ソルバ名 sonicFoam: 圧縮性の遷音速・超音速層流[‡]の気体の流れの実装。

このケースは，気体中の音速が $c = \sqrt{\gamma R T} = 1 \text{ m/s}$ となるように作られています。その結果，速度がそのままマッハ数となります。例えば，入口の速度 3 m/s はマッハ 3 です。この音速の計算は，理想気体の関係式 $c_p - c_v = R$ から，つまり比熱比

$$\gamma = \frac{c_p}{c_v} = \frac{R}{c_v} + 1 \quad (3.12)$$

から確かめることができます。

3.3.2 メッシュ生成

このケースで使うメッシュは比較的単純で， x 方向に 0.06 m ， y 方向に 0.05 m の，一様な長方形セルからなっています。領域は簡単に三つのブロックに分割され，一つは段差の上面より下側，あとの二つは段差より上側で，それぞれ段差の前面に対して左側と右側になります。全ての頂点とブロックを，以下のメッシュ記述ファイルに示します。

```

1  /*----- C++ -----*/
2  | =====
3  |   \ \ / F ield      | OpenFOAM: The Open Source CFD Toolbox
4  |   \ \ / O peration  | Version: 2.2.0
5  |   \ \ / A nd         | Web:     www.OpenFOAM.org
6  |   \ \ / M anipulation |
7  \*-----*/

```

* 訳注：原文では Dynamic viscosity となっているが，数値・単位からして動粘性係数ではない。

[†] 訳注：これは古いバージョンでの配置。現行バージョンでは $\$FOAM_TUTORIALS/compressible/sonicFoam$ にある。

[‡] 訳注：古いバージョンでは層流のみだったが，現行バージョンでは乱流にも対応している。

```
8  FoamFile
9  {
10     version      2.0;
11     format       ascii;
12     class        dictionary;
13     object       blockMeshDict;
14 }
15 // * * * * *
16
17 convertToMeters 1;
18
19 vertices
20 (
21     (0 0 -0.05)
22     (0.6 0 -0.05)
23     (0 0.2 -0.05)
24     (0.6 0.2 -0.05)
25     (3 0.2 -0.05)
26     (0 1 -0.05)
27     (0.6 1 -0.05)
28     (3 1 -0.05)
29     (0 0 0.05)
30     (0.6 0 0.05)
31     (0 0.2 0.05)
32     (0.6 0.2 0.05)
33     (3 0.2 0.05)
34     (0 1 0.05)
35     (0.6 1 0.05)
36     (3 1 0.05)
37 );
38
39 blocks
40 (
41     hex (0 1 3 2 8 9 11 10) (25 10 1) simpleGrading (1 1 1)
42     hex (2 3 6 5 10 11 14 13) (25 40 1) simpleGrading (1 1 1)
43     hex (3 4 7 6 11 12 15 14) (100 40 1) simpleGrading (1 1 1)
44 );
45
46 edges
47 (
48 );
49
50 boundary
51 (
52     inlet
53     {
54         type patch;
55         faces
56         (
57             (0 8 10 2)
58             (2 10 13 5)
59         );
60     }
61     outlet
62     {
63         type patch;
64         faces
65         (
66             (4 7 15 12)
67         );
68     }
69     bottom
70     {
71         type symmetryPlane;
72         faces
73         (
74             (0 1 9 8)
75         );
76     }
77     top
78 {
```

```

79      type symmetryPlane;
80      faces
81      (
82          (5 13 14 6)
83          (6 14 15 7)
84      );
85  }
86  obstacle
87  {
88      type patch;
89      faces
90      (
91          (1 3 11 9)
92          (3 4 12 11)
93      );
94  }
95  );
96
97 mergePatchPairs
98 (
99 );
100 // ****
101 // ****

```

3.3.3 ケースの実行

このケースは、5sを少し過ぎたあたりで定常状態に達します。10sにおける圧力の結果を図3.8に示します。この結果からは、段差の根元から生じている圧力の不連続面、つまり衝撃波が顕著に見られます。

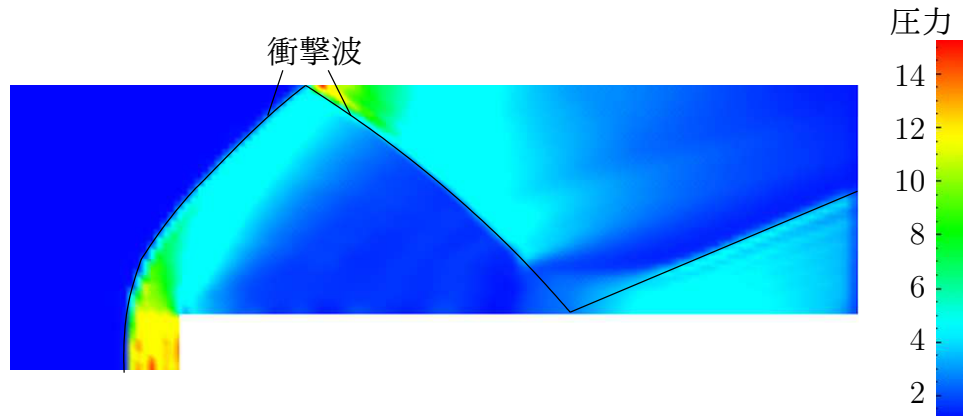


図 3.8 フォワード・ステップ問題における衝撃波

3.3.4 課題

入口の速度を増大させたとき、解に与える影響を調べてみましょう。

3.4 加圧された水タンクの減圧

この例題では、加圧した液体で満たされたタンク近くのバルブを急に開くという問題について調べます。このような問題の結果には圧力波の伝播が重要であり、したがって圧縮性の液体としてモデル化する必要があります。

この例題では、新たに OpenFOAM の以下のような特徴を紹介します。

- メッシュの改善
- 液体中の圧力波

3.4.1 問題設定

解析領域 領域は2次元で、図3.9に示すように、小さい流出管路が付いたタンクからなります。

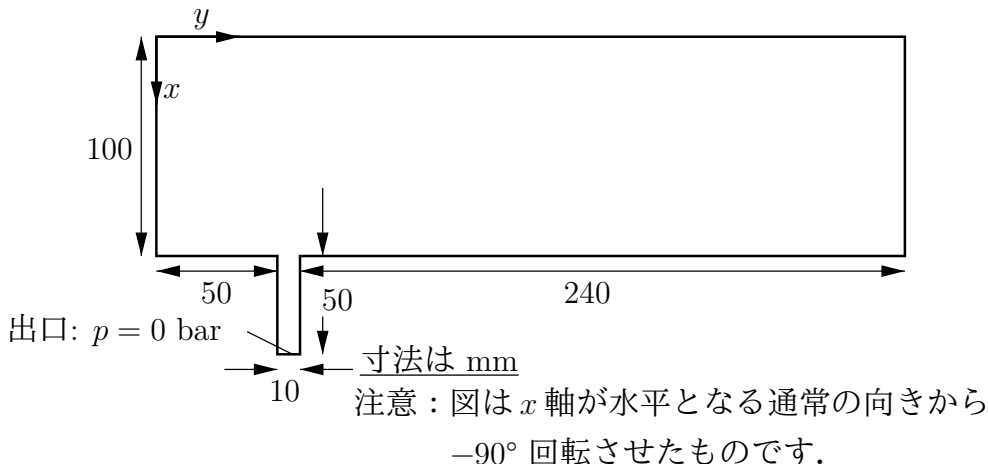


図3.9 流出管路付きタンクの計算領域形状

支配方程式 この問題では、有限の速度で伝播する波を解くために、流体の圧縮率 ψ が必要となります。密度 ρ と圧力 p を ψ と結びつけるには順圧の関係が使われます。

- 質量保存則

$$\frac{\partial \rho}{\partial t} + \nabla \cdot (\rho \mathbf{U}) = 0 \quad (3.13)$$

- 順圧の関係

$$\frac{\partial \rho}{\partial p} = \frac{\rho}{K} = \psi \quad (3.14)$$

ここで K は体積弾性率です。

- 式(3.14)は以下のように線形化されます。

$$\rho \approx \rho_0 + \psi(p - p_0) \quad (3.15)$$

ここで ρ_0 と p_0 はそれぞれ参照密度と圧力で、 $\rho(p_0) = \rho_0$ です。

- ニュートン流体の運動量方程式

$$\frac{\partial \rho \mathbf{U}}{\partial t} + \nabla \cdot (\rho \mathbf{U} \mathbf{U}) - \nabla \cdot (\mu \nabla \mathbf{U}) = -\nabla p \quad (3.16)$$

境界条件 FoamXを使って、以下のような物理境界条件を設定できます。

- outerWall は wall 条件として指定
- axis は symmetryPlane として指定
- nozzle は $p = 0$ bar の pressureOutlet として指定

- front および back 境界は empty として指定

初期条件 $\mathbf{U} = \mathbf{0}$ m/s, $p = 100$ bar.

輸送特性

- 水の粘性係数^{*} $\mu = 1.0$ mPa s

熱力学特性

- 水の密度 $\rho = 1000$ kg/m³
- 参照圧力 $p_0 = 1$ bar
- 水の圧縮率 $\psi = 4.54 \times 10^{-7}$ s²/m²

ソルバ名 sonicLiquidFoam: 遷音速・超音速の圧縮性液体の層流コード.

ケース名 \$FOAM_TUTORIALS/sonicLiquidFoam* ディレクトリの中にある decompressionTank ケース.

3.4.2 メッシュ生成

このケースでモデル化されている形状の全ての頂点とブロックを、以下のメッシュ記述ファイルに示します。

```

1  /*----- C++ -----*/
2  | ====== |
3  | \ \ / Field      | OpenFOAM: The Open Source CFD Toolbox
4  | \ \ / Operation | Version: 2.2.0
5  | \ \ / And        | Web:     www.OpenFOAM.org
6  | \ \ / Manipulation |
7  \*-----*/
8 FoamFile
9 {
10    version    2.0;
11    format      ascii;
12    class       dictionary;
13    object      blockMeshDict;
14 }
15 // ****
16
17 convertToMeters 0.1;
18
19 vertices
20 (
21   (0 0 -0.1)
22   (1 0 -0.1)
23   (0 0.5 -0.1)
24   (1 0.5 -0.1)
25   (1.5 0.5 -0.1)
26   (0 0.6 -0.1)
27   (1 0.6 -0.1)
28   (1.5 0.6 -0.1)
29   (0 3 -0.1)
30   (1 3 -0.1)
31   (0 0 0.1)
32   (1 0 0.1)
33   (0 0.5 0.1)
34   (1 0.5 0.1)
35   (1.5 0.5 0.1)
36   (0 0.6 0.1)
37   (1 0.6 0.1)
38   (1.5 0.6 0.1)

```

^{*} 訳注：原文では Dynamic viscosity となっているが、数値・単位からして動粘性係数ではない。

^{*} 訳注：これは古いバージョンでの配置。現行バージョンでは \$FOAM_TUTORIALS/compressible/sonicLiquidFoam にある。

```
39      (0 3 0.1)
40      (1 3 0.1)
41  );
42
43  blocks
44  (
45      hex (0 1 3 2 10 11 13 12) (30 20 1) simpleGrading (1 1 1)
46      hex (2 3 6 5 12 13 16 15) (30 5 1) simpleGrading (1 1 1)
47      hex (3 4 7 6 13 14 17 16) (25 5 1) simpleGrading (1 1 1)
48      hex (5 6 9 8 15 16 19 18) (30 95 1) simpleGrading (1 1 1)
49  );
50
51  edges
52  (
53  );
54
55  boundary
56  (
57      outerWall
58      {
59          type wall;
60          faces
61          (
62              (0 1 11 10)
63              (1 3 13 11)
64              (3 4 14 13)
65              (7 6 16 17)
66              (6 9 19 16)
67              (9 8 18 19)
68          );
69      }
70      axis
71      {
72          type symmetryPlane;
73          faces
74          (
75              (0 10 12 2)
76              (2 12 15 5)
77              (5 15 18 8)
78          );
79      }
80      nozzle
81      {
82          type patch;
83          faces
84          (
85              (4 7 17 14)
86          );
87      }
88      back
89      {
90          type empty;
91          faces
92          (
93              (0 2 3 1)
94              (2 5 6 3)
95              (3 6 7 4)
96              (5 8 9 6)
97          );
98      }
99      front
100     {
101         type empty;
102         faces
103         (
104             (10 11 13 12)
105             (12 13 16 15)
106             (13 14 17 16)
107             (15 16 19 18)
108         );
109     }
}
```

```

110 );
111
112 mergePatchPairs
113 (
114 );
115 // ****
116 // ****

```

数値の精度向上のため、圧力場の基準値として 1 bar を使います。内部領域および境界条件のいずれにも、この基準値が上乗せされることに注意してください。

3.4.3 実行の準備

計算の設定を始める前に、捉えようとしている現象に対する代表速度を考える必要があります。いま考えている問題では、流体の速度は非常に小さくなりますが、圧力波は水中の音速で伝播します。音速は以下のように計算されます。

$$c = \sqrt{\frac{1}{\psi}} = \sqrt{\frac{1}{4.54 \times 10^{-7}}} = 1483.2 \text{ m/s} \quad (3.17)$$

前述のメッシュにおいて、メッシュの代表長さはおよそ 2 mm (ファイル *blockMeshDict* で拡大率を 0.1 としたことに注意) です。

$$Co = \frac{U \Delta t}{\Delta x} \quad (3.18)$$

を使って適切な時間ステップを考えると、およそ $\Delta t = 5 \times 10^{-7} \text{ s}$ とすれば音速に対してクーラン数が 0.35 となります。コードから出力される (移流速度に基づく) クーラン数は、2 行ほど小さい値になることにも注意してください。興味があるのは圧力波の伝播なので、シミュレーション時間を 0.25 ms とします。*参考に、ファイル *controlDict* を以下に引用します。

```

1  /*----- C++ -----*/
2  =====
3  | \ \ / F ield      | OpenFOAM: The Open Source CFD Toolbox
4  | \ \ / O peration   | Version: 2.2.0
5  | \ \ / A nd         | Web:     www.OpenFOAM.org
6  | \ \ / M anipulation |
7  \*-----*/
8 FoamFile
9 {
10    version    2.0;
11    format     ascii;
12    class      dictionary;
13    location   "system";
14    object     controlDict;
15 }
16 // * * * * *
17
18 application sonicLiquidFoam;
19
20 startFrom startTime;
21
22 startTime    0;
23
24 stopAt      endTime;
25
26 endTime     0.0001;
27

```

* 訳注：誤植か？ 引用されている *controlDict* では 0.1 ms になっている。

```

28 deltaT      5e-07;
29
30 writeControl timeStep;
31
32 writeInterval 20;
33
34 purgeWrite    0;
35
36 writeFormat    ascii;
37
38 writePrecision 6;
39
40 writeCompression off;
41
42 timeFormat     general;
43
44 timePrecision   6;
45
46 runTimeModifiable true;
47
48 // ****
49

```

3.4.4 ケースの実行

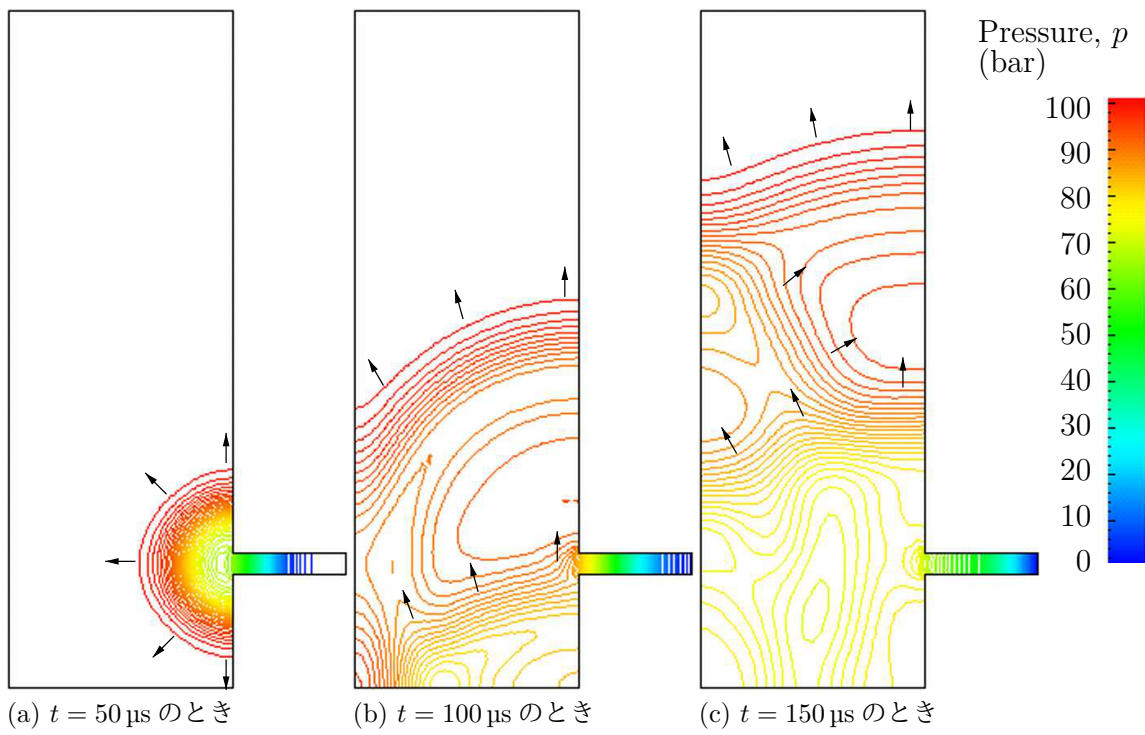


図 3.10 圧力波の伝播

`dxFoam*`でケースを実行し、結果を可視化することができます。液体がノズルから流出していくとともに、ノズルに沿って圧力波が移動していきます。この圧力波がタンク入口に達すると、その一部はタンク内に伝わっていき、一部は反射されます。入口パイプの上下で波が反射されることにより、波はタンク内に広がり、伝播していきます。図 3.10 に圧力を等圧線で示していますので、通常の等値線プロットよりも、波面がよりはっきりと見てとれます。

*訳注：OpenDX を利用したポスト処理ツール。現行バージョンには含まれていない。

もしシミュレーションを十分長い時間実行して反射された波がパイプまで帰ってきたら、負の絶対圧が観測できるでしょう。このことやその他のいくつかの物理原則を表現できるのは、液体が張力、すなわち負圧を表現できるようにモデリングされているからです。しかしながら現実には、低圧により液体中の不純物や溶解気体に起因して、キャビテーションや蒸発・沸騰が起こります。したがって、実用上、液体の蒸気圧より低い圧力は、少なくともキャビテーションのプロセスが始まるほど長時間に渡るのでなければ、一般には無視します。

3.4.5 メッシュの改良による解の改善

得られた圧力場の時間発展を見ていると、圧力波がタンク内に伝播して内壁面で数値的に反射している様子が明らかに見てとれます。また、いくつものセルを通貨する間に圧力波が鈍っていることも明らかです。そこで、もっとシャープな波面の解像度を得るために、メッシュを改良し、時間ステップを短くしてみましょう。単純に *blockMeshDict* を編集し、*x* および *y* 方向についてセル数を 4 倍に増やします。つまり、ブロック 0 は (30 20 1) から (120 80 1) とします。ほかも同様です。このファイルを使って *blockMesh* を実行します。これに加えて、クーラン数を 1 以下に保つために、したがって $\Delta t = 10^{-7}$ s に、時間ステップを短縮する必要があります。この 2 度目のシミュレーションは、図 3.11 に示すように、圧力波の解像度がずいぶん改善しています。

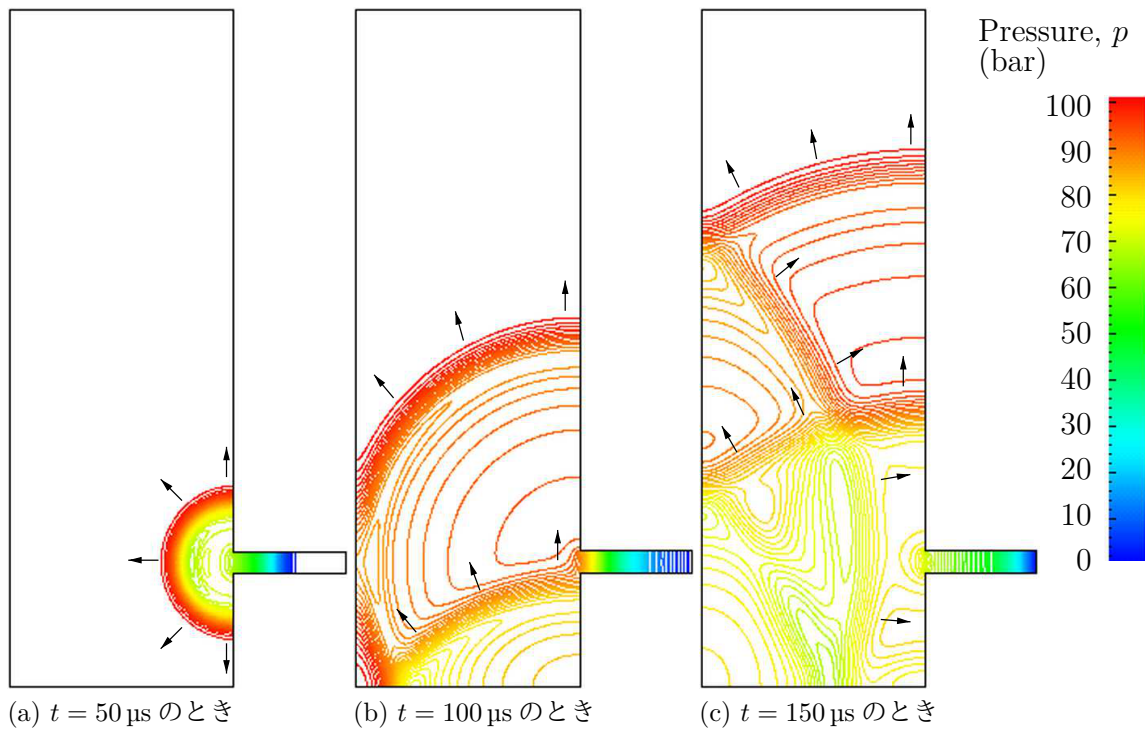


図 3.11 改良版メッシュにおける圧力波の伝播

3.5 磁性液体流れ

この例題では、磁場の中を通過し、電気の伝導を伴う液体の流れについて調べます。この問題は、電磁流体力学 (MHD) として知られる、流体力学の一つの分野であり、*mhdFoam* を使い

ます。

3.5.1 問題設定

この問題は index れいだい@例題!ハルトマンもんだい@ハルトマン問題ハルトマン問題として知られており、解析解によって mhdFoam を検証できるので選びました。問題は以下のように定義されます。

解析領域 領域は2次元で、図3.12に示すように、2枚の平行な板に沿った流れからなります。

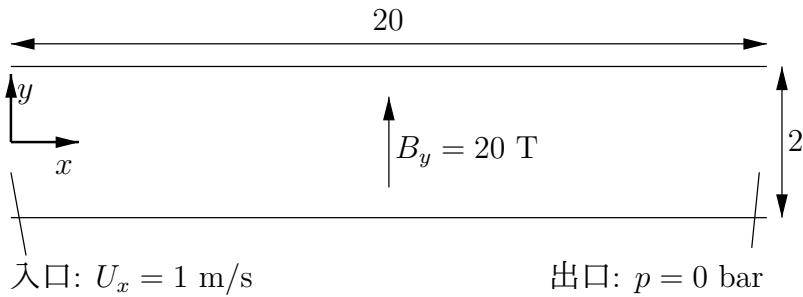


図3.12 ハルトマン問題の計算領域形状

支配方程式

- 非圧縮性流体の質量保存則

$$\nabla \cdot \mathbf{U} = 0 \quad (3.19)$$

- 非圧縮性流体の運動量方程式

$$\frac{\partial \mathbf{U}}{\partial t} + \nabla \cdot (\mathbf{U} \mathbf{U}) + \nabla \cdot (2\mathbf{B}\Gamma_{BU}\mathbf{B}) + \nabla \cdot (\nu \mathbf{U}) + \nabla(\Gamma_{BU}\mathbf{B} : \mathbf{B}) = -\nabla p \quad (3.20)$$

ここで \mathbf{B} は磁束密度であり、 $\Gamma_{BU} = (2\mu\rho)^{-1}$ です。

- マクスウェルの方程式

$$\nabla \times \mathbf{E} = -\frac{\partial \mathbf{B}}{\partial t} \quad (3.21)$$

ここで \mathbf{E} は電場強度です。

$$\nabla \times \mathbf{B} = 0 \quad (3.22)$$

$$\nabla \times \mathbf{H} = \mathbf{J} + \frac{\partial \mathbf{D}}{\partial t} = \mathbf{J} \quad (3.23)$$

$\partial \mathbf{D} / \partial t \ll \mathbf{J}$ と仮定しています。ここで、 \mathbf{H} は磁場強度、 \mathbf{J} は電流密度、そして \mathbf{D} は電束密度です。

- 電荷の保存則

$$\nabla \cdot \mathbf{J} = 0 \quad (3.24)$$

- 構成則

$$\mathbf{B} = \mu \mathbf{H} \quad (3.25)$$

- ## • オームの法則

$$\mathbf{J} = \sigma(\mathbf{E} + \mathbf{U} \times \mathbf{B}) \quad (3.26)$$

- 式 (3.21), 式 (3.23), 式 (3.26) を組み合わせて, 回転をとったもの

$$\frac{\partial \mathbf{B}}{\partial t} + \nabla \cdot (\mathbf{U} \mathbf{B}) - \nabla \cdot (\phi \mathbf{B}) - \nabla \cdot (\Gamma_B \mathbf{B}) = 0 \quad (3.27)$$

境界条件

- inlet は速度固定 $\mathbf{U} = (0, 0, 0)$ m/s の inlet 条件として指定*
 - outlet は圧力固定 $p = 0$ Pa の outlet として指定 *
 - upperWall は $\mathbf{B} = (0, 20, 0)$ T の wall として指定
 - lowerWall は $\mathbf{B} = (0, 20, 0)$ T の wall として指定
 - front および back 境界は empty として指定

初期条件 $U = 0$ m/s, $p = 100$ Pa, $B = (0, 20, 0)$ T.

輸送特性

- 動粘性係数 $\nu = 1 \text{ mPa s}$
 - 密度 $\rho = 1 \text{ kg m/s}$
 - 電気伝導率 $\sigma = 1 (\Omega \text{ m})$
 - 透磁率 $\mu = 1 \text{ H/m}$

ソルバ名 mhdFoam: 非圧縮性で層流の電磁流体コード

ケース名 \$FOAM_TUTORIALS/mhdFoam[†]ディレクトリの中にある hartmann ケース.

3.5.2 メッシュ生成

計算領域は x 方向に 100 セル, y 方向に 40 セルとして単純にモデル化されています。頂点およびブロックを以下のメッシュ定義ファイルに示します。

```

1  /*----- C++ -----*/
2  | =====
3  | \  Field          | OpenFOAM: The Open Source CFD Toolbox
4  |  \ Operation      | Version: 2.2.0
5  |   \ And           | Web:      www.OpenFOAM.org
6  |    \ Manipulation |
7  \*-----*/
8
9  FoamFile
10 {
11     version      2.0;
12     format       ascii;
13     class        dictionary;
14     object       blockMeshDict;
15 // * * * * *
16
17 convertToMeters 1;
18
19 vertices
20 (
21     (0 -1 0)

```

* 訳注：古いバージョンでは inlet, outlet という境界条件があった？（未確認）現行バージョンでは、それぞれ U あるいは p を fixedValue とし、他方を zeroGradient とする。

[†] 訳注：これは古いバージョンでの配置。現行バージョンでは \$FOAM_TUTORIALS/electromagnetics/mhdFoam にある。

```
22      (20 -1 0)
23      (20 1 0)
24      (0 1 0)
25      (0 -1 0.1)
26      (20 -1 0.1)
27      (20 1 0.1)
28      (0 1 0.1)
29  );
30
31  blocks
32  (
33      hex (0 1 2 3 4 5 6 7) (100 40 1) simpleGrading (1 1 1)
34  );
35
36  edges
37  (
38  );
39
40  boundary
41  (
42      inlet
43      {
44          type patch;
45          faces
46          (
47              (0 4 7 3)
48          );
49      }
50      outlet
51      {
52          type patch;
53          faces
54          (
55              (2 6 5 1)
56          );
57      }
58      lowerWall
59      {
60          type patch;
61          faces
62          (
63              (1 5 4 0)
64          );
65      }
66      upperWall
67      {
68          type patch;
69          faces
70          (
71              (3 7 6 2)
72          );
73      }
74      frontAndBack
75      {
76          type empty;
77          faces
78          (
79              (0 3 2 1)
80              (4 5 6 7)
81          );
82      }
83  );
84
85  mergePatchPairs
86  (
87  );
88 // ****
89 // ****
```

3.5.3 ケースの実行

`dxFoam*`でケースを実行し、結果を可視化することができます。 \mathbf{U} ベクトル場から個別のスカラ成分を取り出す `Ucomponents` ユーティリティも便利です。電磁流体の流れは、主として、粘性力に対する電磁的な体積力の比を表すハルトマン数[†]

$$Ha = BL \sqrt{\frac{\sigma}{\rho\nu}} \quad (3.28)$$

によって支配されます。ここで L は特性長さです。このケースでは $B_y = 20 \text{ T}$, $Ha = 20$ であり、粘性力に対して電磁的な体積力が支配的です。したがって、流れがすっかり定常になった $t = 2 \text{ s}$ において、中央の $x = 10 \text{ m}$ に沿った断面でみた速度分布は大部分が平坦になっています。`dxFoam` で U_x の分布をグラフにプロットすることができます。さて、磁束密度 \mathbf{B} を 1 T に減らして、計算コードと `Ucomponents` を再実行してみましょう。このケースでは $Ha = 1$ となり、もはや電磁的な体積力が支配的ではなくなります。したがって、図 3.13 に示すように、速度分布はポアズイユ流れの特徴である放物線状となります。コードを検証するために、

$$\frac{U_x(y)}{U_x(0)} = \frac{\cosh Ha - \cosh Ha(y/L)}{\cosh Ha - 1} \quad (3.29)$$

で与えられる速度分布 U_x の解析解を図 3.13 に重ねて示します。ここで、特性長さ L は計算領域の幅の半分、つまり 1 m です。

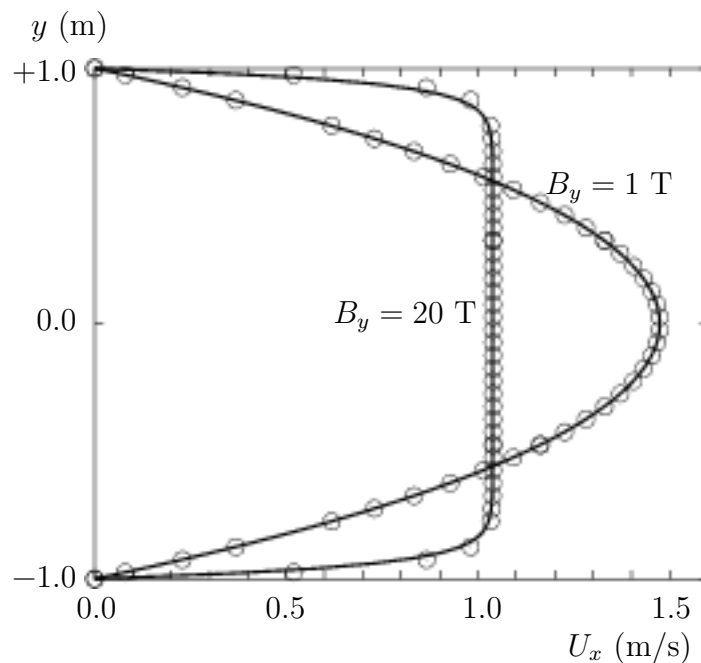


図 3.13 $B_y = 1 \text{ T}$ および $B_y = 20 \text{ T}$ のハルトマン問題における速度分布

* 訳注：OpenDX を利用したポスト処理ツール。現行バージョンには含まれていない。

† 訳注：原文では M が使われているが、わかりにくいで Ha とした。

索引

記号・数字

| | | | |
|---------------------------------|-------------|--|--------------|
| # include | | adjustTimeStep キーワード | U-66, U-114 |
| C++ 構文 | U-76, U-83 | agglomerator キーワード | U-125 |
| & | P-24 | algorithms ツール | U-100 |
| tensor のメンバ関数 | P-24 | alphaContactAngle 境界条件 | U-62 |
| && | P-24 | Animations ウインドウパネル | U-170 |
| tensor のメンバ関数 | P-24 | anisotropicFilter モデル | U-103 |
| * | P-24 | Annotation ウインドウパネル | U-26, U-168 |
| tensor のメンバ関数 | P-24 | ansysToFoam ユーティリティ | U-95 |
| + | P-24 | APIfunctions モデル | U-102 |
| tensor のメンバ関数 | P-24 | Apply ボタン | U-167, U-170 |
| - | P-24 | applyBoundaryLayer ユーティリティ | U-94 |
| tensor のメンバ関数 | P-24 | applyWallFunctionBoundaryConditions ユーティリティ | U-94 |
| / | P-24 | arc キーワード | U-141 |
| tensor のメンバ関数 | P-24 | arc キーワードエントリ | U-142 |
| /*...*/ | U-83 | As キーワード | U-186 |
| C++ 構文 | U-83 | ascii キーワードエントリ | U-114 |
| // | U-106 | attachMesh ユーティリティ | U-95 |
| C++ 構文 | U-106 | Attribute Mode メニュー | U-37 |
| OpenFOAM ファイル構文 | U-106 | Auto Accept ボタン | U-170 |
| <delta>Coeffs | U-187 | autoMesh ライブラリ | U-100 |
| キーワード | U-187 | autoPatch ユーティリティ | U-95 |
| <LESModel>Coeffs | U-187 | autoRefineMesh ユーティリティ | U-96 |
| キーワード | U-187 | | |
| <RASmodel>Coeffs | U-187 | | |
| キーワード | U-187 | | |
| - | P-24 | | |
| tensor のメンバ関数 | P-24 | | |
| 0 | U-106 | | |
| ディレクトリ | U-106 | | |
| 0.000000e+00 | U-106 | | |
| ディレクトリ | U-106 | | |
| 1D | U-133 | | |
| メッシュ | U-133 | | |
| 1 次元 | U-133 | Attribute Mode メニュー | U-37 |
| メッシュ | U-133 | Auto Accept ボタン | U-170 |
| 2D | U-133 | autoMesh ライブラリ | U-100 |
| メッシュ | U-133 | autoPatch ユーティリティ | U-95 |
| 2 次元 | U-133 | autoRefineMesh ユーティリティ | U-96 |
| メッシュ | U-133 | | |
| A | | | |
| addLayersControls | U-148 | | |
| キーワード | U-148 | | |
| adiabaticFlameT | U-99 | backward キーワードエントリ | U-122 |
| ユーティリティ | U-99 | | |
| adjointShapeOptimizationFoam | U-91 | barotropicCompressibilityModels ライブラリ | U-102 |
| ソルバ | U-91 | | |
| adjustableRunTime | U-66, U-114 | basicMultiComponentMixture | |
| キーワードエントリ | U-66, U-114 | | |
| B | | | |
| backward | | | |
| キーワードエントリ | | | |
| barotropicCompressibilityModels | | | |
| ライブラリ | | | |

| | | | | |
|------------------------------------|---|--------------------------|-----------|--------------|
| モデル | U-102, U-184 | cAlpha | キーワード | U-68 |
| basicSolidThermo ライブラリ | U-102 | castellatedMesh | キーワード | U-148 |
| basicThermophysicalModels ライブラリ | U-101 | castellatedMeshControls | キーワード | U-148 |
| binary キーワードエントリ | U-114 | castellatedMeshControls | ディクショナリ | U-149, U-151 |
| BirdCarreau モデル | U-104 | cavitatingDyMFoam | ソルバ | U-92 |
| block キーワード | U-141 | cavitatingFoam | ソルバ | U-92 |
| blocking キーワードエントリ | U-85 | CEI_ARCH | 環境変数 | U-175 |
| blockMesh ライブラリ | U-100 | CEI_HOME | 環境変数 | U-175 |
| blockMesh 実行可能な頂点の番号付け | U-142 | cell | キーワードエントリ | U-177 |
| ユーティリティ | P-47, U-40, U-94, U-138 | cellLimited | キーワードエントリ | U-120 |
| blockMeshDict ディクショナリ | U-20, U-22, U-38, U-52, U-138, U-146 | cellPoint | キーワードエントリ | U-177 |
| blocks キーワード | U-22, U-32, U-142 | cellPointFace | キーワードエントリ | U-177 |
| boundary ディクショナリ | U-131, U-140 | cells | ディクショナリ | U-140 |
| boundary キーワード | U-143 | cell クラス | | P-31 |
| boundaryField キーワード | U-23, U-110 | cfdTools | ツール | U-100 |
| boundaryFoam ソルバ | U-91 | cfx4ToFoam | ユーティリティ | U-95, U-155 |
| bounded キーワードエントリ | U-119, U-121 | changeDictionary | ユーティリティ | U-94 |
| boxToCell キーワード | U-64 | Charts | ウインドウパネル | U-170 |
| boxTurb ユーティリティ | U-94 | checkMesh | ユーティリティ | U-95, U-157 |
| buoyantBoussinesqPimpleFoam ソルバ | U-93 | chemFoam | ソルバ | U-92 |
| buoyantBoussinesqSimpleFoam ソルバ | U-93 | chemistryModel | モデル | U-102 |
| buoyantPimpleFoam ソルバ | U-93 | ライブラリ | | U-102 |
| buoyantPressure 境界条件 | U-139 | chemistrySolver | モデル | U-102 |
| buoyantSimpleFoam ソルバ | U-93 | chemkinToFoam | ユーティリティ | U-99 |
| C | | Choose Preset | ボタン | U-167 |
| C++ 構文 | | chtMultiRegionFoam | ソルバ | U-93 |
| # include | U-76, U-83 | chtMultiRegionSimpleFoam | ソルバ | U-93 |
| /*...*/ | U-83 | Chung | ライブラリ | U-102 |
| // | U-83 | class | キーワード | U-107 |
| cacheAgglomeration キーワード | U-125 | clockTime | | |
| calculated 境界条件 | U-138 | | | |

| | | | |
|---------------------------------|-------------------------|-------------------------------|------------------|
| キーワードエントリ | U-114 | キーワードエントリ | U-119, U-121 |
| cloud | U-178 | Cp | キーワード |
| キーワード | | | U-185 |
| cmptAv | P-24 | cpuTime | キーワードエントリ |
| tensor のメンバ関数 | | | U-114 |
| Co | U-97 | CrankNicholson | キーワードエントリ |
| ユーティリティ | | | U-122 |
| coalChemistryFoam | U-93 | createBaffles | ユーティリティ |
| ソルバ | | | U-95 |
| coalCombustion | U-101 | createPatch | ユーティリティ |
| ライブラリ | | | U-95 |
| cof | P-24 | createTurbulenceFields | ユーティリティ |
| tensor のメンバ関数 | | | U-97 |
| coldEngineFoam | U-92 | CrossPowerLaw | モデル |
| ソルバ | | | U-104 |
| collapseEdges | U-96 | CrossPowerLaw | キーワードエントリ |
| ユーティリティ | | | U-65 |
| Color By | U-167 | cubeRootVolDelta | モデル |
| メニュー | | | U-103 |
| Color Legend | U-167 | cubicCorrected | キーワードエントリ |
| ウインドウパネル | | | U-121 |
| Color Legend | U-30 | cubicCorrection | キーワードエントリ |
| ウインドウ | | | U-119 |
| Color Scale | U-167 | Current Time Controls | メニュー |
| ウインドウパネル | | | U-28 |
| Colors | U-170 | Current Time Controls | メニュー |
| ウインドウパネル | | | U-167 |
| combinePatchFaces | U-96 | curve | キーワード |
| ユーティリティ | | | U-178 |
| commsType | U-85 | Cv | キーワード |
| キーワード | | | U-185 |
| compressed | U-114 | cyclic | 境界条件 |
| キーワードエントリ | | | U-137 |
| compressibleInterDyMFoam | U-92 | cyclic | キーワードエントリ |
| ソルバ | | | U-137 |
| compressibleInterFoam | U-92 | | D |
| ソルバ | | datToFoam | |
| compressibleLESmodels | U-104 | ユーティリティ | U-95 |
| ライブラリ | | | |
| compressibleRASModels | U-103 | db | ツール |
| ライブラリ | | | U-100 |
| constant | U-105, U-183 | DeardorffDiffStress | モデル |
| ディレクトリ | | | U-104 |
| constLaminarFlameSpeed | U-102 | debug | キーワード |
| モデル | | | U-148 |
| constTransport | U-102, U-183 | decomposePar | ユーティリティ |
| モデル | | | U-86, U-87, U-99 |
| containers | U-100 | decomposeParDict | ディクショナリ |
| ツール | | | U-86 |
| controlDict | P-67 | decompositionMethods | ライブラリ |
| ディクショナリ | U-24, U-32, U-45, U-55, | | U-101 |
| | U-66, U-105, U-162 | defaultFieldValues | キーワード |
| conversion | U-101 | | U-64 |
| ライブラリ | | deformedGeom | ユーティリティ |
| convertToMeters | U-141 | | U-95 |
| キーワード | | Delete | ボタン |
| corrected | | | U-167 |

| | | |
|--------------------------------|---------------------|--------------------------------|
| delta | ソルバ | U-93 |
| キーワード | dsmcInitialise | |
| deltaT | ユーティリティ | U-94 |
| キーワード | dx | |
| det | キーワードエントリ | U-177 |
| tensor のメンバ関数 | dynamicFvMesh | |
| dev | ライブラリ | U-101 |
| tensor のメンバ関数 | dynamicMesh | |
| diag | ライブラリ | U-100 |
| tensor のメンバ関数 | dynLagrangian | |
| diagonal | モデル | U-103 |
| キーワードエントリ | dynMixedSmagorinsky | |
| DIC | モデル | U-103 |
| キーワードエントリ | dynOneEqEddy | |
| DICGaussSeidel | モデル | U-104 |
| キーワードエントリ | dynSmagorinsky | |
| dieselMixture | モデル | U-103 |
| モデル | | |
| dieselSpray | | E |
| ライブラリ | eConstThermo | |
| DILU | モデル | U-102, U-183 |
| キーワードエントリ | edgeGrading | |
| dimensioned<Type> | キーワード | U-142 |
| テンプレートクラス | edgeMesh | |
| dimensionedTypes | ライブラリ | U-101 |
| ツール | edges | |
| dimensions | キーワード | U-141 |
| キーワード | Edit | |
| dimensionSet | メニュー | U-168 |
| クラス | Edit Color Map | |
| dimensionSet | ボタン | U-167 |
| ツール | egrMixture | |
| dimensionSet クラス | モデル | U-102, U-184 |
| directionMixed | electrostaticFoam | |
| 境界条件 | ソルバ | U-93 |
| Display | empty | |
| ウインドウパネル | 境界条件 | P-65, P-71, U-20, U-133, U-137 |
| U-167 | empty | |
| distance | キーワードエントリ | U-137 |
| キーワードエントリ | Enable Line Series | |
| distributed | ボタン | U-37 |
| ライブラリ | endTime | |
| distributed | キーワード | U-24, U-113 |
| キーワード | キーワードエントリ | U-113 |
| distributionModels | energy | |
| ライブラリ | キーワード | U-184 |
| divSchemes | engine | |
| キーワード | ライブラリ | U-101 |
| dnsFoam | engineCompRatio | |
| ソルバ | ユーティリティ | U-98 |
| doLayers | engineFoam | |
| キーワード | ソルバ | U-92 |
| dsmc | engineSwirl | |
| ライブラリ | ユーティリティ | U-94 |
| dsmcFieldsCalc | ENSIGHT7_INPUT | |
| ユーティリティ | 環境変数 | |
| dsmcFoam | ENSIGHT7_READER | U-175 |

| | | | | |
|-------------------------|-----------|--------------|--------------------------|-------------|
| 環境変数 | | U-175 | キーワード | U-177 |
| ensight74FoamExec | ユーティリティ | U-175 | fields | U-100 |
| ensightFoamReader | ユーティリティ | U-96 | ツール | |
| enstrophy | ユーティリティ | U-97 | fieldValues | U-64 |
| ePsiThermo | モデル | U-101, U-184 | fileFormats | U-101 |
| equationOfState | キーワード | U-184 | fileModificationChecking | U-85 |
| equilibriumCO | ユーティリティ | U-99 | fileModificationSkew | U-85 |
| equilibriumFlameT | ユーティリティ | U-99 | files | U-77 |
| errorReduction | キーワード | U-155 | filteredLinear2 | U-119 |
| Euler | キーワードエントリ | U-122 | finalLayerRatio | U-154 |
| execFlowFunctionObjects | ユーティリティ | U-98 | financialFoam | U-94 |
| expandDictionary | ユーティリティ | U-99 | finiteVolume | U-100 |
| expansionRatio | キーワード | U-154 | finiteVolume | U-100 |
| extrude2DMesh | ユーティリティ | U-94 | fireFoam | U-92 |
| extrudeMesh | ユーティリティ | U-94 | firstTime | U-113 |
| extrudeToRegionMesh | ユーティリティ | U-94 | fixed | U-114 |
| F | | | | |
| face | キーワード | U-178 | fixedGradient | U-138 |
| faceAgglomerate | ユーティリティ | U-94 | fixedValue | U-138 |
| faceAreaPair | キーワードエントリ | U-125 | flattenMesh | U-95 |
| faceLimited | キーワードエントリ | U-120 | floatTransfer | U-85 |
| faces | ディクショナリ | U-131, U-140 | flowType | U-97 |
| face クラス | | P-31 | fluent3DMeshToFoam | U-95 |
| FDIC | キーワードエントリ | U-124 | fluentInterface | U-172 |
| featureAngle | キーワード | U-154 | fluentMeshToFoam | U-95, U-155 |
| features | キーワード | U-149 | fluxCorrectedVelocity | U-139 |
| Field<Type> | テンプレートクラス | P-29 | fluxRequired | U-116 |
| FieldField<Type> | テンプレートクラス | P-32 | FOAM_RUN | U-105 |
| fieldFunctionObjects | ライブラリ | U-100 | 環境変数 | |
| fields | | | foamCalc | U-35, U-98 |
| | | | foamCalcFunctions | U-100 |
| | | | ライブラリ | |

| | | |
|---------------------------|------------------------------------|--------------------------|
| foamCorrectVrt | ライブラリ | U-101 |
| スクリプト／エイリアス | | P-34 |
| foamDataToFluent | | |
| ユーティリティ | ディクショナリ | U-56, U-67, U-105, U-115 |
| foamDebugSwitches | <i>fvSchemes</i> クラス | P-35 |
| ユーティリティ | | |
| FoamFile | <i>fvSolution</i> | |
| キーワード | ディクショナリ | U-105, U-122 |
| foamFile | | |
| キーワードエントリ | G | |
| foamFormatConvert | <i>g</i> | U-65 |
| ユーティリティ | ファイル | |
| foamInfoExec | gambitToFoam | |
| ユーティリティ | ユーティリティ | U-95, U-155 |
| foamJob | GAMG | |
| スクリプト／エイリアス | キーワードエントリ | U-56, U-123, U-124 |
| foamListTimes | Gamma | |
| ユーティリティ | キーワードエントリ | U-119 |
| foamLog | Gamma 差分スキーム | P-37 |
| スクリプト／エイリアス | | |
| foamMeshToFluent | Gauss | |
| ユーティリティ | キーワードエントリ | U-120 |
| foamToEnsight | GaussSeidel | |
| ユーティリティ | キーワードエントリ | U-124 |
| foamToEnsightParts | general | |
| ユーティリティ | キーワードエントリ | U-114 |
| foamToGMV | General | |
| ユーティリティ | ウインドウパネル | U-168, U-170 |
| foamToStarMesh | genericFvPatchField | |
| ユーティリティ | ライブラリ | U-101 |
| foamToSurface | GeometricBoundaryField | |
| ユーティリティ | テンプレートクラス | P-32 |
| foamToTecplot360 | geometricField<Type> | |
| ユーティリティ | テンプレートクラス | P-33 |
| foamToVTK | geometry | |
| ユーティリティ | キーワード | U-148 |
| forces | global | |
| ライブラリ | ツール | U-100 |
| format | gmshToFoam | |
| キーワード | ユーティリティ | U-95 |
| fourth | gnuplot | |
| キーワードエントリ | キーワードエントリ | U-114, U-177 |
| functions | gradSchemes | |
| キーワード | キーワード | U-116 |
| fvc クラス | graph | |
| fvDOM | ツール | U-100 |
| ライブラリ | graphFormat | |
| fvMatrices | キーワード | U-114 |
| ツール | GuldersEGRLaminarFlameSpeed | |
| fvMatrix | モデル | U-102 |
| テンプレートクラス | GuldersLaminarFlameSpeed | |
| fvMesh | モデル | U-102 |
| ツール | | |
| fvMesh クラス | H | |
| fvMotionSolvers | hConstThermo | |
| | モデル | U-102, U-183 |
| | Help | |
| | メニュー | U-168 |
| | HerschelBulkley | |

| | | | | |
|------------------------------------|-----------|------------------------------|----------------------|---------------|
| モデル | | U-104 | inlet | |
| Hf | キーワード | U-185 | 境界条件 | P-71 |
| hhuMixtureThermo | モデル | U-102, U-184 | inletOutlet | U-139 |
| hierarchical | キーワードエントリ | U-87, U-88 | 境界条件 | |
| highCpCoeffs | キーワード | U-186 | inotify | U-85 |
| homogeneousMixture | モデル | U-102, U-184 | キーワードエントリ | U-151 |
| homogenousDynSmagorinsky | モデル | U-103 | inside | |
| hPolynomialThermo | モデル | U-102, U-183 | insideCells | U-95 |
| hPsiMixtureThermo | モデル | U-101, U-184 | interDyMFoam | ソルバ |
| hPsiThermo | モデル | U-101, U-184 | interfaceProperties | モデル |
| hRhoMixtureThermo | モデル | U-101, U-184 | interFoam | ソルバ |
| hRhoThermo | モデル | U-101, U-184 | interMixingFoam | ソルバ |
| hsPsiMixtureThermo | モデル | U-101, U-184 | internalField | キーワード |
| hsPsiThermo | モデル | U-101, U-184 | interPhaseChangeFoam | ソルバ |
| hsRhoMixtureThermo | モデル | U-102, U-184 | interpolation | ツール |
| hsRhoThermo | モデル | U-101, U-184 | interpolations | ツール |
| icoFoam | ソルバ | U-19, U-23, U-25, U-26, U-91 | interpolationScheme | キーワード |
| icoPolynomial | モデル | U-102, U-183 | interpolationSchemes | キーワード |
| icoUncoupledKinematicParcelDyMFoam | ソルバ | U-93 | inv | tensor のメンバ関数 |
| icoUncoupledKinematicParcelFoam | ソルバ | U-93 | | P-24 |
| ideasToFoam | ユーティリティ | U-155 | | |
| ideasUnvToFoam | ユーティリティ | U-95 | J | |
| incompressibleLESmodels | ライブラリ | U-103 | janafThermo | |
| incompressibleRASModels | ライブラリ | U-103 | モデル | U-102, U-183 |
| incompressibleTransportModels | ライブラリ | P-55, U-104 | jobControl | |
| incompressibleTurbulenceModels | ライブラリ | P-55 | ライブラリ | U-100 |
| Information | ウインドウパネル | U-166 | jplot | キーワードエントリ |
| inhomogeneousMixture | モデル | U-102, U-184 | | U-114, U-177 |
| | | | K | |
| | | | kEpsilon | |
| | | | モデル | U-103 |
| | | | kivaToFoam | |
| | | | ユーティリティ | U-95 |
| | | | kOmega | |
| | | | モデル | U-103 |
| | | | kOmegaSST | |
| | | | モデル | U-103 |
| | | | kOmegaSSTSAS | |
| | | | モデル | U-103 |
| | | | L | |
| | | | lagrangian | |

| | | | |
|-------------------------|--------------|-------------------------|-------------------------|
| ライブラリ | | Line Style | |
| lagrangianIntermediate | U-101 | メニュー | U-37 |
| ライブラリ | U-101 | linear | |
| Lambda2 | U-97 | ライブラリ | U-102 |
| ユーティリティ | | linear | |
| LamBremhorstKE | U-103 | キーワードエントリ | U-119, U-121 |
| モデル | | linearUpwind | |
| laminar | U-103 | キーワードエントリ | U-119, U-121 |
| モデル | | liquidMixtureProperties | |
| laminar | U-44, U-187 | ライブラリ | U-102 |
| キーワードエントリ | | liquidProperties | |
| laminarFlameSpeedModels | U-102 | ライブラリ | U-102 |
| ライブラリ | | List<Type> | |
| laplaceFilter | U-103 | テンプレートクラス | P-29 |
| モデル | | localEuler | |
| laplacianFoam | U-90 | キーワードエントリ | U-122 |
| ソルバ | | location | |
| laplacianSchemes | U-116 | キーワード | U-107 |
| キーワード | | locationInMesh | |
| latestTime | U-41, U-113 | キーワード | U-149, U-151 |
| キーワードエントリ | | locDynOneEqEddy | |
| LaunderGibsonRSTM | U-103 | モデル | U-104 |
| モデル | | lowCpCoeffs | |
| LaunderSharmaKE | U-103 | キーワード | U-186 |
| モデル | | lowReOneEqEddy | |
| layers | U-154 | モデル | U-104 |
| キーワード | | LRDDiffStress | |
| leastSquares | U-56 | モデル | U-104 |
| キーワード | | LRR | |
| キーワードエントリ | U-120 | モデル | U-103 |
| LESdeltas | U-103 | LTSInterFoam | |
| ライブラリ | | ソルバ | U-92 |
| LESfilters | U-103 | LTSReactingParcelFoam | |
| ライブラリ | | ソルバ | U-93 |
| LESModel | U-187 | | M |
| キーワード | | Mach | |
| キーワードエントリ | U-44, U-187 | ユーティリティ | U-97 |
| levels | U-152 | mag | |
| キーワード | | tensor のメンバ関数 | P-24 |
| libs | U-85, U-114 | magneticFoam | |
| キーワード | | ソルバ | U-93 |
| LienCubicKE | U-103 | magSqr | |
| モデル | | tensor のメンバ関数 | P-24 |
| LienCubicKELowRe | U-103 | Make | |
| モデル | | ディレクトリ | U-77 |
| LienLeschzinerLowRe | U-103 | make | |
| モデル | | スクリプト／エイリアス | U-75 |
| Lights | U-168 | Make/files | |
| ウィンドウパネル | | ファイル | U-79 |
| limited | U-119, U-121 | manual | |
| キーワードエントリ | | キーワードエントリ | U-87, U-88 |
| limitedCubic | U-119 | manualCoeffs | |
| キーワードエントリ | | キーワード | U-88 |
| limitedLinear | U-119 | mapFields | |
| キーワードエントリ | | ユーティリティ | U-32, U-41, U-45, U-59, |
| line | U-142 | U-94, U-162 | |
| キーワードエントリ | | | |

| | | | |
|---------------------------|-------------|---------------------------|------------|
| Marker Style | | ライブラリ | U-101 |
| メニュー | U-37 | method | |
| matrices | | キーワード | U-88 |
| ツール | U-100 | metis | |
| max | | キーワードエントリ | U-88 |
| tensor のメンバ関数 | P-24 | MGridGen | |
| maxAlphaCo | | キーワードエントリ | U-125 |
| キーワード | U-66 | MGridGenGAMGAgglomeration | |
| maxBoundarySkewness | | ライブラリ | U-101 |
| キーワード | U-155 | mhdFoam | |
| maxCo | | ソルバ | U-93 |
| キーワード | U-66, U-114 | mhdFoam ソルバ | P-69, P-71 |
| maxConcave | | midPoint | |
| キーワード | U-155 | キーワード | U-178 |
| maxDeltaT | | キーワードエントリ | U-119 |
| キーワード | U-66 | midPointAndFace | |
| maxDeltaxyz | | キーワード | U-178 |
| モデル | U-103 | min | |
| maxFaceThicknessRatio | | tensor のメンバ関数 | P-24 |
| キーワード | U-154 | minArea | |
| maxGlobalCells | | キーワード | U-155 |
| キーワード | U-149 | minDeterminant | |
| maxInternalSkewness | | キーワード | U-155 |
| キーワード | U-155 | minFaceWeight | |
| maxLocalCells | | キーワード | U-155 |
| キーワード | U-149 | minFlatness | |
| maxNonOrtho | | キーワード | U-155 |
| キーワード | U-155 | minMedianAxisAngle | |
| maxThicknessToMedialRatio | | キーワード | U-154 |
| キーワード | U-154 | MINMOD 差分 | P-37 |
| mdEquilibrationFoam | | minRefinementCells | |
| ソルバ | U-93 | キーワード | U-149 |
| mdFoam | | minThickness | |
| ソルバ | U-93 | キーワード | U-154 |
| mdInitialise | | minTriangleTwist | |
| ユーティリティ | U-94 | キーワード | U-155 |
| mechanicalProperties | | minTwist | |
| ディクショナリ | U-54 | キーワード | U-155 |
| memory | | minVol | |
| ツール | U-100 | キーワード | U-155 |
| mergeLevels | | minVolRatio | |
| キーワード | U-125 | キーワード | U-155 |
| mergeMeshes | | mirrorMesh | |
| ユーティリティ | U-95 | ユーティリティ | U-95 |
| mergeOrSplitBaffles | | mixed | |
| ユーティリティ | U-95 | 境界条件 | U-138 |
| mergePatchPairs | | mixedSmagorinsky | |
| キーワード | U-141 | モデル | U-103 |
| mergeTolerance | | mixtureAdiabaticFlameT | |
| キーワード | U-148 | ユーティリティ | U-99 |
| Mesh Parts | | mode | |
| ウインドウパネル | U-26 | キーワード | U-151 |
| meshes | | modifyMesh | |
| ツール | U-100 | ユーティリティ | U-96 |
| meshQualityControls | | molecularMeasurements | |
| キーワード | U-148 | ライブラリ | U-101 |
| meshTools | | molecule | |

| | | | |
|-------------------------------|--------------|----------------------------|--------------|
| ライブラリ | | | |
| <i>molweight</i> | U-101 | <i>nLayerIter</i> | |
| キーワード | | キーワード | |
| <i>moveDynamicMesh</i> | U-185 | <i>nMoles</i> | |
| ユーティリティ | | キーワード | |
| <i>moveEngineMesh</i> | U-95 | <i>nonBlocking</i> | |
| ユーティリティ | | キーワードエントリ | |
| <i>moveMesh</i> | U-95 | <i>none</i> | |
| ユーティリティ | | キーワードエントリ | |
| <i>movingWallVelocity</i> | U-139 | <i>NonlinearKEShih</i> | |
| 境界条件 | | モデル | |
| <i>MPI</i> | | <i>nonNewtonianIcoFoam</i> | |
| <i>openMPI</i> | U-88 | ソルバ | |
| <i>MRFInterFoam</i> | U-92 | <i>noWriteNow</i> | |
| ソルバ | | キーワードエントリ | |
| <i>MRFMultiphaseInterFoam</i> | U-92 | <i>nPostSweeps</i> | |
| ソルバ | | キーワード | |
| <i>mshToFoam</i> | U-95 | <i>nPreSweeps</i> | |
| ユーティリティ | | キーワード | |
| <i>mu</i> | U-186 | <i>nPreSweepsh</i> | |
| キーワード | | キーワード | |
| <i>multiComponentMixture</i> | U-102, U-184 | <i>nRelaxedIter</i> | |
| モデル | | キーワード | |
| <i>multiphaseEulerFoam</i> | U-92 | <i>nRelaxIter</i> | |
| ソルバ | | キーワード | |
| <i>multiphaselInterFoam</i> | U-92 | <i>nSmoothNormals</i> | |
| ソルバ | | キーワード | |
| <i>MUSCL</i> | U-119 | <i>nSmoothPatch</i> | |
| キーワードエントリ | | キーワード | |
| N | | | |
| <i>n</i> | | <i>nSmoothScale</i> | |
| キーワード | U-88 | キーワード | |
| <i>nAlphaSubCycles</i> | U-68 | <i>nSmoothThickness</i> | |
| キーワード | | キーワード | |
| <i>nBufferCellsNoExtrude</i> | U-154 | <i>nSolveIter</i> | |
| キーワード | | キーワード | |
| <i>nCellsBetweenLevels</i> | U-149 | <i>NSRDSfunctions</i> | |
| キーワード | | モデル | |
| <i>neighbour</i> | U-131 | <i>null</i> | |
| ディクショナリ | | キーワードエントリ | |
| <i>neighbourPatch</i> | U-144 | <i>numberOfSubdomains</i> | |
| キーワード | | キーワード | |
| <i>netgenNeutralToFoam</i> | U-95 | O | |
| ユーティリティ | | <i>object</i> | |
| <i>Newtonian</i> | U-104 | キーワード | U-107 |
| モデル | | <i>objToVTK</i> | |
| <i>Newtonian</i> | U-65 | ユーティリティ | U-95 |
| キーワードエントリ | | <i>ODE</i> | |
| <i>nextWrite</i> | U-113 | ライブラリ | U-101 |
| キーワードエントリ | | <i>oneEqEddy</i> | |
| <i>nFaces</i> | U-132 | モデル | U-103, U-104 |
| キーワード | | <i>Opacity</i> | |
| <i>nFinestSweeps</i> | U-125 | テキストボックス | U-168 |
| キーワード | | <i>OpenFOAM</i> | |
| <i>nGrow</i> | U-154 | アプリケーション | U-73 |
| キーワード | | ケース | U-105 |

| | | | |
|------------------------|--------------|----------------------|--------------|
| ファイルフォーマット | U-106 | patchSummary | |
| ライブラリ | U-73 | ユーティリティ | U-99 |
| OpenFOAM | | PBiCG | |
| ライブラリ | U-100 | キーワードエントリ | U-123 |
| OpenFOAM ファイル構文 | | PCG | |
| // | U-106 | キーワードエントリ | U-123 |
| openMPI | | pdfPlot | |
| MPI | U-88 | ユーティリティ | U-98 |
| メッセージパッシングインターフェイス | U-88 | PDRFoam | |
| OSspecific | | ソルバ | U-92 |
| ライブラリ | U-101 | PDRMesh | |
| outlet | | ユーティリティ | U-96 |
| 境界条件 | P-71 | Pe | |
| outletInlet | | ユーティリティ | U-97 |
| 境界条件 | U-139 | perfectGas | |
| outside | | モデル | U-102, U-183 |
| キーワードエントリ | U-151 | pimpleDyMFoam | |
| owner | | ソルバ | U-91 |
| ディクショナリ | U-131 | pimpleFoam | |
| P | | ソルバ | U-91 |
| p | | Pipeline Browser | |
| フィールド | U-25 | ウインドウ | U-26, U-166 |
| p_rghRefCell | | PISO | |
| キーワード | U-127 | ディクショナリ | U-25 |
| p_rghRefValue | | pisoFoam | |
| キーワード | U-127 | ソルバ | U-19, U-91 |
| P1 | | Plot Over Line | |
| ライブラリ | U-102 | メニューエントリ | U-37 |
| pairPatchAgglomeration | | plot3dToFoam | |
| ライブラリ | U-101 | ユーティリティ | U-95 |
| paraFoam | | pointField<Type> | |
| partialSlip | | テンプレートクラス | P-33, P-34 |
| 境界条件 | U-139 | pointField クラス | P-31 |
| particleTracks | | points | |
| ユーティリティ | U-97 | ディクショナリ | U-131, U-140 |
| patch | | polyBoundaryMesh クラス | P-31 |
| 境界条件 | U-136 | polyDualMesh | |
| patch | | ユーティリティ | U-95 |
| キーワードエントリ | U-137, U-178 | polyLine | |
| patchAverage | | キーワードエントリ | U-142 |
| ユーティリティ | U-97 | polyMesh | |
| patches | | クラス | U-129, U-131 |
| キーワード | U-141 | polyMesh | |
| patchIntegrate | | ディレクトリ | U-105 |
| ユーティリティ | U-97 | polyMesh クラス | P-31 |
| patchMap | | polynomialTransport | |
| キーワード | U-163 | モデル | U-102, U-183 |
| | | polyPatchList クラス | P-31 |
| | | polyPatch クラス | P-31 |
| | | polySpline | |
| | | キーワードエントリ | U-142 |
| | | porousInterFoam | |
| | | ソルバ | U-92 |
| | | porousSimpleFoam | |
| | | ソルバ | U-91 |
| | | postCalc | |
| | | ライブラリ | U-100 |

| | | | |
|-------------------------------|--------------|------------------------------|--------------|
| postChannel | | pureMixture | |
| ユーティリティ | U-98 | モデル | U-101, U-184 |
| potential | | purgeWrite | |
| ライブラリ | U-101 | キーワード | U-114 |
| potentialFoam | | PV3FoamReader | |
| ソルバ | U-91 | ライブラリ | U-165 |
| potentialFoam ソルバ | P-46 | PVFoamReader | |
| potentialFreeSurfaceFoam | | ライブラリ | U-165 |
| ソルバ | U-91 | | |
| pow | P-24 | Q | |
| tensor のメンバ関数 | | ユーティリティ | U-97 |
| powerLaw | | QUICK | |
| モデル | U-104 | キーワードエントリ | U-121 |
| pPrime2 | | qZeta | |
| ユーティリティ | U-97 | モデル | U-103 |
| Pr | | R | |
| キーワード | U-186 | | |
| PrandtlDelta | | | |
| モデル | U-103 | | |
| preconditioner | | | |
| キーワード | U-123, U-124 | ユーティリティ | U-97 |
| pRefCell | | radiationModels | |
| キーワード | U-25, U-127 | ライブラリ | U-102 |
| pRefValue | | randomProcesses | |
| キーワード | U-26, U-127 | ライブラリ | U-101 |
| pressure | | RASModel | |
| キーワード | U-54 | キーワード | U-187 |
| pressureDirectedInletVelocity | | キーワードエントリ | U-44, U-187 |
| 境界条件 | U-139 | RASProperties | |
| pressureInletVelocity | | ディクショナリ | U-44 |
| 境界条件 | U-139 | raw | |
| pressureOutlet | | キーワードエントリ | U-114, U-177 |
| 境界条件 | P-64 | reactingFoam | |
| pressureTransmissive | | ソルバ | U-92 |
| 境界条件 | U-139 | reactingMixture | |
| primitive | | モデル | U-102, U-184 |
| ライブラリ | P-23 | reactingParcelFilmFoam | |
| primitives | | ソルバ | U-93 |
| ツール | U-100 | reactingParcelFoam | |
| printCoeffs | | ソルバ | U-93 |
| キーワード | U-45, U-187 | reactionThermophysicalModels | |
| probeLocations | | ライブラリ | U-101 |
| ユーティリティ | U-97 | realizableKE | |
| processor | | モデル | U-103 |
| 境界条件 | U-137 | reconstruct | |
| processor | | ライブラリ | U-101 |
| キーワードエントリ | U-137 | reconstructPar | |
| processorN | | ユーティリティ | U-90, U-99 |
| ディレクトリ | U-88 | reconstructParMesh | |
| processorWeights | | ユーティリティ | U-99 |
| キーワード | U-87, U-88 | refGradient | |
| Properties | | キーワード | U-138 |
| ウィンドウパネル | U-27, U-166 | refineHexMesh | |
| ptot | | ユーティリティ | U-96 |
| ユーティリティ | U-98 | refinementLevel | |
| ptscotchDecomp | | ユーティリティ | U-96 |
| ライブラリ | U-101 | refinementRegions | |
| | | キーワード | U-149, U-151 |

| | | | |
|-------------------------------|--------------|----------------------------|------------------|
| <i>refinementRegions</i> | | ユーティリティ | U-96 |
| キーワード | U-151 | <i>run</i> | ディレクトリ |
| <i>refinementSurfaces</i> | | <i>runTime</i> | U-105 |
| キーワード | U-149 | | キーワードエントリ |
| <i>refineMesh</i> | | <i>runTimeModifiable</i> | U-34, U-114 |
| ユーティリティ | U-96 | キーワード | U-114 |
| <i>refineWallLayer</i> | | | |
| ユーティリティ | U-96 | | |
| <i>Refresh Times</i> | | | S |
| ボタン | U-28 | <i>sammToFoam</i> | |
| <i>regions</i> | | ユーティリティ | U-95 |
| キーワード | U-64 | <i>sample</i> | |
| <i>relativeSizes</i> | | ユーティリティ | U-98, U-176 |
| キーワード | U-154 | <i>sampling</i> | |
| <i>relaxed</i> | | ライブラリ | U-100 |
| キーワード | U-155 | <i>Save Animation</i> | |
| <i>relTol</i> | | メニュー | U-172 |
| キーワード | U-56, U-123 | <i>Save Screenshot</i> | |
| <i>removeFaces</i> | | メニュー | U-171 |
| ユーティリティ | U-96 | <i>scalarField</i> クラス | P-29 |
| <i>Render View</i> | | <i>scalarTransportFoam</i> | |
| ウインドウパネル | U-170 | ソルバ | U-91 |
| <i>renumberMesh</i> | | <i>scalar</i> クラス | P-23 |
| ユーティリティ | U-96 | <i>scale</i> | |
| <i>Rescale to Data Range</i> | | tensor のメンバ関数 | P-24 |
| ボタン | U-28 | <i>scalePoints</i> | |
| <i>Reset</i> | | ユーティリティ | U-159 |
| ボタン | U-167 | <i>scaleSimilarity</i> | |
| <i>resolveFeatureAngle</i> | | モデル | U-103 |
| キーワード | U-149, U-150 | <i>scheduled</i> | |
| <i>rhoCentralDyMFoam</i> | | キーワードエントリ | U-85 |
| ソルバ | U-91 | <i>scientific</i> | |
| <i>rhoCentralFoam</i> | | キーワードエントリ | U-114 |
| ソルバ | U-91 | <i>scotch</i> | |
| <i>rhoLTSimpleFoam</i> | | キーワードエントリ | U-87, U-88 |
| ソルバ | U-91 | <i>scotchCoeffs</i> | |
| <i>rhoPimpleFoam</i> | | キーワード | U-88 |
| ソルバ | U-91 | <i>scotchDecomp</i> | |
| <i>rhoPimpleFoam</i> | | ライブラリ | U-101 |
| ソルバ | U-91 | <i>Seed</i> | |
| <i>rhoPorousSimpleFoam</i> | | ウインドウパネル | U-171 |
| ソルバ | U-91 | <i>selectCells</i> | |
| <i>rhoReactingBuoyantFoam</i> | | ユーティリティ | U-96 |
| ソルバ | U-93 | <i>Set Ambient Color</i> | |
| <i>rhoReactingFoam</i> | | ボタン | U-167 |
| ソルバ | U-93 | <i>setFields</i> | |
| <i>rhoSimpleFoam</i> | | ユーティリティ | U-63, U-64, U-94 |
| ソルバ | U-91 | <i>setFormat</i> | |
| <i>rhoSimpleFoam</i> | | キーワード | U-177 |
| ソルバ | U-91 | <i>sets</i> | |
| <i>rmdepall</i> | | キーワード | U-177 |
| スクリプト／エイリアス | U-80 | <i>setSet</i> | |
| <i>RNGkEpsilon</i> | | ユーティリティ | U-96 |
| モデル | U-103 | <i>setsToZones</i> | |
| <i>roots</i> | | ユーティリティ | U-96 |
| キーワード | U-88, U-89 | <i>Settings</i> | |
| <i>rotateMesh</i> | | メニュー | U-170 |

| | | | | |
|---------------------------------|--------------|--|---|--------------|
| settlingFoam | | | メッシュレイヤ 面へのスナップ | U-153 |
| ソルバ | U-92 | | | U-152 |
| SFCD | | | <i>snappyHexMeshDict</i> | |
| キーワードエントリ | U-119, U-121 | | ファイル | U-147 |
| shallowWaterFoam | | | <i>snGradSchemes</i> | |
| ソルバ | U-91 | | キーワード | U-116 |
| Show Color Legend | | | solid | |
| メニューエントリ | U-28 | | ライブラリ | U-102 |
| simple | | | Solid Color | |
| キーワードエントリ | U-87, U-88 | | メニューエントリ | U-167 |
| simpleFilter | | | solidDisplacementFoam | |
| モデル | U-103 | | ソルバ | U-54, U-93 |
| simpleFoam | | | solidEquilibriumDisplacementFoam | |
| ソルバ | U-91 | | ソルバ | U-94 |
| simpleFoam ソルバ | P-54 | | solidMixtureProperties | |
| simpleGrading | | | ライブラリ | U-102 |
| キーワード | U-142 | | solidParticle | |
| simpleReactingParcelFoam | | | ライブラリ | U-101 |
| ソルバ | U-93 | | solidProperties | |
| simpleSpline | | | ライブラリ | U-102 |
| キーワードエントリ | U-142 | | solver | |
| simulationType | | | キーワード | U-56, U-123 |
| キーワード | U-65, U-187 | | solvers | |
| singleCellMesh | | | キーワード | U-123 |
| ユーティリティ | U-96 | | sonicDyMFoam | |
| SI 単位 | | | ソルバ | U-91 |
| skew | | | sonicFoam | |
| tensor のメンバ関数 | P-24 | | ソルバ | U-91 |
| skewLinear | | | sonicFoam ソルバ | P-61 |
| キーワードエントリ | U-119, U-121 | | sonicLiquidFoam | |
| SLGThermo | | | ソルバ | U-91 |
| ライブラリ | U-102 | | sonicLiquidFoam ソルバ | P-65 |
| slice クラス | P-31 | | SpalartAllmaras | |
| slip | | | モデル | U-103, U-104 |
| 境界条件 | U-139 | | SpalartAllmarasDDES | |
| Smagorinsky | | | モデル | U-104 |
| モデル | U-103, U-104 | | SpalartAllmarasIDDES | |
| Smagorinsky2 | | | モデル | U-104 |
| モデル | U-103 | | specie | |
| smapToFoam | | | ライブラリ | U-102 |
| ユーティリティ | U-97 | | specie | |
| smoothDelta | | | キーワード | U-102 |
| モデル | U-103 | | specieThermo | |
| smoother | | | モデル | U-102, U-183 |
| キーワード | U-125 | | spectEddyVisc | |
| smoothSolver | | | モデル | U-104 |
| キーワードエントリ | U-123 | | spline | |
| snap | | | キーワード | U-141 |
| キーワード | U-148 | | splitCells | |
| snapControls | | | ユーティリティ | U-96 |
| キーワード | U-148 | | splitMesh | |
| snappyHexMesh | | | ユーティリティ | U-96 |
| ユーティリティ | U-94, U-147 | | splitMeshRegions | |
| 基礎メッシュ | U-148 | | ユーティリティ | U-96 |
| セルの除去 | U-151 | | sprayEngineFoam | |
| セルの分割 | U-149 | | ソルバ | U-93 |
| メッシュ生成プロセス | U-147 | | sprayFoam | |

| | | | |
|-------------------------|-------------|---------------------------|--------------|
| ソルバ | U-93 | ユーティリティ | U-98 |
| sqr | P-24 | surfaceFeatureExtract | |
| tensor のメンバ関数 | | ユーティリティ | U-98, U-150 |
| SRFPimpleFoam | U-91 | surfaceField<Type> | |
| ソルバ | | テンプレートクラス | P-34 |
| SRFSimpleFoam | U-91 | surfaceFilmModels | |
| ソルバ | | モデル | U-104 |
| star3ToFoam | U-95 | surfaceFind | |
| ユーティリティ | | ユーティリティ | U-98 |
| star4ToFoam | U-95 | surfaceFormat | |
| ユーティリティ | | キーワード | U-177 |
| startFace | U-132 | surfacelnertia | |
| キーワード | | ユーティリティ | U-98 |
| startFrom | U-24, U-113 | surfaceMesh | |
| キーワード | | ツール | U-100 |
| starToFoam | U-155 | surfaceMeshConvert | |
| ユーティリティ | | ユーティリティ | U-98 |
| startTime | U-24, U-113 | surfaceMeshConvertTesting | |
| キーワード | | ユーティリティ | U-98 |
| キーワードエントリ | U-24, U-113 | surfaceMeshExport | |
| steadyParticleTracks | U-97 | ユーティリティ | U-98 |
| ユーティリティ | | surfaceMeshImport | |
| steadyState | U-122 | ユーティリティ | U-98 |
| キーワードエントリ | | surfaceMeshInfo | |
| Stereolithography (STL) | U-147 | ユーティリティ | U-98 |
| stitchMesh | U-96 | surfaceMeshTriangulate | |
| ユーティリティ | | ユーティリティ | U-98 |
| stl | U-177 | surfaceNormalFixedValue | |
| キーワードエントリ | | 境界条件 | U-139 |
| stopAt | U-113 | surfaceOrient | |
| キーワード | | ユーティリティ | U-98 |
| strategy | U-87, U-88 | surfacePointMerge | |
| キーワード | | ユーティリティ | U-98 |
| streamFunction | U-97 | surfaceRedistributePar | |
| ユーティリティ | | ユーティリティ | U-99 |
| stressComponents | U-97 | surfaceRefineRedGreen | |
| ユーティリティ | | ユーティリティ | U-99 |
| Style | U-26, U-167 | surfaces | |
| ウインドウパネル | | キーワード | U-177 |
| subsetMesh | U-96 | surfaceSmooth | |
| ユーティリティ | | ユーティリティ | U-99 |
| SUPERBEE 差分 | P-37 | surfaceSplitByPatch | |
| supersonicFreeStream | U-139 | ユーティリティ | U-99 |
| 境界条件 | | surfaceSplitNonManifolds | |
| surfaceAdd | U-98 | ユーティリティ | U-99 |
| ユーティリティ | | surfaceSubset | |
| surfaceAutoPatch | U-98 | ユーティリティ | U-99 |
| ユーティリティ | | surfaceToPatch | |
| surfaceCheck | U-98 | ユーティリティ | U-99 |
| ユーティリティ | | surfaceTransformPoints | |
| surfaceClean | U-98 | ユーティリティ | U-99 |
| ユーティリティ | | surfMesh | |
| surfaceCoarsen | U-98 | ライブラリ | U-101 |
| ユーティリティ | | sutherlandTransport | |
| surfaceConvert | U-98 | モデル | U-102, U-184 |
| ユーティリティ | | symm | |
| surfaceFeatureConvert | | tensor のメンバ関数 | P-24 |

| | | | |
|---------------------------------|-------------|--|--------------------|
| <i>symmetryPlane</i> | P-64, U-137 | ライブラリ <i>thermophysicalProperties</i> | U-102 |
| 境界条件 | | ディクショナリ | |
| <i>symmetryPlane</i> | U-137 | <i>thermoType</i> | U-183 |
| キーワードエントリ | | キーワード | |
| <i>symmTensorField</i> クラス | P-29 | <i>Thigh</i> | U-183 |
| <i>symmTensorThirdField</i> クラス | P-29 | キーワード | |
| <i>system</i> | U-105 | <i>timeFormat</i> | U-186 |
| ディレクトリ | | キーワード | |
| <i>systemCall</i> | U-100 | <i>timePrecision</i> | U-114 |
| ライブラリ | | キーワード | |
| <i>system</i> ディレクトリ | P-50 | <i>timeScheme</i> | U-114 |
| | | キーワード | |
| T | | <i>timeStamp</i> | U-116 |
| <i>T()</i> | P-24 | キーワードエントリ | U-85 |
| tensor のメンバ関数 | | <i>timeStampMaster</i> | U-85 |
| <i>Tcommon</i> | U-186 | キーワードエントリ | |
| キーワード | | <i>timeStep</i> | |
| <i>tensorField</i> クラス | P-29 | キーワードエントリ | U-25, U-34, U-113 |
| <i>tensorThirdField</i> クラス | P-29 | | |
| <i>tensor</i> クラス | P-23 | <i>Tlow</i> | U-186 |
| <i>tensor</i> のメンバ関数 | | キーワード | |
| & | P-24 | <i>tolerance</i> | |
| && | P-24 | キーワード | U-56, U-123, U-153 |
| * | P-24 | <i>Toolbars</i> | |
| + | P-24 | メニューエントリ | U-168 |
| - | P-24 | <i>topoChangeFvMesh</i> | |
| / | P-24 | ライブラリ | U-101 |
| ^ | P-24 | <i>topoSet</i> | |
| <i>cmptAv</i> | P-24 | ユーティリティ | U-96 |
| <i>cof</i> | P-24 | <i>topoSetSource</i> | |
| <i>det</i> | P-24 | キーワード | U-64 |
| <i>dev</i> | P-24 | <i>totalPressure</i> | |
| <i>diag</i> | P-24 | 境界条件 | U-139 |
| <i>inv</i> | P-24 | <i>tr</i> | |
| <i>mag</i> | P-24 | tensor のメンバ関数 | P-24 |
| <i>magSqr</i> | P-24 | <i>traction</i> | |
| <i>max</i> | P-24 | キーワード | U-54 |
| <i>min</i> | P-24 | <i>transform</i> | |
| <i>pow</i> | P-24 | tensor のメンバ関数 | P-24 |
| <i>scale</i> | P-24 | <i>transformPoints</i> | |
| <i>skew</i> | P-24 | ユーティリティ | U-96 |
| <i>sqr</i> | P-24 | <i>transport</i> | |
| <i>symm</i> | P-24 | キーワード | U-185 |
| <i>T()</i> | P-24 | <i>transportProperties</i> | |
| <i>tr</i> | P-24 | ディクショナリ | U-23, U-41, U-45 |
| <i>transform</i> | P-24 | <i>transportProperties</i> | |
| | | ファイル | |
| <i>tetgenToFoam</i> | U-95 | <i>triSurface</i> | U-64 |
| ユーティリティ | | ライブラリ | |
| <i>thermalPorousZone</i> | U-103 | <i>Ts</i> | U-101 |
| ライブラリ | | キーワード | |
| <i>thermalProperties</i> | U-54 | <i>turbulence</i> | U-186 |
| ディクショナリ | | キーワード | |
| <i>thermodynamics</i> | U-185 | <i>turbulenceProperties</i> | U-187 |
| キーワード | | ディクショナリ | |
| <i>thermophysical</i> | U-183 | <i>turbulentInlet</i> | U-65, U-187 |
| ライブラリ | | 境界条件 | |
| <i>thermophysicalFunctions</i> | | | U-139 |

| | | | |
|-------------------------------------|--------------|-----------------------------|-------------------------|
| <i>tutorials</i> | | キーワード | U-22, U-141 |
| ディレクトリ | U-19 | veryInhomogeneousMixture | |
| <i>tutorials</i> ディレクトリ | P-45 | モデル | U-102, U-184 |
| <i>twoLiquidMixingFoam</i> | | View | |
| ソルバ | U-92 | メニュー | U-168 |
| <i>twoPhaseEulerFoam</i> | | View Settings | |
| ソルバ | U-92 | メニューエントリ | U-26 |
| <i>twoPhaseInterfaceProperties</i> | | View Settings | |
| モデル | U-104 | メニューエントリ | U-168 |
| <i>type</i> | | View Settings (Render View) | |
| キーワード | U-133 | ウインドウ | U-168 |
| | U | View Settings... | |
| | | メニューエントリ | U-26 |
| <i>U</i> | | viewFactor | |
| フィールド | U-25 | ライブラリ | U-102 |
| <i>UMIST</i> | | viewFactorGen | |
| キーワードエントリ | U-117 | ユーティリティ | U-94 |
| <i>uncompressed</i> | | volField<Type> | |
| キーワードエントリ | U-114 | テンプレートクラス | P-34 |
| <i>uncorrected</i> | | volMesh | |
| キーワードエントリ | U-119, U-121 | ツール | U-100 |
| <i>uncoupledKinematicParcelFoam</i> | | vorticity | |
| ソルバ | U-93 | ユーティリティ | U-97 |
| <i>uniform</i> | | vtk | |
| キーワード | U-178 | キーワードエントリ | U-177 |
| <i>Update GUI</i> | | vtkFoam | |
| ボタン | U-167 | ライブラリ | U-165 |
| <i>uprime</i> | | vtkPV3Foam | |
| ユーティリティ | U-97 | ライブラリ | U-165 |
| <i>upwind</i> | | | W |
| キーワードエントリ | U-119, U-121 | wall | |
| <i>USCS</i> | | 境界条件 | P-64, P-71, U-62, U-136 |
| 単位 | U-110 | wall | |
| <i>Use Parallel Projection</i> | | キーワードエントリ | U-137 |
| ボタン | U-26, U-169 | wallFunctionTable | |
| <i>utilityFunctionObjects</i> | | ユーティリティ | U-94 |
| ライブラリ | U-100 | wallGradU | |
| | V | ユーティリティ | U-97 |
| <i>value</i> | | wallHeatFlux | |
| キーワード | U-23, U-138 | ユーティリティ | U-97 |
| <i>valueFraction</i> | | Wallis | |
| キーワード | U-138 | ライブラリ | U-102 |
| <i>van Leer</i> 差分 | P-37 | wallShearStress | |
| <i>vanLeer</i> | | ユーティリティ | U-97 |
| キーワードエントリ | U-119 | wclean | |
| <i>VCR Controls</i> | | スクリプト／エイリアス | U-80 |
| メニュー | U-28 | wdot | |
| <i>VCR Controls</i> | | ユーティリティ | U-98 |
| メニュー | U-167 | wedge | |
| <i>vector</i> | | 境界条件 | U-133, U-137, U-146 |
| クラス | U-109 | wedge | |
| <i>vectorField</i> クラス | P-29 | キーワードエントリ | U-137 |
| <i>vector</i> クラス | P-23 | WM_ARCH | |
| <i>version</i> | | 環境変数 | U-80 |
| キーワード | U-107 | WM_ARCH_OPTION | |
| <i>vertices</i> | | 環境変数 | U-80 |

| | | | |
|---------------------|-------------------|-----------------------------|--------------------------|
| WM_COMPILE_OPTION | | ソルバ | U-93 |
| 環境変数 | U-80 | xmgr | |
| WM_COMPILER | | キーワードエントリ | U-114, U-177 |
| 環境変数 | U-80 | xyz | |
| WM_COMPILER_BIN | | キーワードエントリ | U-178 |
| 環境変数 | U-80 | | |
| WM_COMPILER_DIR | | Y | |
| 環境変数 | U-80 | y | |
| WM_COMPILER_LIB | | キーワードエントリ | U-178 |
| 環境変数 | U-80 | yPlusLES | |
| WM_DIR | | ユーティリティ | U-97 |
| 環境変数 | U-80 | yPlusRAS | |
| WM_MPLIB | | ユーティリティ | U-97 |
| 環境変数 | U-80 | | |
| WM_OPTIONS | | Z | |
| 環境変数 | U-80 | z | |
| WM_PRECISION_OPTION | | キーワードエントリ | U-178 |
| 環境変数 | U-80 | zeroGradient | |
| WM_PROJECT | | 境界条件 | U-138 |
| 環境変数 | U-80 | zipUpMesh | |
| WM_PROJECT_DIR | | ユーティリティ | U-96 |
| 環境変数 | U-80 | | |
| WM_PROJECT_INST_DIR | | あ | |
| 環境変数 | U-80 | アクセス関数 | P-23 |
| WM_PROJECT_USER_DIR | | 圧力波 | |
| 環境変数 | U-80 | 液体中の | P-64 |
| WM_PROJECT_VERSION | | 後処理 | U-165 |
| 環境変数 | U-80 | paraFoam | U-165 |
| wmake | | 穴あき板の応力解析 | U-49 |
| スクリプト／エイリアス | U-75 | アプリケーション | U-73 |
| プラットフォーム | U-77 | 依存 | U-76 |
| word | | 依存リスト | U-76 |
| クラス | P-26 | ウインドウ | |
| word クラス | P-31 | Color Legend | U-30 |
| Wreframe | | Options | U-170 |
| メニューエントリ | U-167 | Pipeline Browser | U-26, U-166 |
| writeCellCentres | | View Settings (Render View) | U-168 |
| ユーティリティ | U-98 | ウインドウパネル | |
| writeCompression | | Animations | U-170 |
| キーワード | U-114 | Annotation | U-26, U-168 |
| writeControl | | Charts | U-170 |
| キーワード | U-25, U-66, U-113 | Color Legend | U-167 |
| writeFormat | | Color Scale | U-167 |
| キーワード | U-59, U-114 | Colors | U-170 |
| writeInterval | | Display | U-26, U-28, U-166, U-167 |
| キーワード | U-25, U-34, U-114 | General | U-168, U-170 |
| writeMeshObj | | Information | U-166 |
| ユーティリティ | U-95 | Lights | U-168 |
| writeNow | | Mesh Parts | U-26 |
| キーワードエントリ | U-113 | Properties | U-27, U-166 |
| writePrecision | | Render View | U-170 |
| キーワード | U-114 | Seed | U-171 |
| | | Style | U-26, U-167 |
| | X | 液体 | |
| x | | 電気の伝導 | P-69 |
| キーワードエントリ | U-178 | 演算 | P-27 |
| XiFoam | | 演算子 | |

| | | | |
|-------------------------|-------------------|--------------------------|--------------|
| スカラ | P-28 | Cp | U-185 |
| ベクトル | P-27 | curve | U-178 |
| 円柱 | | Cv | U-185 |
| まわりの流れ | P-45 | debug | U-148 |
| 円柱まわりの流れ | P-45 | defaultFieldValues | U-64 |
| オイラーの陰解法 | | delta | U-88, U-187 |
| 差分 | P-38 | deltaT | U-113 |
| 時間の離散化 | P-41 | dimensions | U-23, U-110 |
| | | distributed | U-88, U-89 |
| | | divSchemes | U-116 |
| か | | doLayers | U-148 |
| 解析解 | P-45 | edgeGrading | U-142 |
| ガウスの定理 | P-34 | edges | U-141 |
| 風上差分 | P-36 | endTime | U-24, U-113 |
| 環境変数 | | energy | U-184 |
| CEI_ARCH | U-175 | equationOfState | U-184 |
| CEI_HOME | U-175 | errorReduction | U-155 |
| ENSIGHT7_INPUT | U-175 | expansionRatio | U-154 |
| ENSIGHT7_READER | U-175 | face | U-178 |
| FOAM_RUN | U-105 | featureAngle | U-154 |
| WM_ARCH | U-80 | features | U-149 |
| WM_ARCH_OPTION | U-80 | fields | U-177 |
| WM_COMPILE_OPTION | U-80 | fieldValues | U-64 |
| WM_COMPILER | U-80 | fileModificationChecking | U-85 |
| WM_COMPILER_BIN | U-80 | fileModificationSkew | U-85 |
| WM_COMPILER_DIR | U-80 | finalLayerRatio | U-154 |
| WM_COMPILER_LIB | U-80 | floatTransfer | U-85 |
| WM_DIR | U-80 | fluxRequired | U-116 |
| WM_MPLIB | U-80 | FoamFile | U-107 |
| WM_OPTIONS | U-80 | format | U-107 |
| WM_PRECISIO_OPTION | U-80 | functions | U-114 |
| WM_PROJECT | U-80 | geometry | U-148 |
| WM_PROJECT_DIR | U-80 | gradSchemes | U-116 |
| WM_PROJECT_INST_DIR | U-80 | graphFormat | U-114 |
| WM_PROJECT_USER_DIR | U-80 | Hf | U-185 |
| WM_PROJECT_VERSION | U-80 | highCpCoeffs | U-186 |
| キーワード | | internalField | U-23, U-110 |
| <delta>Coeffs | U-187 | interpolationScheme | U-177 |
| <LESModel>Coeffs | U-187 | interpolationSchemes | U-116 |
| <RASmodel>Coeffs | U-187 | laplacianSchemes | U-116 |
| addLayersControls | U-148 | layers | U-154 |
| adjustTimeStep | U-66, U-114 | leastSquares | U-56 |
| agglomerator | U-125 | LESModel | U-187 |
| arc | U-141 | levels | U-152 |
| As | U-186 | libs | U-85, U-114 |
| block | U-141 | location | U-107 |
| blocks | U-22, U-32, U-142 | locationInMesh | U-149, U-151 |
| boundary | U-143 | lowCpCoeffs | U-186 |
| boundaryField | U-23, U-110 | manualCoeffs | U-88 |
| boxToCell | U-64 | maxAlphaCo | U-66 |
| cacheAgglomeration | U-125 | maxBoundarySkewness | U-155 |
| cAlpha | U-68 | maxCo | U-66, U-114 |
| castellatedMesh | U-148 | maxConcave | U-155 |
| castellatedMeshControls | U-148 | maxDeltaT | U-66 |
| class | U-107 | maxFaceThicknessRatio | U-154 |
| cloud | U-178 | maxGlobalCells | U-149 |
| commsType | U-85 | maxInternalSkewness | U-155 |
| convertToMeters | U-141 | | |

| | | | |
|---------------------------|--------------|---------------------|--------------------|
| maxLocalCells | U-149 | printCoeffs | U-45, U-187 |
| maxNonOrtho | U-155 | processorWeights | U-87, U-88 |
| maxThicknessToMedialRatio | U-154 | purgeWrite | U-114 |
| mergeLevels | U-125 | RASModel | U-187 |
| mergePatchPairs | U-141 | refGradient | U-138 |
| mergeTolerance | U-148 | refinementRegions | U-149, U-151 |
| meshQualityControls | U-148 | refinementRegions | U-151 |
| method | U-88 | refinementSurfaces | U-149 |
| midPoint | U-178 | regions | U-64 |
| midPointAndFace | U-178 | relativeSizes | U-154 |
| minArea | U-155 | relaxed | U-155 |
| minDeterminant | U-155 | relTol | U-56, U-123 |
| minFaceWeight | U-155 | resolveFeatureAngle | U-149, U-150 |
| minFlatness | U-155 | roots | U-88, U-89 |
| minMedianAxisAngle | U-154 | runTimeModifiable | U-114 |
| minRefinementCells | U-149 | scotchCoeffs | U-88 |
| minThickness | U-154 | setFormat | U-177 |
| minTriangleTwist | U-155 | sets | U-177 |
| minTwist | U-155 | simpleGrading | U-142 |
| minVol | U-155 | simulationType | U-65, U-187 |
| minVolRatio | U-155 | smoother | U-125 |
| mode | U-151 | snap | U-148 |
| molweight | U-185 | snapControls | U-148 |
| mu | U-186 | snGradSchemes | U-116 |
| n | U-88 | solver | U-56, U-123 |
| nAlphaSubCycles | U-68 | solvers | U-123 |
| nBufferCellsNoExtrude | U-154 | specie | U-185 |
| nCellsBetweenLevels | U-149 | spline | U-141 |
| neighbourPatch | U-144 | startFace | U-132 |
| nFaces | U-132 | startFrom | U-24, U-113 |
| nFinestSweeps | U-125 | startTime | U-24, U-113 |
| nGrow | U-154 | stopAt | U-113 |
| nLayerIter | U-154 | strategy | U-87, U-88 |
| nMoles | U-185 | surfaceFormat | U-177 |
| nPostSweeps | U-125 | surfaces | U-177 |
| nPreSweeps | U-125 | Tcommon | U-186 |
| nPreSweepsh | U-125 | thermodynamics | U-185 |
| nRelaxedIter | U-154 | thermoType | U-183 |
| nRelaxIter | U-153, U-154 | Thigh | U-186 |
| nSmoothNormals | U-154 | timeFormat | U-114 |
| nSmoothPatch | U-153 | timePrecision | U-114 |
| nSmoothScale | U-155 | timeScheme | U-116 |
| nSmoothSurfaceNormals | U-154 | Tlow | U-186 |
| nSmoothThickness | U-154 | tolerance | U-56, U-123, U-153 |
| nSolveIter | U-153 | topoSetSource | U-64 |
| numberOfSubdomains | U-88 | traction | U-54 |
| object | U-107 | transport | U-185 |
| order | U-88 | Ts | U-186 |
| p_rghRefCell | U-127 | turbulence | U-187 |
| p_rghRefValue | U-127 | type | U-133 |
| patches | U-141 | uniform | U-178 |
| patchMap | U-163 | value | U-23, U-138 |
| Pr | U-186 | valueFraction | U-138 |
| preconditioner | U-123, U-124 | version | U-107 |
| pRefCell | U-25, U-127 | vertices | U-22, U-141 |
| pRefValue | U-26, U-127 | writeCompression | U-114 |
| pressure | U-54 | writeControl | U-25, U-66, U-113 |

| | | | |
|-------------------|---------------------|-----------------|-------------------|
| writeFormat | U-59, U-114 | limitedCubic | U-119 |
| writeInterval | U-25, U-34, U-114 | limitedLinear | U-119 |
| writePrecision | U-114 | line | U-142 |
| キーワードエントリ | | linear | U-119, U-121 |
| adjustableRunTime | U-66, U-114 | linearUpwind | U-119, U-121 |
| arc | U-142 | localEuler | U-122 |
| ascii | U-114 | manual | U-87, U-88 |
| backward | U-122 | metis | U-88 |
| binary | U-114 | MGridGen | U-125 |
| blocking | U-85 | midPoint | U-119 |
| bounded | U-119, U-121 | MUSCL | U-119 |
| cell | U-177 | Newtonian | U-65 |
| cellLimited | U-120 | nextWrite | U-113 |
| cellPoint | U-177 | nonBlocking | U-85 |
| cellPointFace | U-177 | none | U-117, U-124 |
| clockTime | U-114 | noWriteNow | U-113 |
| compressed | U-114 | null | U-177 |
| corrected | U-119, U-121 | outside | U-151 |
| cpuTime | U-114 | patch | U-137, U-178 |
| CrankNicholson | U-122 | PBiCG | U-123 |
| CrossPowerLaw | U-65 | PCG | U-123 |
| cubicCorrected | U-121 | polyLine | U-142 |
| cubicCorrection | U-119 | polySpline | U-142 |
| cyclic | U-137 | processor | U-137 |
| diagonal | U-123, U-124 | QUICK | U-121 |
| DIC | U-124 | RASModel | U-44, U-187 |
| DICGaussSeidel | U-124 | raw | U-114, U-177 |
| DILU | U-124 | runTime | U-34, U-114 |
| distance | U-151, U-178 | scheduled | U-85 |
| dx | U-177 | scientific | U-114 |
| empty | U-137 | scotch | U-87, U-88 |
| endTime | U-113 | SFCD | U-119, U-121 |
| Euler | U-122 | simple | U-87, U-88 |
| faceAreaPair | U-125 | simpleSpline | U-142 |
| faceLimited | U-120 | skewLinear | U-119, U-121 |
| FDIC | U-124 | smoothSolver | U-123 |
| filteredLinear2 | U-119 | startTime | U-24, U-113 |
| firstTime | U-113 | steadyState | U-122 |
| fixed | U-114 | stl | U-177 |
| foamFile | U-177 | symmetryPlane | U-137 |
| fourth | U-119, U-120, U-121 | timeStamp | U-85 |
| GAMG | U-56, U-123, U-124 | timeStampMaster | U-85 |
| Gamma | U-119 | timeStep | U-25, U-34, U-113 |
| Gauss | U-120 | UMIST | U-117 |
| GaussSeidel | U-124 | uncompressed | U-114 |
| general | U-114 | uncorrected | U-119, U-121 |
| gnuplot | U-114, U-177 | upwind | U-119, U-121 |
| hierarchical | U-87, U-88 | vanLeer | U-119 |
| inotify | U-85 | vtk | U-177 |
| inotifyMaster | U-85 | wall | U-137 |
| inside | U-151 | wedge | U-137 |
| jplot | U-114, U-177 | writeNow | U-113 |
| laminar | U-44, U-187 | x | U-178 |
| latestTime | U-41, U-113 | xmgr | U-114, U-177 |
| leastSquares | U-120 | xyz | U-178 |
| LESModel | U-44, U-187 | y | U-178 |
| limited | U-119, U-121 | z | U-178 |

| | | | |
|-------------------------------|--------------------------------|----------------------|-------------|
| キャビティ流れ | U-19 | polyPatch | P-31 |
| 境界 | U-133 | polyPatchList | P-31 |
| 境界条件 | P-42 | scalar | P-23 |
| alphaContactAngle | U-62 | scalarField | P-29 |
| buoyantPressure | U-139 | slice | P-31 |
| calculated | U-138 | symmTensorField | P-29 |
| cyclic | U-137 | symmTensorThirdField | P-29 |
| directionMixed | U-138 | tensor | P-23 |
| empty | P-65, P-71, U-20, U-133, U-137 | tensorField | P-29 |
| fixedGradient | U-138 | tensorThirdField | P-29 |
| fixedValue | U-138 | vector | P-23, U-109 |
| fluxCorrectedVelocity | U-139 | vectorField | P-29 |
| inlet | P-71 | word | P-26 |
| inletOutlet | U-139 | wordword | P-31 |
| mixed | U-138 | クランク・ニコルソン法 | P-41 |
| movingWallVelocity | U-139 | クロネッカーのデルタ | P-21 |
| outlet | P-71 | 形状 | U-142 |
| outletInlet | U-139 | ケース | U-105 |
| partialSlip | U-139 | 後退差分 | P-38 |
| patch | U-136 | 勾配 | P-38 |
| pressureDirectedInletVelocity | U-139 | ガウススキーム | P-38 |
| pressureInletVelocity | U-139 | ガウスの定理 | U-56 |
| pressureOutlet | P-64 | 最小二乗フィット | U-56 |
| pressureTransmissive | U-139 | 最小二乗法 | P-39, U-56 |
| processor | U-137 | 面に垂直 | P-39 |
| slip | U-139 | コメント | U-83 |
| supersonicFreeStream | U-139 | | |
| surfaceNormalFixedValue | U-139 | | |
| symmetryPlane | P-64, U-137 | 最大 | |
| totalPressure | U-139 | 反復回数 | U-124 |
| turbulentInlet | U-139 | 座標系 | P-15, U-20 |
| wall | P-64, P-71, U-62, U-136 | 座標軸 | |
| wedge | U-133, U-137, U-146 | 右手系 | U-140 |
| zeroGradient | U-138 | 右手系直交デカルト | U-20 |
| 入口 | P-43 | 右手系デカルト座標系 | P-15 |
| 滑りなし不浸透性壁面 | P-43 | 差分 | |
| 対称面 | P-43 | Gamma | P-37 |
| ディリクレ | P-42 | MINMOD | P-37 |
| 出口 | P-43 | SUPERBEE | P-37 |
| ノイマン | P-42 | van Leer | P-37 |
| 許容値 | | オイラーの陰解法 | P-38 |
| ソルバの—— | U-124 | 風上 | P-36 |
| ソルバの相対的な—— | U-124 | 後退 | P-38 |
| クーラン数 | P-41, U-24 | 中心 | P-36 |
| クラス | | ブレンド | P-37 |
| cell | P-31 | 時間ステップ | U-25 |
| dimensionSet | P-26, P-33 | 時間の | |
| face | P-31 | 制御 | U-113 |
| finiteVolumeCalculus | P-33 | 時間の離散化 | P-40 |
| finiteVolumeMethod | P-33 | OpenFOAMにおける | P-41 |
| fvc | P-34 | オイラーの陰解法 | P-41 |
| fvm | P-34 | クランク・ニコルソン法 | P-41 |
| fvMesh | P-31 | 陽解法 | P-41 |
| fvSchemes | P-35 | 時間微分 | |
| pointField | P-31 | 1階 | P-37 |
| polyBoundaryMesh | P-31 | 2階 | P-38 |
| polyMesh | P-31, U-129, U-131 | 軸対称 | |

| | | | |
|------------------------------------|------------------------------|----------------------------------|------------------|
| メッシュ | U-133 | LTSReactingParcelFoam | U-93 |
| 問題 | U-137, U-146 | magneticFoam | U-93 |
| 次元 | | mdEquilibrationFoam | U-93 |
| OpenFOAM における次元チェック | P-25 | mdFoam | U-93 |
| OpenFOAM におけるチェック | U-109 | mhdFoam | P-69, P-71, U-93 |
| 次元の単位 | U-109 | MRFInterFoam | U-92 |
| 実行 | | MRFMultiphaselInterFoam | U-92 |
| 並列 | U-86 | multiphaseEulerFoam | U-92 |
| 収束 | U-42 | multiphaselInterFoam | U-92 |
| 自由表面 | U-60 | nonNewtonianIcoFoam | U-91 |
| スカラ | P-16 | PDRFoam | U-92 |
| 演算子 | P-28 | pimpleDyMFoam | U-91 |
| スクリプト／エイリアス | | pimpleFoam | U-91 |
| foamCorrectVrt | U-160 | pisoFoam | U-19, U-91 |
| foamJob | U-179 | porousInterFoam | U-92 |
| foamLog | U-180 | porousSimpleFoam | U-91 |
| make | U-75 | potentialFoam | P-46, U-91 |
| rmdepall | U-80 | potentialFreeSurfaceFoam | U-91 |
| wclean | U-80 | reactingFoam | U-92 |
| wmake | U-75 | reactingParcelFilmFoam | U-93 |
| 制御 | | reactingParcelFoam | U-93 |
| 時間の—— | U-113 | rhoCentralDyMFoam | U-91 |
| セル | | rhoCentralFoam | U-91 |
| 拡大率 | U-142 | rhoLTSPimpleFoam | U-91 |
| 相対的な許容値 | U-124 | rhoPimpleFoam | U-91 |
| ソルバ | | rhoPimpleFoam | U-91 |
| adjointShapeOptimizationFoam | U-91 | rhoPorousSimpleFoam | U-91 |
| boundaryFoam | U-91 | rhoReactingBuoyantFoam | U-93 |
| buoyantBoussinesqPimpleFoam | U-93 | rhoReactingFoam | U-93 |
| buoyantBoussinesqSimpleFoam | U-93 | rhoSimpleFoam | U-91 |
| buoyantPimpleFoam | U-93 | rhoSimpleFoam | U-91 |
| buoyantSimpleFoam | U-93 | scalarTransportFoam | U-91 |
| cavitatingDyMFoam | U-92 | settlingFoam | U-92 |
| cavitatingFoam | U-92 | shallowWaterFoam | U-91 |
| chemFoam | U-92 | simpleFoam | P-54, U-91 |
| chtMultiRegionFoam | U-93 | simpleReactingParcelFoam | U-93 |
| chtMultiRegionSimpleFoam | U-93 | solidDisplacementFoam | U-54, U-93 |
| coalChemistryFoam | U-93 | solidEquilibriumDisplacementFoam | U-94 |
| coldEngineFoam | U-92 | sonicDyMFoam | U-91 |
| compressibleInterDyMFoam | U-92 | sonicFoam | P-61, U-91 |
| compressibleInterFoam | U-92 | sonicLiquidFoam | P-65, U-91 |
| dnsFoam | U-92 | sprayEngineFoam | U-93 |
| dsmcFoam | U-93 | sprayFoam | U-93 |
| electrostaticFoam | U-93 | SRFPimpleFoam | U-91 |
| engineFoam | U-92 | SRFSimpleFoam | U-91 |
| financialFoam | U-94 | twoLiquidMixingFoam | U-92 |
| fireFoam | U-92 | twoPhaseEulerFoam | U-92 |
| icoFoam | U-19, U-23, U-25, U-26, U-91 | uncoupledKinematicParcelFoam | U-93 |
| icoUncoupledKinematicParcelDyMFoam | U-93 | XiFoam | U-93 |
| | | ソルバの許容値 | U-124 |
| | | ソルバの相対的な許容値 | U-124 |
| | | た | |
| | | 代数幾何マルチグリッド | U-125 |
| | | 対流項 | P-36 |
| | | ダムの決壊 | U-60 |
| | | 単位 | |

| | | | |
|--------------------------------|--|-----------------------------|--------------|
| SI | U-109 | <i>turbulenceProperties</i> | U-65, U-187 |
| Système International | U-109 | ディレクトリ | |
| United States Customary System | U-110 | <i>0</i> | U-106 |
| USCS | U-110 | <i>0.000000e+00</i> | U-106 |
| 基本—— | U-110 | <i>constant</i> | U-105, U-183 |
| 計量 | P-25 | <i>fluentInterface</i> | U-172 |
| 測量—— | U-109 | <i>Make</i> | U-77 |
| タンクの減圧 | P-63 | <i>polyMesh</i> | U-105 |
| 置換記号 | P-20 | <i>processorN</i> | U-88 |
| 中心差分 | P-36 | <i>run</i> | U-105 |
| チュートリアル | | <i>system</i> | P-50, U-105 |
| 穴あき板の応力解析 | U-49 | <i>tutorials</i> | U-19 |
| ダムの決壊 | U-60 | テキストボックス | |
| 天井駆動のキャビティ流れ | U-19 | <i>Opacity</i> | U-168 |
| 超音速流れ | P-59 | 天井駆動のキャビティ流れ | U-19 |
| ツール | | 電磁流体力学 | P-69 |
| algorithms | U-100 | テンソル | P-15 |
| cfdTools | U-100 | 2階 | P-16 |
| containers | U-100 | 2階対称 | P-16 |
| db | U-100 | 3階 | P-16 |
| dimensionedTypes | U-100 | 3階対称 | P-16 |
| dimensionSet | U-100 | <i>n</i> 乗 | P-20 |
| fields | U-100 | OpenFOAMにおけるクラス | P-23 |
| finiteVolume | U-100 | OpenFOAMにおけるテンソルの代数演算 | P-24 |
| fvMatrices | U-100 | | |
| fvMesh | U-100 | 外積 | P-19 |
| global | U-100 | 加算 | P-17 |
| graph | U-100 | 幾何変換 | P-20 |
| interpolation | U-100 | 逆元 | P-23 |
| interpolations | U-100 | 行列式 | P-22 |
| matrices | U-100 | 減算 | P-17 |
| memory | U-100 | 恒等式 | P-21 |
| meshes | U-100 | 最小成分 | P-20 |
| primitives | U-100 | 最大成分 | P-20 |
| surfaceMesh | U-100 | 三重内積 | P-19 |
| volMesh | U-100 | 次元 | P-16 |
| デイクショナリ | | 数学 | P-15 |
| blockMeshDict | U-20, U-22, U-38, U-52, U-138, U-146 | スカラの乗算 | P-17 |
| boundary | U-131, U-140 | スカラの除算 | P-18 |
| castellatedMeshControls | U-149, U-151 | スケール関数 | P-20 |
| cells | U-140 | 静水圧テンソル | P-22 |
| controlDict | U-24, U-32, U-45, U-55, U-66, U-105, U-162 | 成分平均値 | P-20 |
| decomposeParDict | U-86 | 絶対値 | P-20 |
| faces | U-131, U-140 | 対角 | P-22 |
| fvSchemes | U-56, U-67, U-105, U-115 | 対称テンソル | P-22 |
| fvSolution | U-105, U-122 | 代数演算 | P-17 |
| mechanicalProperties | U-54 | 単位 | P-21 |
| neighbour | U-131 | 転置 | P-16, P-21 |
| owner | U-131 | トレース | P-22 |
| PISO | U-25 | 内積 | P-18 |
| points | U-131, U-140 | 二重内積 | P-19 |
| RASProperties | U-44 | 二乗 | P-20 |
| thermalProperties | U-54 | 反対称テンソル | ⇒ 歪テンソル |
| thermophysicalProperties | U-183 | 表記 | P-17 |
| transportProperties | U-23, U-41, U-45 | 平方絶対値 | P-20 |
| | | ベクトルのクロス積 | P-20 |
| | | 変換 | P-20 |

| | | | |
|------------------------|------------|-------------------------|--------------|
| 偏差テンソル | P-22 | ロック | |
| ホッジ双対 | P-23 | 拡大率 | U-142 |
| 余因子 | P-22 | 分解 | |
| ランク | P-16 | フィールドの—— | U-86 |
| 歪テンソル | P-22 | メッシュの—— | U-86 |
| テンプレートクラス | | 並列 | |
| dimensioned<Type> | P-26 | 実行 | U-86 |
| Field<Type> | P-29 | ベクトル | P-16 |
| FieldField<Type> | P-32 | 演算子 | P-27 |
| fvMatrix | P-33 | 単位 | P-20 |
| GeometricBoundaryField | P-32 | 方程式 | P-33 |
| geometricField<Type> | P-33 | ボタン | |
| List<Type> | P-29 | Apply | U-167, U-170 |
| pointField<Type> | P-33, P-34 | Auto Accept | U-170 |
| surfaceField<Type> | P-34 | Choose Preset | U-167 |
| volField<Type> | P-34 | Delete | U-167 |
| な | | Edit Color Map | U-167 |
| 流れ | | Enable Line Series | U-37 |
| 層流 | U-19 | Orientation Axes | U-26, U-170 |
| 超音速 | P-59 | Refresh Times | U-28 |
| 乱流 | U-19 | Rescale to Data Range | U-28 |
| 粘性係数 | | Reset | U-167 |
| 動—— | U-23, U-45 | Set Ambient Color | U-167 |
| は | | Update GUI | U-167 |
| 場 | P-29 | Use Parallel Projection | U-26, U-169 |
| パック・ステップ上の流れ | P-52 | ま | |
| パックグラウンド | | マッピング | |
| プロセス | U-26, U-86 | フィールド | U-162 |
| 発散項 | | マルチグリッド | |
| 反復回数 | P-38 | 代数幾何—— | U-125 |
| 最大 | U-124 | メッシュ | |
| 非直交メッシュ | P-45 | 1D | U-133 |
| 表面 | | 1次元 | U-133 |
| メッシュ | U-147 | 2D | U-133 |
| ファイル | | 2次元 | U-133 |
| files | U-77 | Stereolithography (STL) | U-147 |
| g | U-65 | 改善 | P-64 |
| Make/files | U-79 | 解像度 | U-31 |
| options | U-77 | 記法 | U-129 |
| snappyHexMeshDict | U-147 | 基本的な | P-31 |
| transportProperties | U-64 | 勾配 | P-52, P-55 |
| ファイルフォーマット | U-106 | 勾配付け | U-138, U-142 |
| フィールド | | 軸対称 | U-133 |
| p | U-25 | 仕様 | U-130 |
| U | U-25 | 生成 | U-138, U-147 |
| 分解 | U-86 | 妥当性の制約 | U-130 |
| マッピング | U-162 | 非直交 | P-45 |
| フォアグラウンド | | 表面 | U-147 |
| プロセス | U-26 | 分解 | U-86 |
| フォワード・ステップ上の超音速流れ | P-59 | 分割六面体 | U-147 |
| 物理的 | P-43 | 有限体積法 | P-31 |
| ブレンド差分 | P-37 | メッセージパッシングインターフェイス | |
| プロセス | | openMPI | U-88 |
| パックグラウンド | U-26, U-86 | メニュー | |
| フォアグラウンド | U-26 | Attribute Mode | U-37 |
| | | Color By | U-167 |

| | | | |
|----------------------------|--------------|-----------------------------|--------------|
| Current Time Controls | U-28 | icoPolynomial | U-102, U-183 |
| Current Time Controls | U-167 | inhomogeneousMixture | U-102, U-184 |
| Edit | U-168 | interfaceProperties | U-104 |
| Help | U-168 | janafThermo | U-102, U-183 |
| Line Style | U-37 | kEpsilon | U-103 |
| Marker Style | U-37 | kOmega | U-103 |
| VCR Controls | U-28 | kOmegaSST | U-103 |
| VCR Controls | U-167 | kOmegaSSTSAS | U-103 |
| View | U-168 | LamBremhorstKE | U-103 |
| メニュー | | laminar | U-103 |
| Plot Over Line | U-37 | laplaceFilter | U-103 |
| Save Animation | U-172 | LaunderGibsonRSTM | U-103 |
| Save Screenshot | U-171 | LaunderSharmaKE | U-103 |
| Settings | U-170 | LienCubicKE | U-103 |
| Show Color Legend | U-28 | LienCubicKELowRe | U-103 |
| Solid Color | U-167 | LienLeschzinerLowRe | U-103 |
| Toolbars | U-168 | locDynOneEqEddy | U-104 |
| View Settings | U-26 | lowReOneEqEddy | U-104 |
| View Settings | U-168 | LRDDiffStress | U-104 |
| View Settings... | U-26 | LRR | U-103 |
| Wireframe | U-167 | maxDeltaxyz | U-103 |
| モデル | | mixedSmagorinsky | U-103 |
| anisotropicFilter | U-103 | multiComponentMixture | U-102, U-184 |
| APIfunctions | U-102 | Newtonian | U-104 |
| basicMultiComponentMixture | U-102, U-184 | NonlinearKEShih | U-103 |
| BirdCarreau | U-104 | NSRDSfunctions | U-102 |
| chemistryModel | U-102 | oneEqEddy | U-103, U-104 |
| chemistrySolver | U-102 | perfectGas | U-102, U-183 |
| constLaminarFlameSpeed | U-102 | polynomialTransport | U-102, U-183 |
| constTransport | U-102, U-183 | powerLaw | U-104 |
| CrossPowerLaw | U-104 | PrandtlDelta | U-103 |
| cubeRootVolDelta | U-103 | pureMixture | U-101, U-184 |
| DeardorffDiffStress | U-104 | qZeta | U-103 |
| dieselMixture | U-102, U-184 | reactingMixture | U-102, U-184 |
| dynLagrangian | U-103 | realizableKE | U-103 |
| dynMixedSmagorinsky | U-103 | RNGkEpsilon | U-103 |
| dynOneEqEddy | U-104 | scaleSimilarity | U-103 |
| dynSmagorinsky | U-103 | simpleFilter | U-103 |
| eConstThermo | U-102, U-183 | Smagorinsky | U-103, U-104 |
| egrMixture | U-102, U-184 | Smagorinsky2 | U-103 |
| ePsiThermo | U-101, U-184 | smoothDelta | U-103 |
| GuldersEGLaminarFlameSpeed | U-102 | SpalartAllmaras | U-103, U-104 |
| GuldersLaminarFlameSpeed | U-102 | SpalartAllmarasDDES | U-104 |
| hConstThermo | U-102, U-183 | SpalartAllmarasIDDES | U-104 |
| HerschelBulkley | U-104 | specieThermo | U-102, U-183 |
| hhuMixtureThermo | U-102, U-184 | spectEddyVisc | U-104 |
| homogeneousMixture | U-102, U-184 | surfaceFilmModels | U-104 |
| homogenousDynSmagorinsky | U-103 | sutherlandTransport | U-102, U-184 |
| hPolynomialThermo | U-102, U-183 | twoPhaseInterfaceProperties | U-104 |
| hPsiMixtureThermo | U-101, U-184 | veryInhomogeneousMixture | U-102, U-184 |
| hPsiThermo | U-101, U-184 | | や |
| hRhoMixtureThermo | U-101, U-184 | 有限体積法 | |
| hRhoThermo | U-101, U-184 | メッシュ | P-31 |
| hsPsiMixtureThermo | U-101, U-184 | 離散化 | P-27 |
| hsPsiThermo | U-101, U-184 | ユーティリティ | |
| hsRhoMixtureThermo | U-102, U-184 | adiabaticFlameT | |
| hsRhoThermo | U-101, U-184 | | U-99 |

| | | | |
|-------------------------------------|-------------------------|------------------------|-------------------------------------|
| ansysToFoam | U-95 | gmshToFoam | U-95 |
| applyBoundaryLayer | U-94 | ideasToFoam | U-155 |
| applyWallFunctionBoundaryConditions | U-94 | ideasUnvToFoam | U-95 |
| attachMesh | U-95 | insideCells | U-95 |
| autoPatch | U-95 | kivaToFoam | U-95 |
| autoRefineMesh | U-96 | Lambda2 | U-97 |
| blockMesh | P-47, U-40, U-94, U-138 | Mach | U-97 |
| boxTurb | U-94 | mapFields | U-32, U-41, U-45, U-59, U-94, U-162 |
| cfx4ToFoam | U-95, U-155 | mdlInitialise | U-94 |
| changeDictionary | U-94 | mergeMeshes | U-95 |
| checkMesh | U-95, U-157 | mergeOrSplitBaffles | U-95 |
| chemkinToFoam | U-99 | mirrorMesh | U-95 |
| Co | U-97 | mixtureAdiabaticFlameT | U-99 |
| collapseEdges | U-96 | modifyMesh | U-96 |
| combinePatchFaces | U-96 | moveDynamicMesh | U-95 |
| createBaffles | U-95 | moveEngineMesh | U-95 |
| createPatch | U-95 | moveMesh | U-95 |
| createTurbulenceFields | U-97 | mshToFoam | U-95 |
| datToFoam | U-95 | netgenNeutralToFoam | U-95 |
| decomposePar | U-86, U-87, U-99 | objToVTK | U-95 |
| deformedGeom | U-95 | particleTracks | U-97 |
| dsmcFieldsCalc | U-98 | patchAverage | U-97 |
| dsmcInitialise | U-94 | patchIntegrate | U-97 |
| engineCompRatio | U-98 | patchSummary | U-99 |
| engineSwirl | U-94 | pdfPlot | U-98 |
| ensight74FoamExec | U-175 | PDRMesh | U-96 |
| ensightFoamReader | U-96 | Pe | U-97 |
| enstrophy | U-97 | plot3dToFoam | U-95 |
| equilibriumCO | U-99 | polyDualMesh | U-95 |
| equilibriumFlameT | U-99 | postChannel | U-98 |
| execFlowFunctionObjects | U-98 | pPrime2 | U-97 |
| expandDictionary | U-99 | probeLocations | U-97 |
| extrude2DMesh | U-94 | ptot | U-98 |
| extrudeMesh | U-94 | Q | U-97 |
| extrudeToRegionMesh | U-94 | R | U-97 |
| faceAgglomerate | U-94 | reconstructPar | U-90, U-99 |
| flattenMesh | U-95 | reconstructParMesh | U-99 |
| flowType | U-97 | refineHexMesh | U-96 |
| fluent3DMeshToFoam | U-95 | refinementLevel | U-96 |
| fluentMeshToFoam | U-95, U-155 | refineMesh | U-96 |
| foamCalc | U-35, U-98 | refineWallLayer | U-96 |
| foamDataToFluent | U-96, U-172 | removeFaces | U-96 |
| foamDebugSwitches | U-99 | renumberMesh | U-96 |
| foamFormatConvert | U-99 | rotateMesh | U-96 |
| foamInfoExec | U-99 | sammToFoam | U-95 |
| foamListTimes | U-98 | sample | U-98, U-176 |
| foamMeshToFluent | U-95, U-172 | scalePoints | U-159 |
| foamToEnsight | U-96 | selectCells | U-96 |
| foamToEnsightParts | U-96 | setFields | U-63, U-64, U-94 |
| foamToGMV | U-96 | setSet | U-96 |
| foamToStarMesh | U-95 | setsToZones | U-96 |
| foamToSurface | U-95 | singleCellMesh | U-96 |
| foamToTecplot360 | U-96 | smapToFoam | U-97 |
| foamToVTK | U-96 | snappyHexMesh | U-94, U-147 |
| foamUpgradeFvSolution | U-94 | splitCells | U-96 |
| gambitToFoam | U-95, U-155 | splitMesh | U-96 |

| | | | |
|---------------------------|-------------|---------------------------------|-------------|
| splitMeshRegions | U-96 | barotropicCompressibilityModels | U-102 |
| star3ToFoam | U-95 | basicSolidThermo | U-102 |
| star4ToFoam | U-95 | basicThermophysicalModels | U-101 |
| starToFoam | U-155 | blockMesh | U-100 |
| steadyParticleTracks | U-97 | chemistryModel | U-102 |
| stitchMesh | U-96 | Chung | U-102 |
| streamFunction | U-97 | coalCombustion | U-101 |
| stressComponents | U-97 | compressibleLESmodels | U-104 |
| subsetMesh | U-96 | compressibleRASModels | U-103 |
| surfaceAdd | U-98 | conversion | U-101 |
| surfaceAutoPatch | U-98 | decompositionMethods | U-101 |
| surfaceCheck | U-98 | dieselSpray | U-101 |
| surfaceClean | U-98 | distributed | U-101 |
| surfaceCoarsen | U-98 | distributionModels | U-101 |
| surfaceConvert | U-98 | dsmc | U-101 |
| surfaceFeatureConvert | U-98 | dynamicFvMesh | U-101 |
| surfaceFeatureExtract | U-98, U-150 | dynamicMesh | U-100 |
| surfaceFind | U-98 | edgeMesh | U-101 |
| surfaceInertia | U-98 | engine | U-101 |
| surfaceMeshConvert | U-98 | fieldFunctionObjects | U-100 |
| surfaceMeshConvertTesting | U-98 | fileFormats | U-101 |
| surfaceMeshExport | U-98 | finiteVolume | U-100 |
| surfaceMeshImport | U-98 | foamCalcFunctions | U-100 |
| surfaceMeshInfo | U-98 | forces | U-100 |
| surfaceMeshTriangulate | U-98 | fvDOM | U-102 |
| surfaceOrient | U-98 | fvMotionSolvers | U-101 |
| surfacePointMerge | U-98 | genericFvPatchField | U-101 |
| surfaceRedistributePar | U-99 | incompressibleLESmodels | U-103 |
| surfaceRefineRedGreen | U-99 | incompressibleRASModels | U-103 |
| surfaceSmooth | U-99 | incompressibleTransportModels | P-55, U-104 |
| surfaceSplitByPatch | U-99 | incompressibleTurbulenceModels | P-55 |
| surfaceSplitNonManifolds | U-99 | jobControl | U-100 |
| surfaceSubset | U-99 | lagrangian | U-101 |
| surfaceToPatch | U-99 | lagrangianIntermediate | U-101 |
| surfaceTransformPoints | U-99 | laminarFlameSpeedModels | U-102 |
| tetgenToFoam | U-95 | LESdeltas | U-103 |
| topoSet | U-96 | LESfilters | U-103 |
| transformPoints | U-96 | linear | U-102 |
| uprime | U-97 | liquidMixtureProperties | U-102 |
| viewFactorGen | U-94 | liquidProperties | U-102 |
| vorticity | U-97 | meshTools | U-101 |
| wallFunctionTable | U-94 | MGridGenGAMGAgglomeration | U-101 |
| wallGradU | U-97 | molecularMeasurements | U-101 |
| wallHeatFlux | U-97 | molecule | U-101 |
| wallShearStress | U-97 | ODE | U-101 |
| wdot | U-98 | OpenFOAM | U-100 |
| writeCellCentres | U-98 | OSspecific | U-101 |
| writeMeshObj | U-95 | P1 | U-102 |
| yPlusLES | U-97 | pairPatchAgglomeration | U-101 |
| yPlusRAS | U-97 | postCalc | U-100 |
| zipUpMesh | U-96 | potential | U-101 |
| 陽解法 | | primitive | P-23 |
| 時間の離散化 | P-41 | ptscotchDecomp | U-101 |
| | ら | PV3FoamReader | U-165 |
| ライブリ | U-73 | PVFoamReader | U-165 |
| autoMesh | U-100 | radiationModels | U-102 |

| | |
|------------------------------|------------|
| randomProcesses | U-101 |
| reactionThermophysicalModels | U-101 |
| reconstruct | U-101 |
| sampling | U-100 |
| scotchDecomp | U-101 |
| SLGThermo | U-102 |
| solid | U-102 |
| solidMixtureProperties | U-102 |
| solidParticle | U-101 |
| solidProperties | U-102 |
| specie | U-102 |
| surfMesh | U-101 |
| systemCall | U-100 |
| thermalPorousZone | U-103 |
| thermophysical | U-183 |
| thermophysicalFunctions | U-102 |
| topoChangeFvMesh | U-101 |
| triSurface | U-101 |
| utilityFunctionObjects | U-100 |
| viewFactor | U-102 |
| vtkFoam | U-165 |
| vtkPV3Foam | U-165 |
| Wallis | U-102 |
| ラプラスアン | P-36 |
| 乱流 | |
| 運動エネルギー | U-43 |
| 消散 | U-43 |
| 定常 | P-52 |
| 長さスケール | U-44 |
| 乱流モデル | |
| RAS | U-43 |
| リストア | U-41 |
| リスト | P-29 |
| 例題 | |
| 円柱まわりの流れ | P-45 |
| タンクの減圧 | P-63 |
| バック・ステップ上の流れ | P-52 |
| フォワード・ステップ上の超音速流れ | P-59 |
| レイノルズ数 | U-19, U-24 |
| 連続体 | |
| 力学 | P-15 |